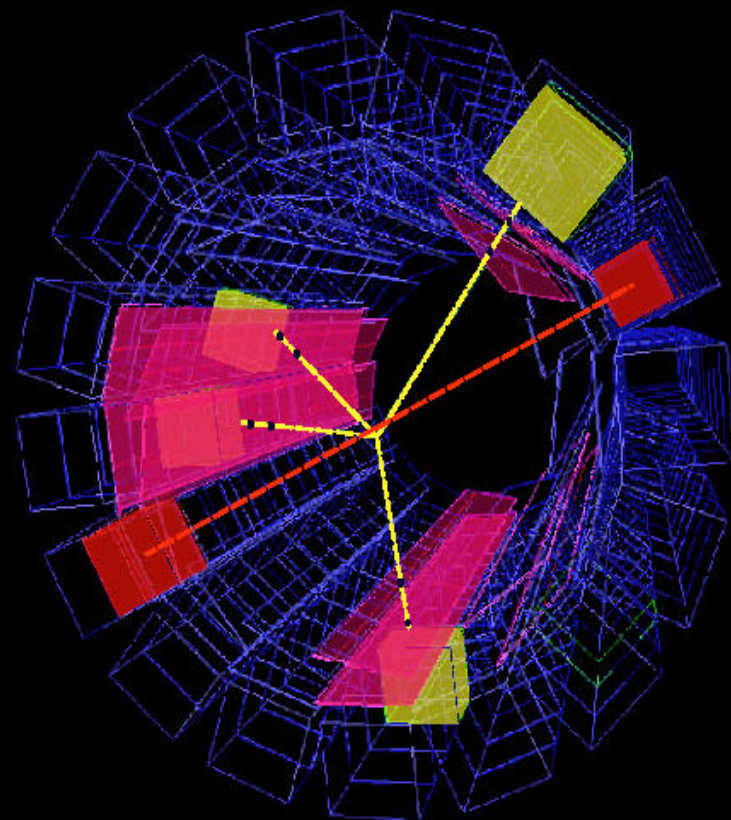


First Production and Detection of Cold Antihydrogen

RIKEN CERN

藤原 真琴



反物質

1927 Dirac predicts the anti-electron

1931 Anderson registers positrons from cosmic rays

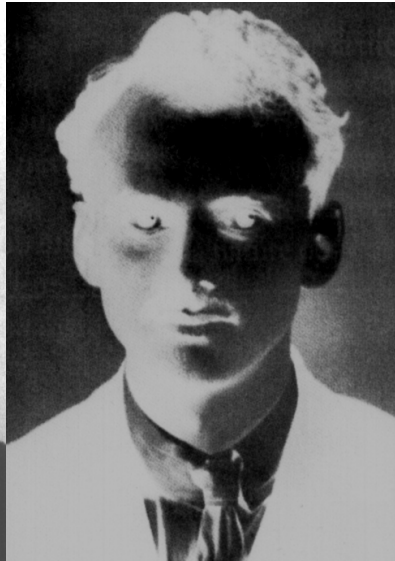
1955 Discovery of the Antiproton at the Bevatron



Anderson



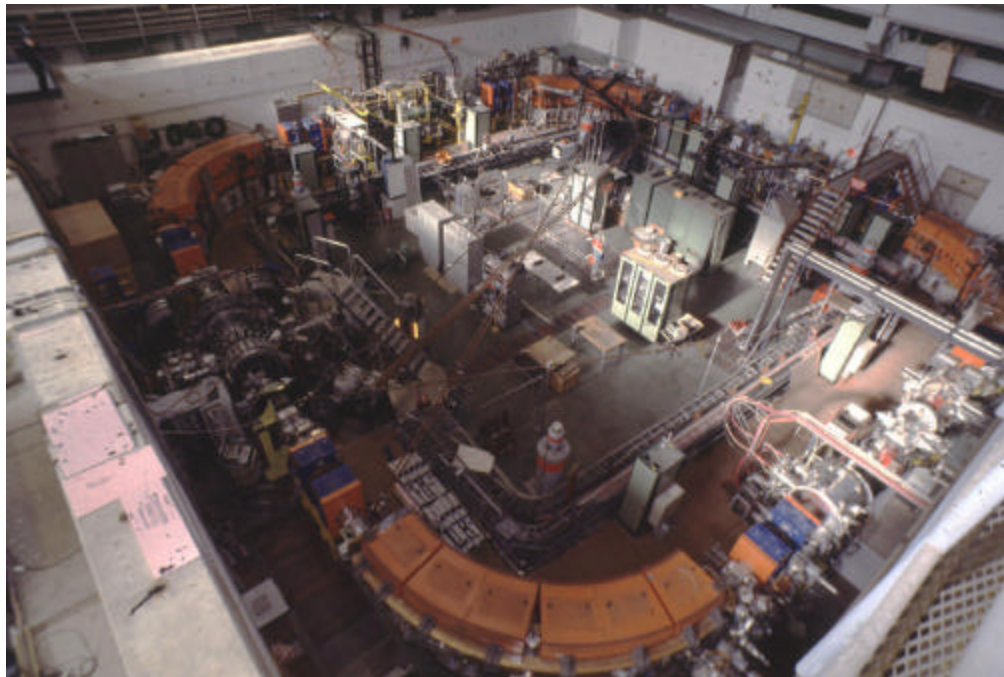
Paul Dirac



Emilio Segré, Clyde Wiegand, Edward Lofgren
Owen Chamberlain, Tom Ypsilantis

高速反水素の生成

- 1992 Munger et al. による提案: $p\bar{b}ar + Z \rightarrow H\bar{b}ar$
- 1996 LEAR で ~9 個の相対論的反水素生成が報告される



LEAR
1986-1996

詳しい測定はできなかった 低速反水素が必要

反水素研究の動機

CPT 対称性

重力

宇宙論

Cold Antihydrogen

原子物理

トラップ

プラズマ

素粒子

超高真空

低温

検出器

レーザー

CPT対称性の検証

- パリティとCPは破れている
- CPT定理
 - 物質と反物質(粒子と反粒子)では
 - 質量・寿命が等しい
 - 電荷・磁気モーメントの大きさが同じ・符号が逆
 - エネルギー準位が等しい
 - 定理の仮定
 - 局所場の理論、ローレンツ対称性、ユニタリティ等
(議論がある e.g. Greenberg *PRL* '02 vs Barenboim et al. *PLB* '02)
- プランク・スケールで成り立つか
 - 重力(時空が曲がる) → ユニタリティ?
 - ひも理論 → 局所場の理論ではない
 - 高次元の理論・非可換幾何学 → ローレンツ対称性の破れ?
- 最近のCPT理論 (Kostelecky, Ellis, 村山・柳田 etc.)

- **Robert Bluhm, V. Alan Kostelecký, Charles D. Lane, and Neil Russell**
Clock-comparison tests of Lorentz and CPT symmetry in space, Phys. Rev. Lett. **88**, 90801 (2002)
- **V. Alan Kostelecký, Charles D. Lane, and Austin G.M. Pickering**
One-loop renormalization of Lorentz-violating electrodynamics, Phys. Rev. D **65**, 56006 (2002)
- **Sean M. Carroll, Jeffrey A. Harvey, V. Alan Kostelecký, Charles D. Lane, and Takemi Okamoto**
Noncommutative field theory and Lorentz violation, Phys. Rev. Lett. **87**, 141601 (2001)
- **V. Alan Kostelecký and Matthew Mewes**
Cosmological constraints on Lorentz violation in electrodynamics, Phys. Rev. Lett. **87**, 251304 (2001)
- **V. Alan Kostelecký and Robertus Potting**
Analytical construction of a nonperturbative vacuum for the open bosonic string, Phys. Rev. D **63**, 46007 (2001)
- **V. Alan Kostelecký and Ralf Lehnert** Stability, causality, and Lorentz and CPT violation, Phys. Rev. D **63**, 65008 (2001)
- **V. Alan Kostelecký and Ágnes Roberts** Analogue models for T and CPT violation in neutral-meson oscillations, Phys. Rev. D **63**, 96002 (2001)
- **V. Alan Kostelecký** CPT, T, and Lorentz violation in neutral-meson oscillations, Phys. Rev. D **64**, 76001 (2001)
- **V. Alan Kostelecký** Signals for CPT and Lorentz violation in neutral-meson oscillations, Phys. Rev. D **61**, 16002 (2000)
- **Robert Bluhm, V. Alan Kostelecký, and Charles D. Lane** CPT and Lorentz tests with muons, Phys. Rev. Lett. **84**, 1098 (2000)
- **Robert Bluhm and V. Alan Kostelecký** Lorentz and CPT tests with spin-polarized solids, Phys. Rev. Lett. **84**, 1381 (2000)
- **V. Alan Kostelecký and Charles D. Lane** Constraints on Lorentz violation from clock-comparison experiments, Phys. Rev. D **60**, 116010 (1999)
- **Robert Bluhm, V. Alan Kostelecký, and Neil Russell** CPT and Lorentz tests in hydrogen and antihydrogen, Phys. Rev. Lett. **82**, 2254 (1999)
- **R. Jackiw and V. Alan Kostelecký** Radiatively induced Lorentz and CPT violation in electrodynamics, Phys. Rev. Lett. **82**, 3572 (1999)
- **V. Alan Kostelecký** Sensitivity of CPT tests with neutral mesons, Phys. Rev. Lett. **80**, 1818 (1998)
- **Robert Bluhm, V. Alan Kostelecký, and Neil Russell** CPT and Lorentz tests in Penning traps, Phys. Rev. D **57**, 3932 (1998)
- **D. Colladay and V. Alan Kostelecký** Lorentz-violating extension of the standard model, Phys. Rev. D **58**, 116002 (1998)

最近のCPTおよびローレンツ対称性検証

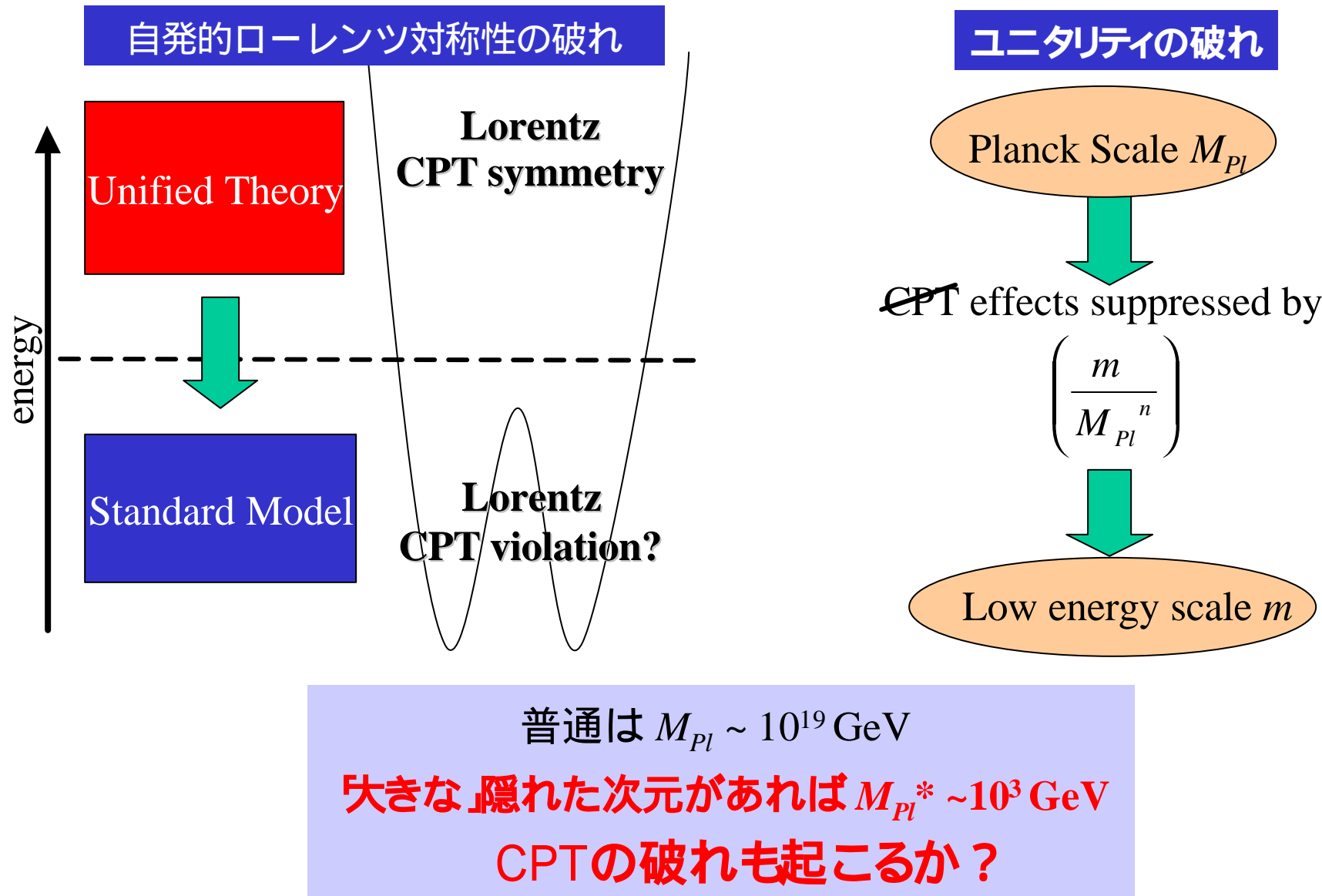
Other Theory

- **J. Bachall et al.** How accurately can one test CPT conservation with reactor and solar neutrino experiments? hep-ph/0201211 (2002)
- **H. Murayama and T. Yanagida** LSND, SN1987A, and CPT violation, Phys. Lett. **520B** 263 (2001)
- **N. Isger et al.** Background enhancement of CPT reach at an asymmetric phi factory, Phys. Lett. **515B** 333 (2001)
- **S. Coleman and S. Glashow** High energy tests of Lorentz invariance, Phys. Rev. D **59** 116008 (1999)
- **J. Ellis et al.** Phys. Lett. **293B** 142 (1992)
- **P. Huet and M. E. Peskin** Nucl. Phys. B **434** 3 (1995)
- **S. Hawking** Phys. Rev D **14** 2460 (1975)
- **I. Mocioiu et al.**, Breaking CPT by mixed non-commutability hep-ph/0108136

Experimental Tests

- **M. Hori et al.** ASACUSA: anti-protonic helium
- **V. Hughes et al.** Muonium hyperfine structure
- **H. Dehmelt et al.** electron and positron in penning trap
- **G. Gabrielse et al.** proton and antiproton in penning trap
- **CLEAR** neutral kaon mass difference

CPTの破れでプランク・スケールの物理を探る



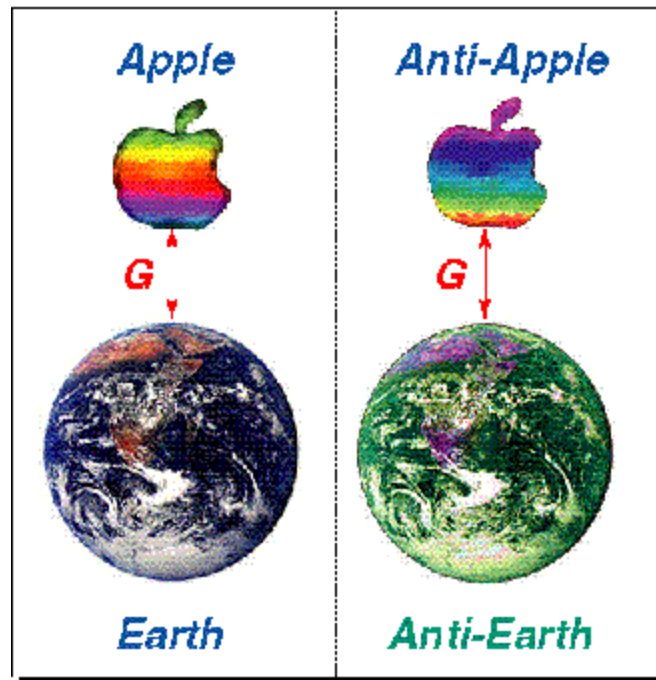
反物質に働く重力

物質に働く重力と同じか？

直接測定はない

CPT 定理とは独立

CPT Symmetric Situation

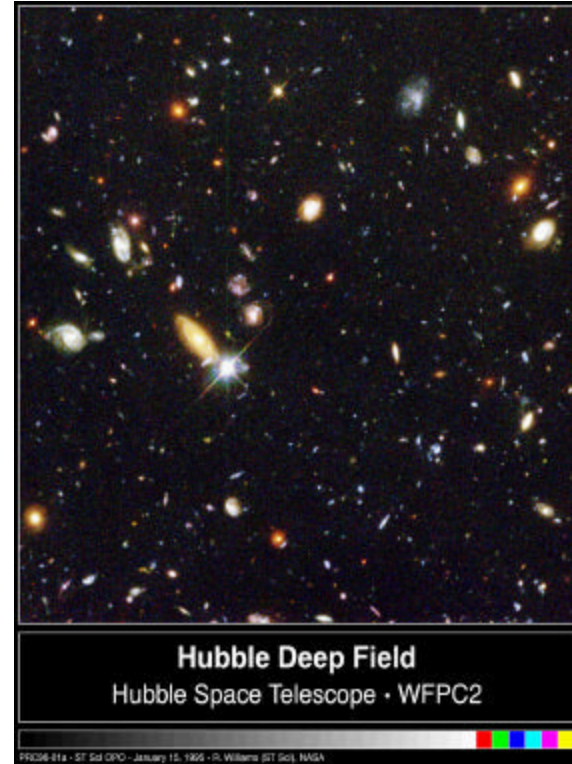


Not:



バリオン創生: 反物質はどこへ消えた?

- 宇宙の物質-反物質非対称
物質はなぜ生き残ったのか
- 標準的なシナリオ:
サハロフの 3条件
 - バリオン数の破れ
 - CとCPの破れ
 - 熱非平衡状態
- 標準模型を超える物理が必要
 - CKM行列によるCPの破れは小さすぎる
 - MSSMも厳しい?
- 他のやり方があるか?
→CPTの破れによって反物質を壊す

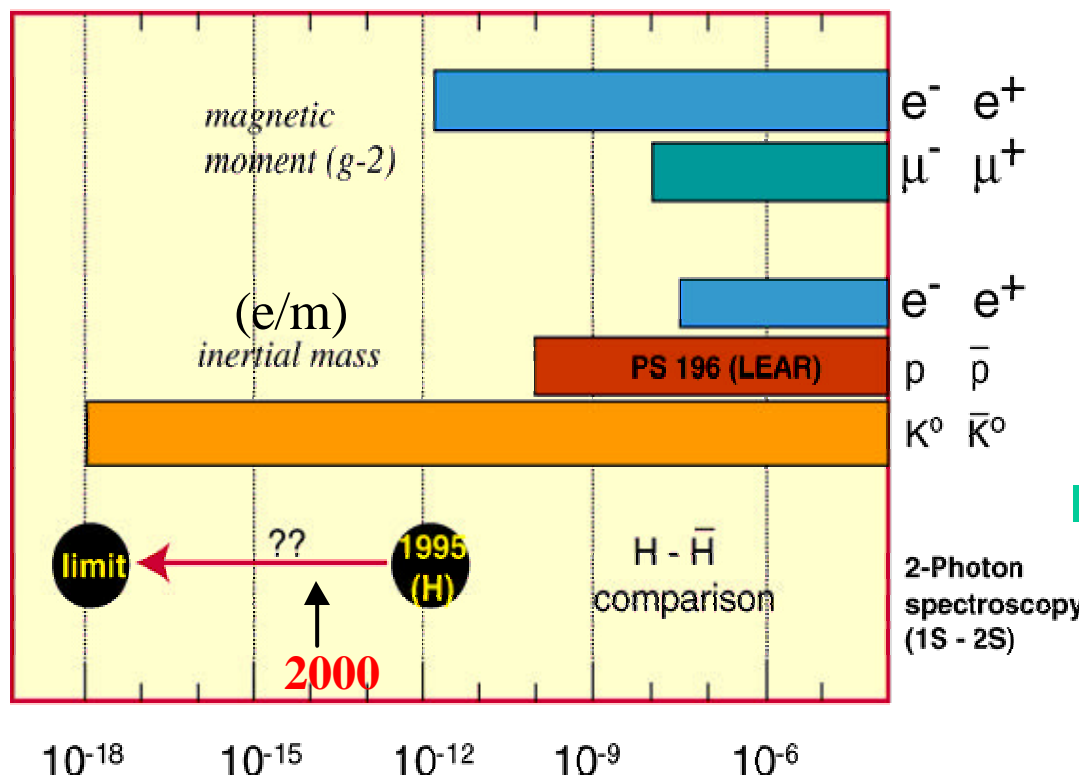


反物質研究の動機（一般向け）

「反物質で宇宙の起源・
異次元世界を探る」

これまでのCPT検証

Precision of some CPT Tests

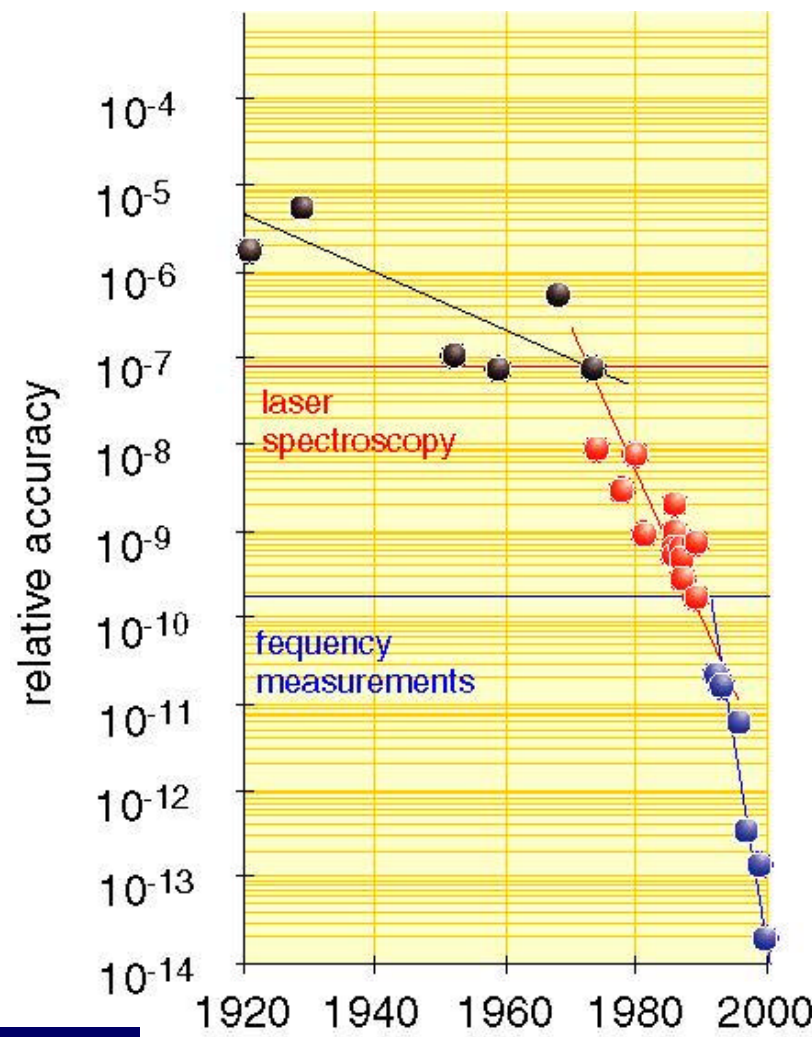
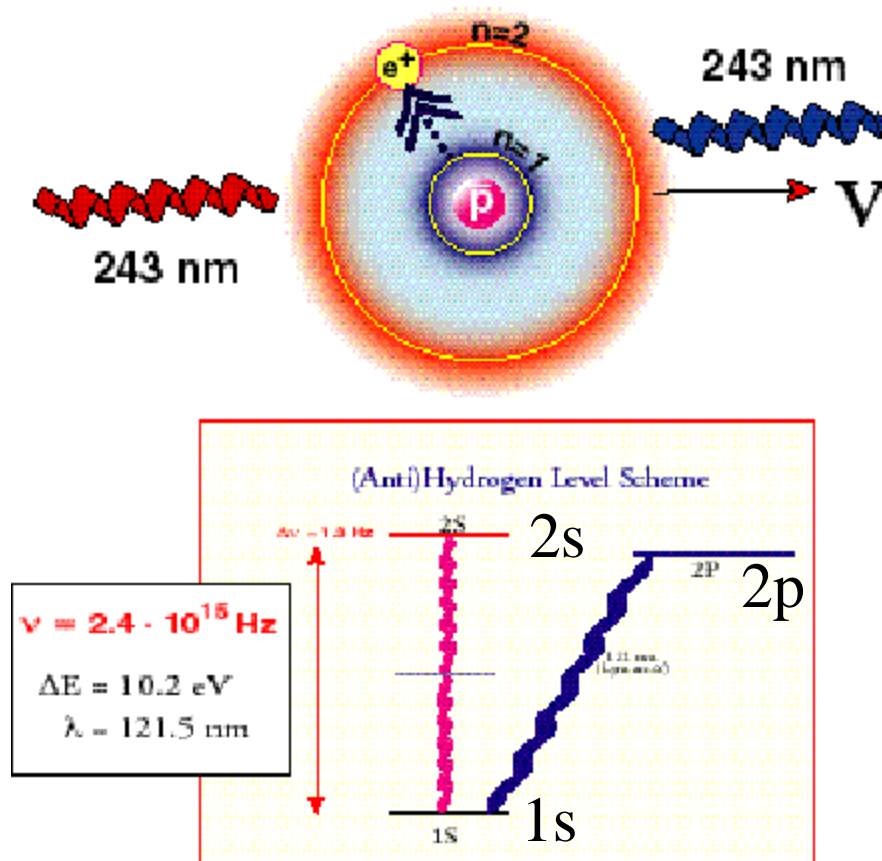


- 中性Kaon解析
モデル依存
 - e.g. Bell-Steinberger relation
 - Possible CPTV suppressed $M_{KL} - M_{KS}$ (10^{-15})
 - 10% test of CPTV interact. (小林・三田 1992)
- CPTの破れのパターンは、全く分からぬい
 - すべての粒子で精密検証すべき

Relative Accuracy → 何で割るかが問題

長期目標 反水素の精密分光

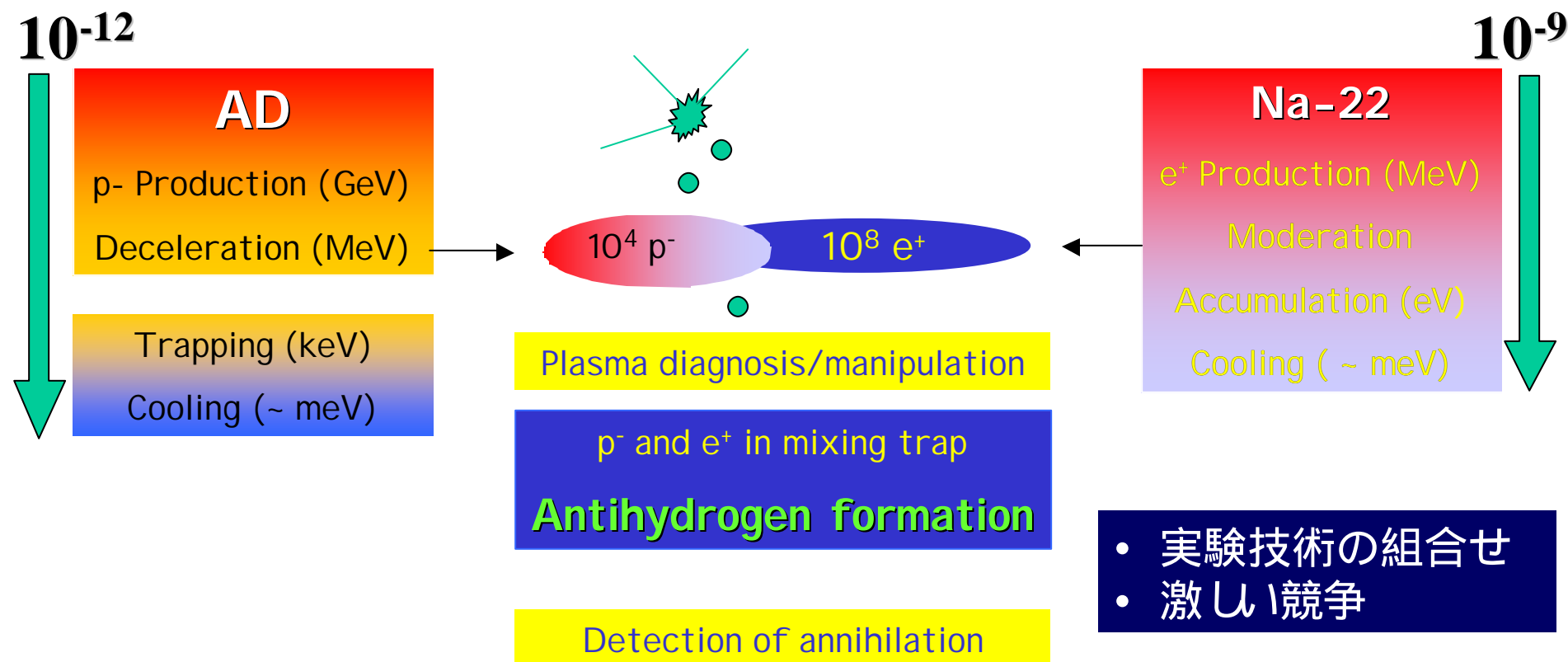
■ 水素原子の2光子分光の進展



水素との比較によりCPT高精度検証を目指す

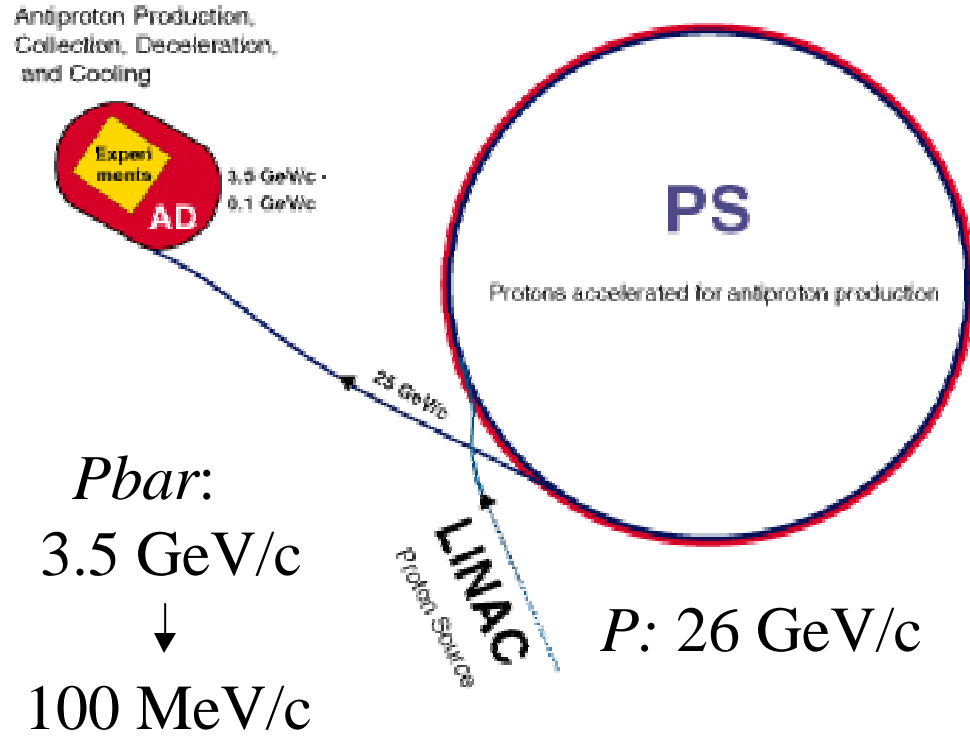
ATHENA Phase-Iの目標

冷たい反水素原子をつくる
(大量に、誰よりも先に)



CERNの反陽子減速施設

AD:Antiproton Decelerator

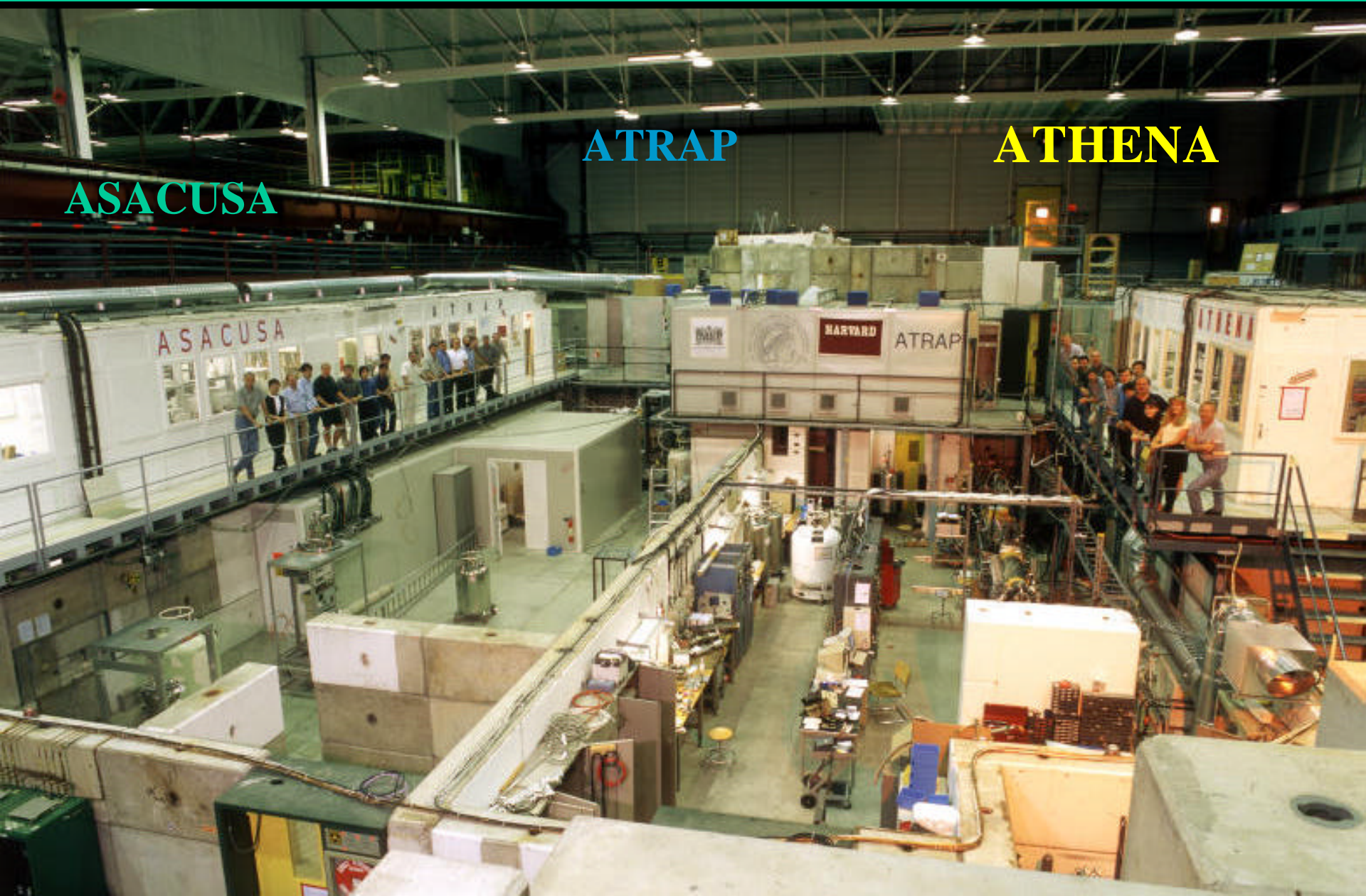


- 唯一の低速反陽子施設
- 日本が建設に多大な貢献



- Pulsed beam:
 4×10^7 /pulse, every 100 sec
- 3 experiments at AD:
Asacusa --- pbar-He, collisions
Athena --- antihydrogen
Atrap --- antihydrogen

CERN-AD における 3実験



冷たい反水素の生成

「冷たい反物質をめぐる熱い闘い」

2000年までの状況 (反陽子国際会議LEAP00)

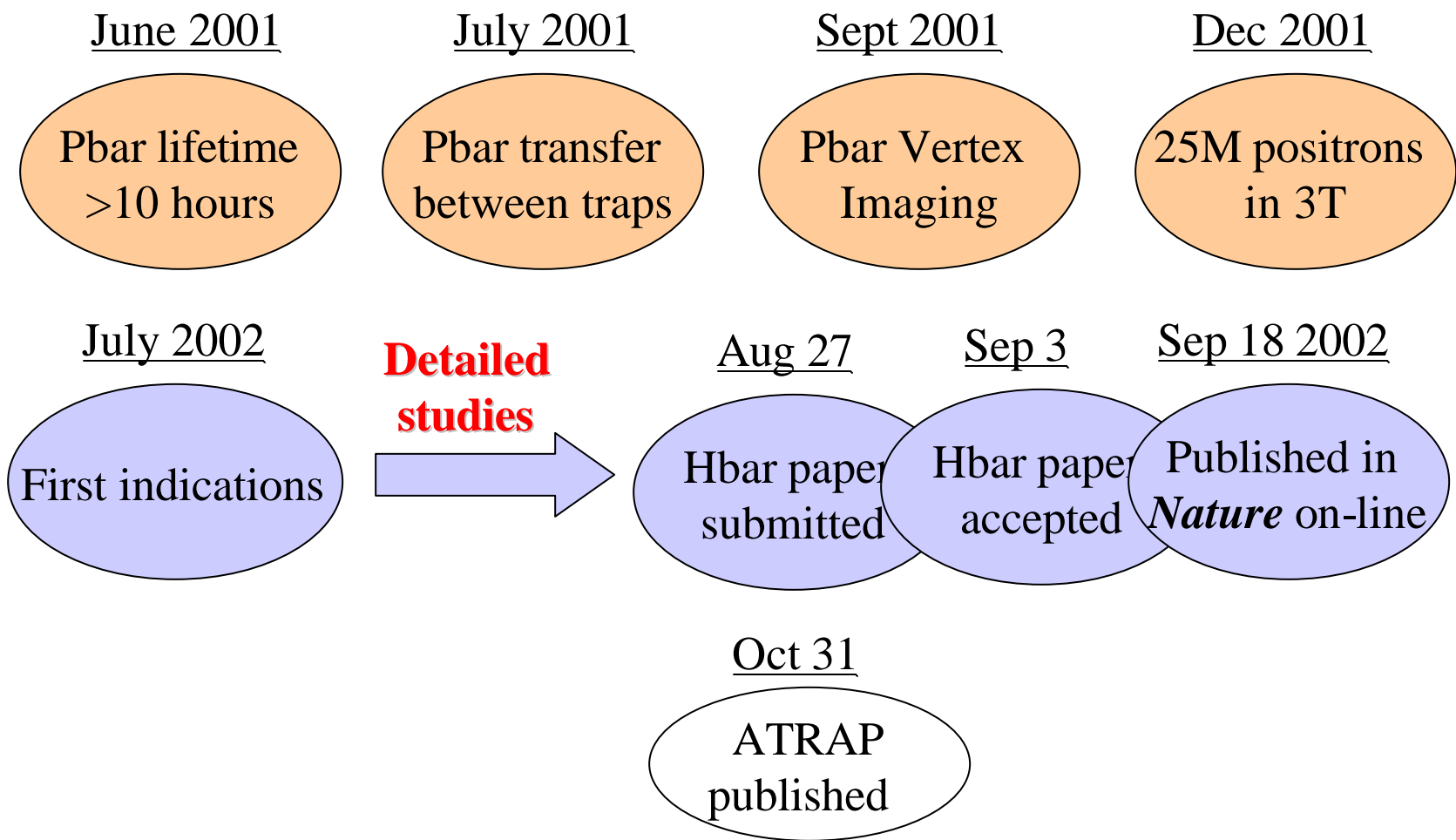
■ ATHENA

- 反陽子捕獲
- 反陽子の電子冷却

■ ATRAP

- 反陽子捕獲
- 反陽子の電子冷却
- 反陽子積み重ね
- 陽電子蓄積
- 反陽子-陽電子相互作用
- 反陽子の陽電子冷却

LEAP 2000以降の進展



A — ATHENAの現状

- 131 ± 22 の ‘Golden Events’ ”に基づいて反水素生成を報告
→50000 個以上の冷たい反水素
- しかしこれは非常に控えめなLower Limitだった
- 新しい予備結果：
 - ~1 million 反水素の生成
 - 高い生成率 >100 Hz
 - その他、各種測定
- 将来への展望

ATHENA 國際共同実験

Particle Traps + Control

Genoa

Amoretti M. Carraro C. Lagomarsino V.
Macri M. Manuzio G. Testera G. Variola A.

CERN

Bonomi G. Bouchta A. Doser M. Holzscheiter M.
Landua R. Riedler P. Rouleau G.

TOKYO-RIKEN

早野龍五, 船越亮, 藤原真琴
山崎泰規, 桧垣浩之, 山崎敏光

Precision lasers

Aarhus

Bowe P. Hangst J.S.

Rio de Janeiro (UFRJ)

Lenz Cesar C.

Positron Plasma

Swansea

Charlton M. Collier M. Jorgensen L.
Watson T. Van der Werf D.P.

Detector + Analysis

Zurich Univ.

Amsler C. Glauser A. Grögler D.
Lindelof D. Madsen N. Pruys H.
Regenfus C.

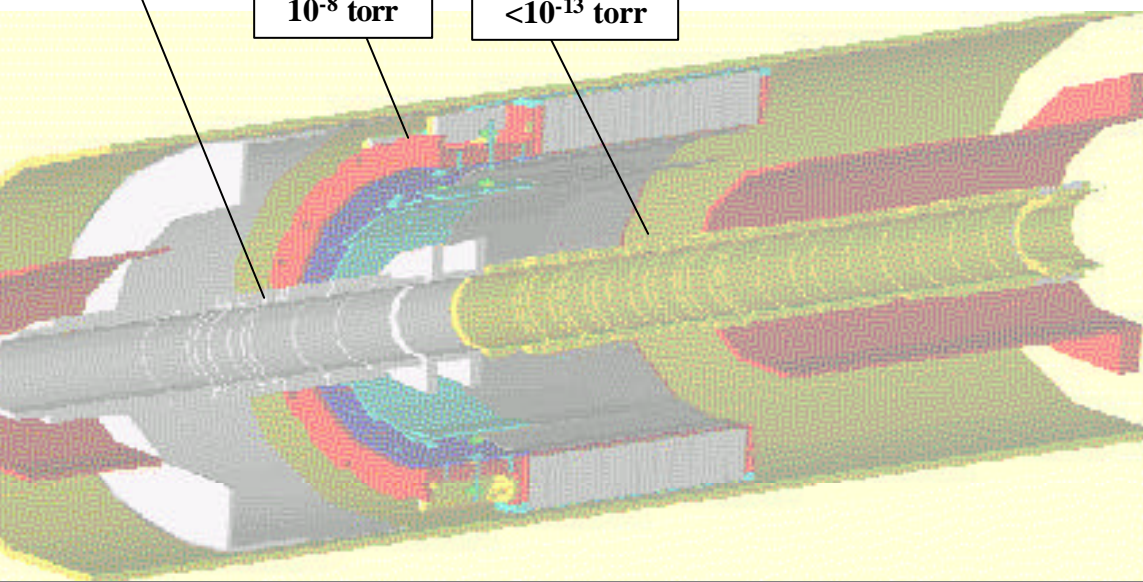
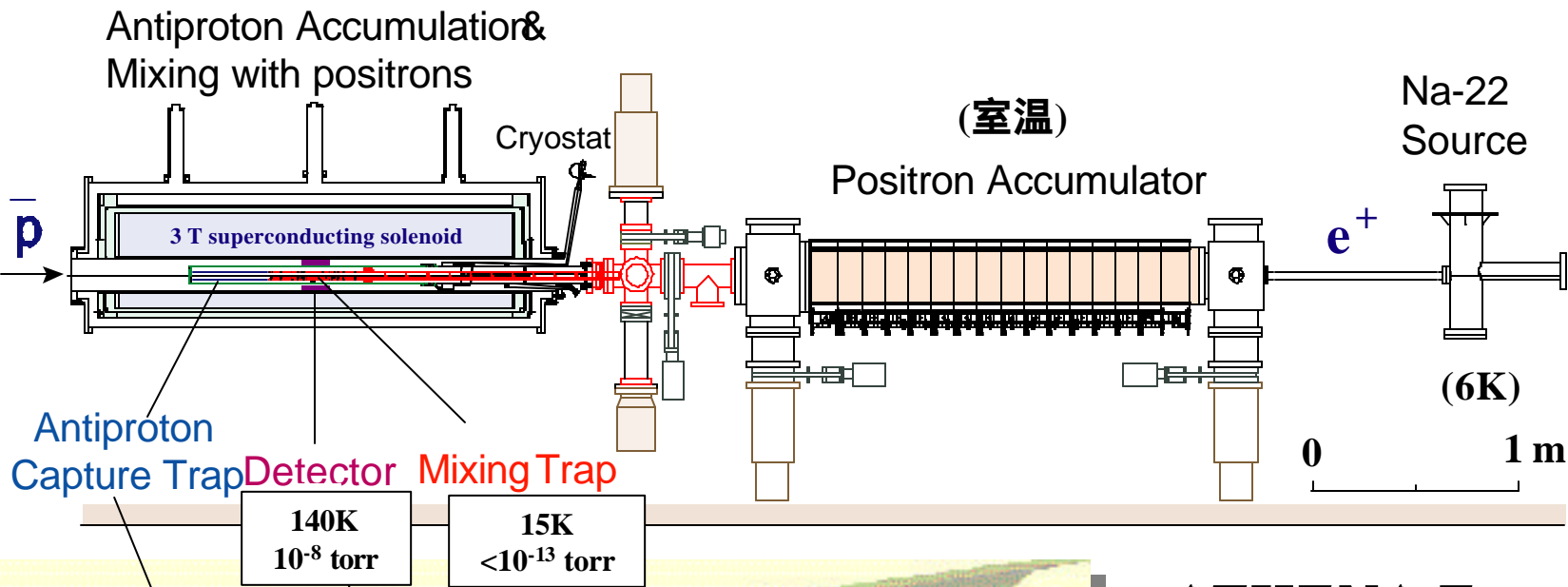
Pavia

Filippini V. Fontana A. Genova P.
Marchesotti M. Montagna P. Rotondi A.

Brescia

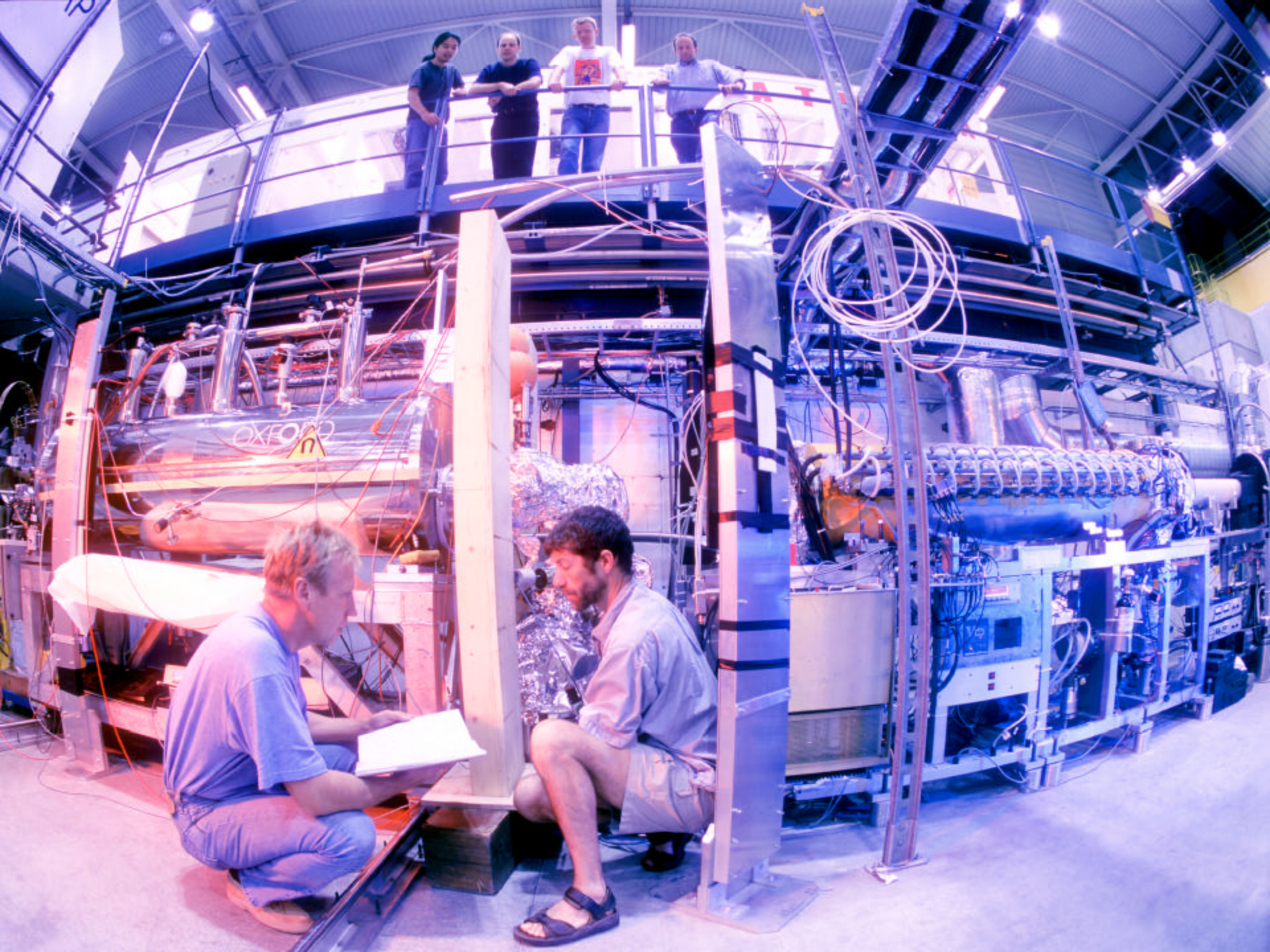
Lodi-Rizzini E. Venturelli L.

ATHENA 全体像



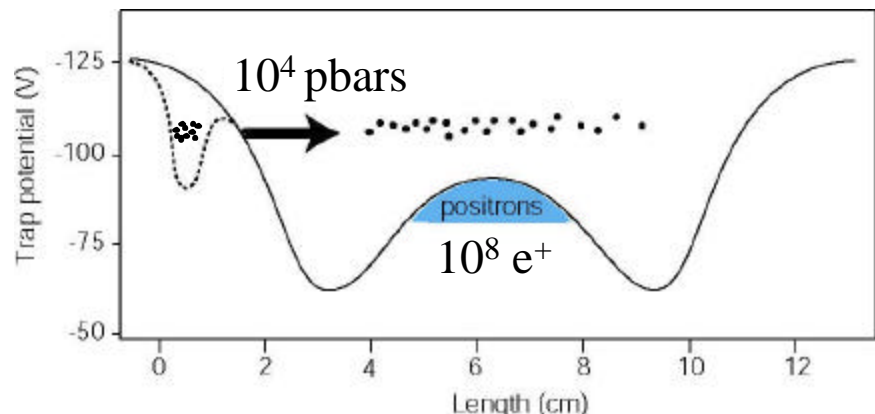
ATHENA Features

- 開放システム
(室温部分を含む)
- 強力な e^+ 源
- プラズマ制御
- 高度な検出器

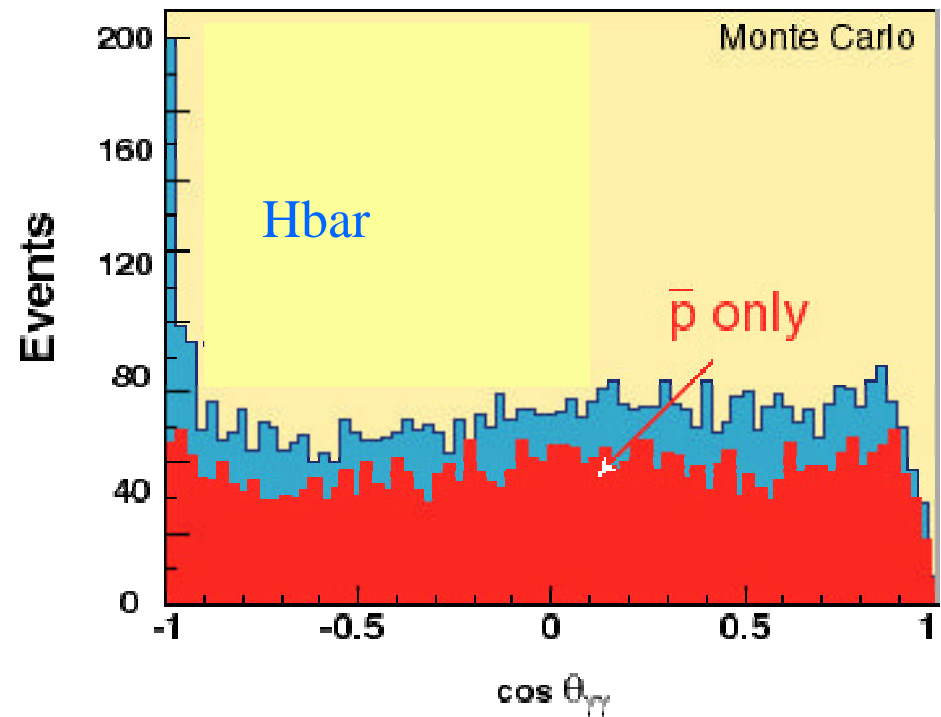
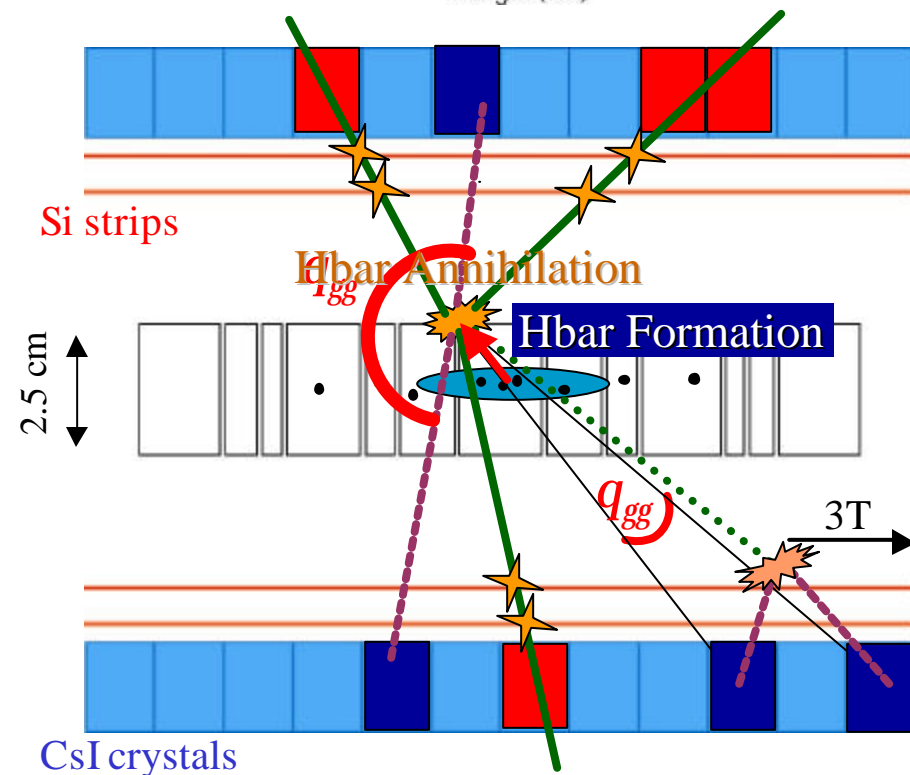


冷たい反水素原子の生成

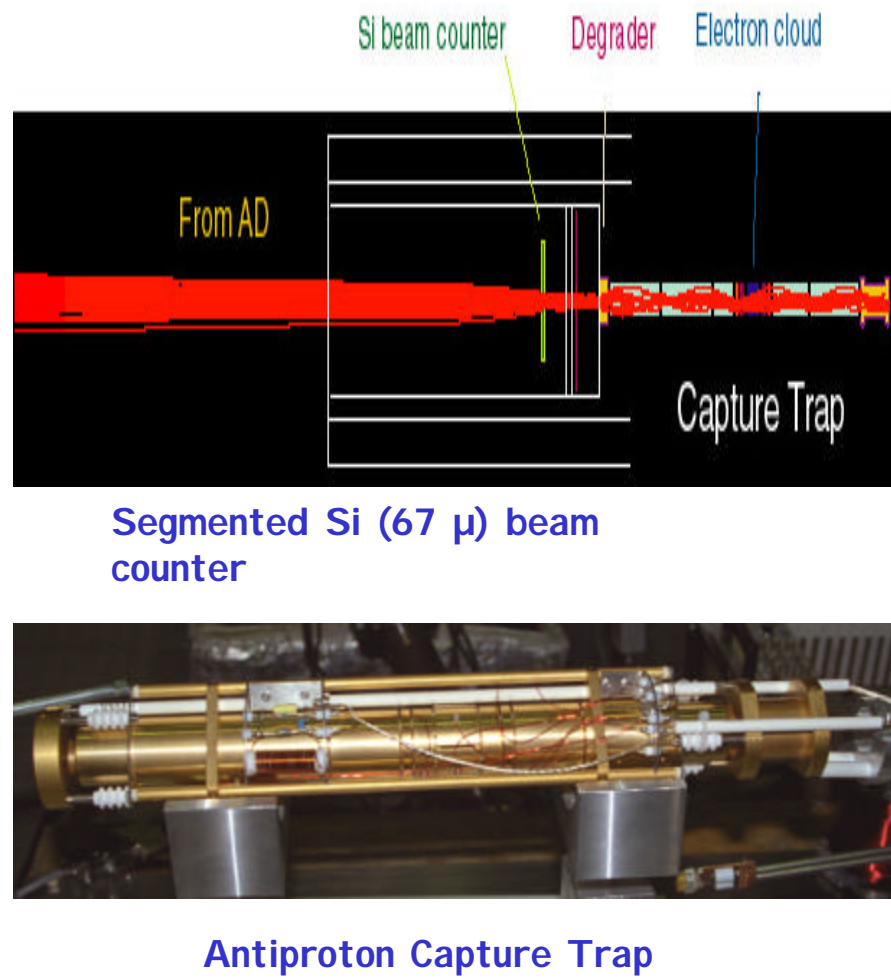
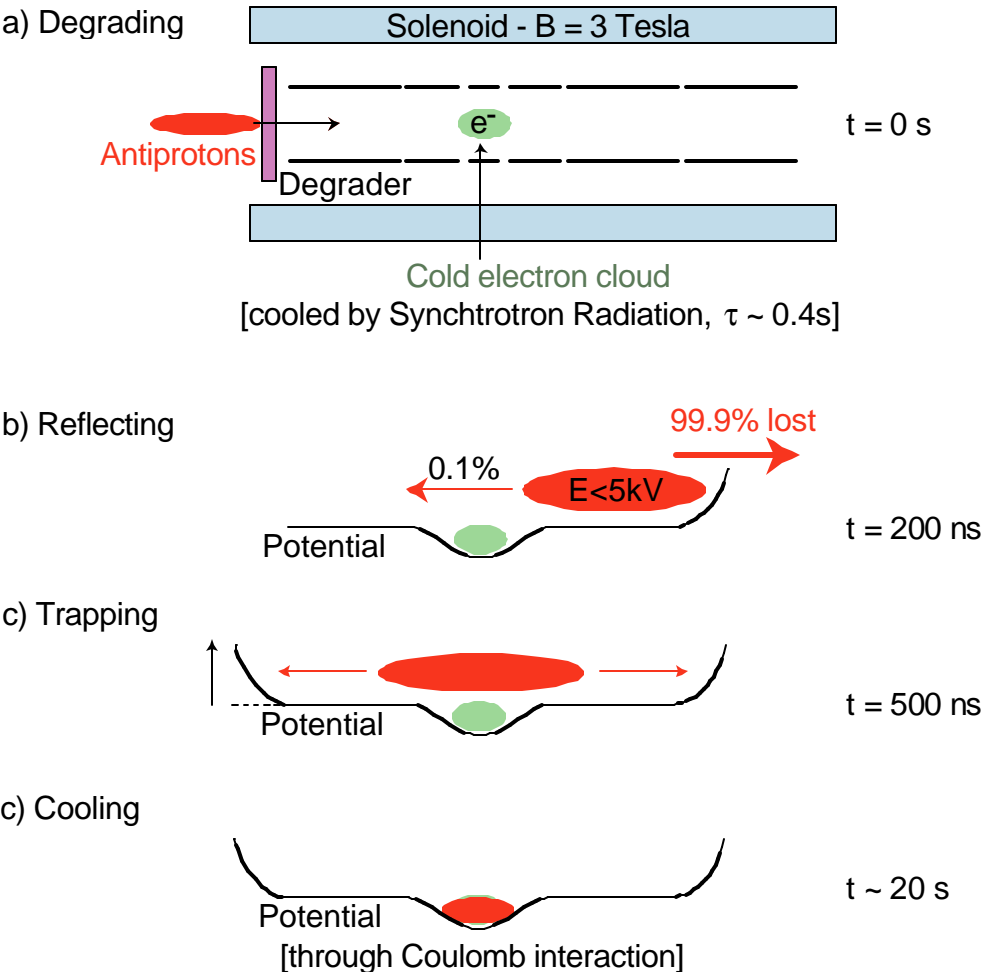
August 2002 ATHENA



- 10^4 pbars と $10^8 e^+$ を ト ラッ プ 中 で 混 合
- 反水素 生成、電極壁に衝突し消滅
- 反陽子が消滅、数個の荷電 中間子放出
- e^+ が 2つ の back-to-back γ に 消滅
- バーテックスからみた 2つ の 511keV γ の 開き角度、opening angle $\cos(\theta_{\gamma\gamma})$
- 角度相関のない \bar{p} が バックグランド (中性)



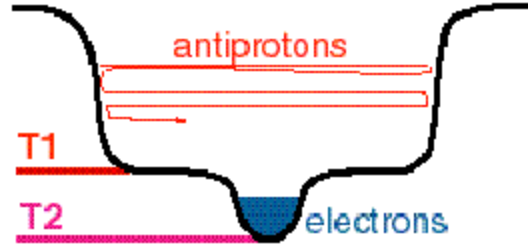
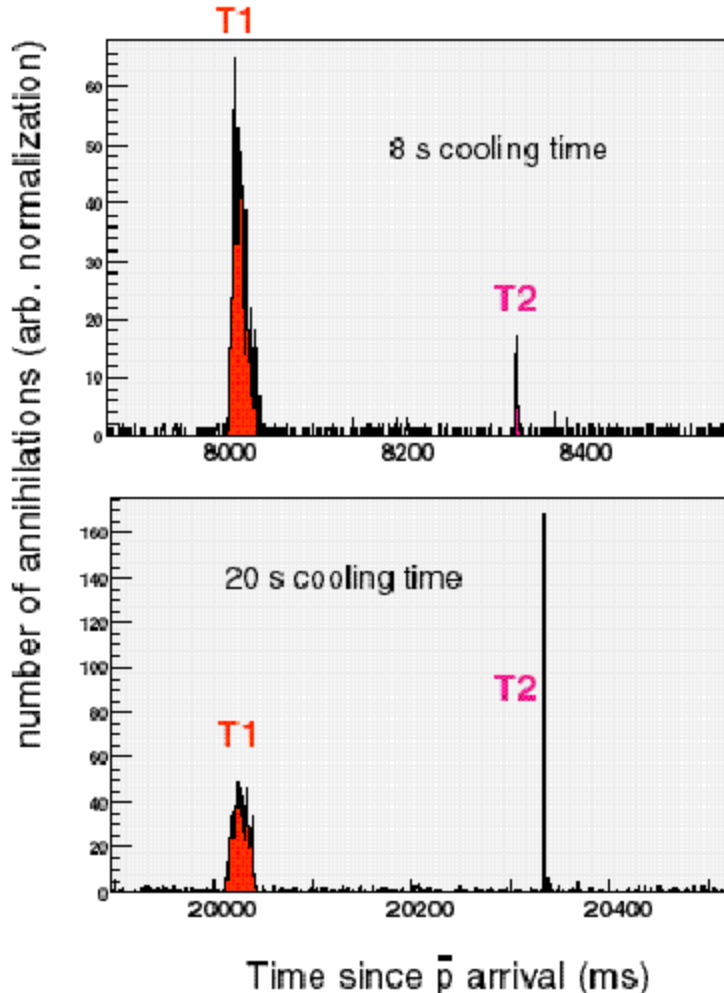
反陽子の捕獲と冷却



10^4 反陽子を捕獲・冷却後の混合トラップへ移動、電子除去

反陽子の電子冷却

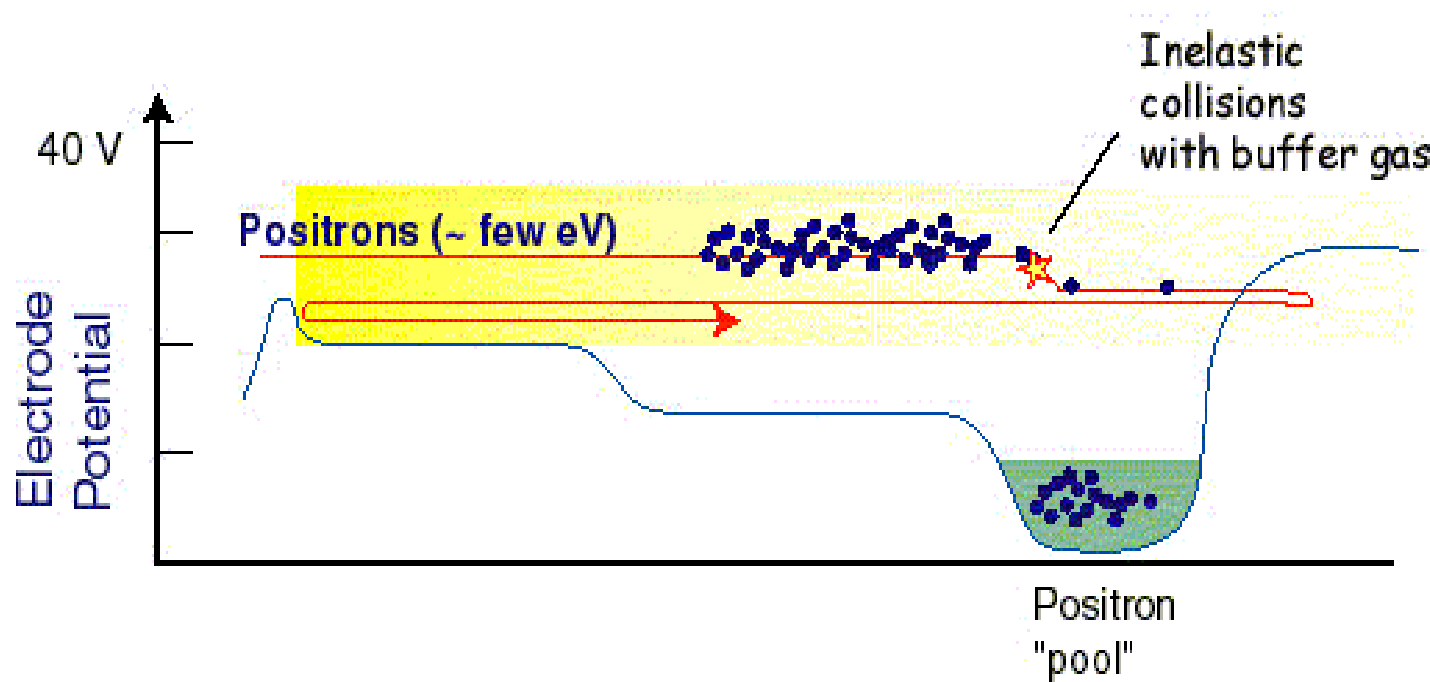
Electron Cooling in ATHENA



- 冷却時間 ~ 20-40 sec
- 冷却効率 > 80%
- 寿命 > 10 h
- 反陽子のトラップ間の移動
- 移動後、電子の除去

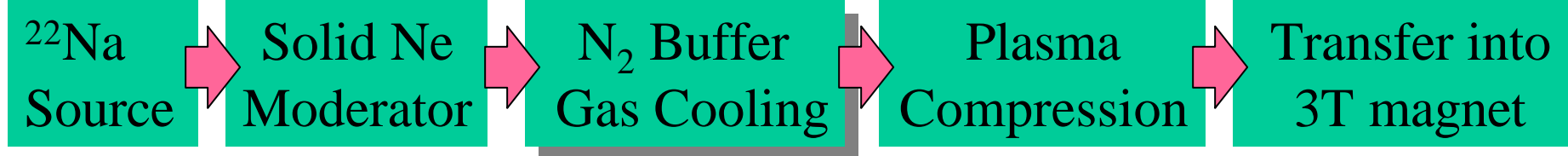
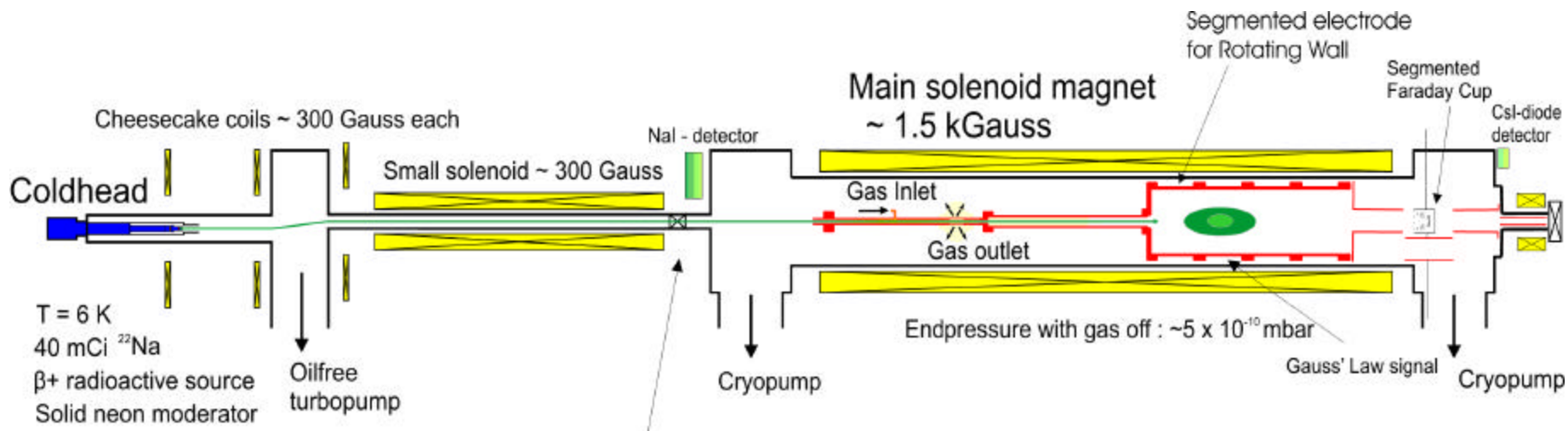
陽電子の蓄積

窒素バッファ・ガスによる散逸を用いた陽電子蓄積



(concept by C. Surko et al., Non-neutral plasmas Vol. 3, 3-12; AIP 1999)

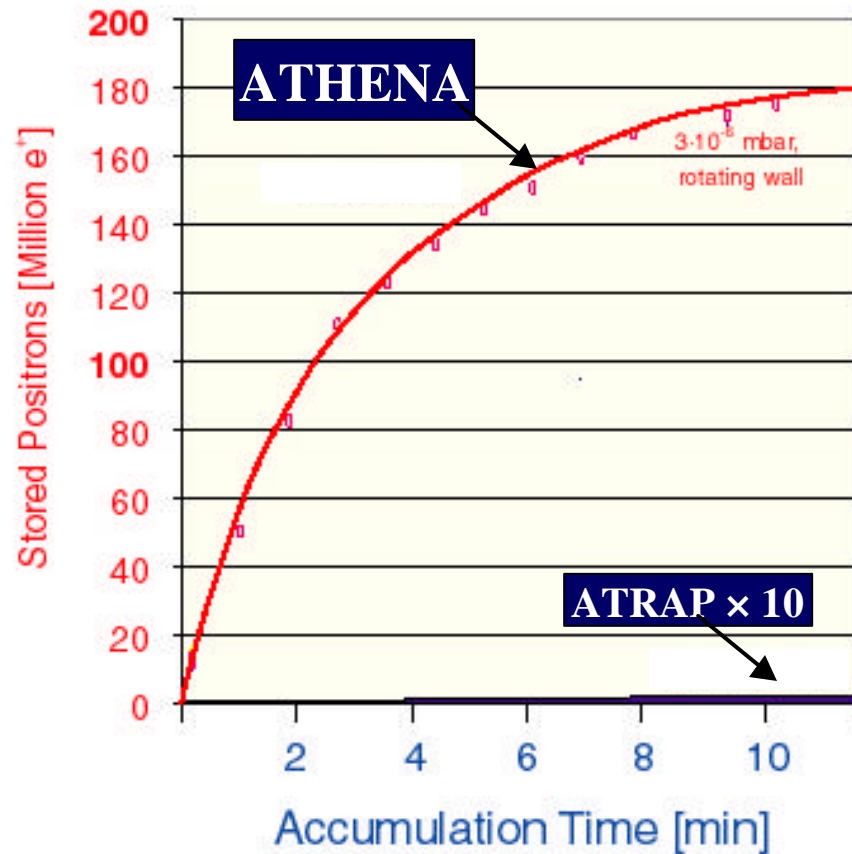
陽電子の蓄積



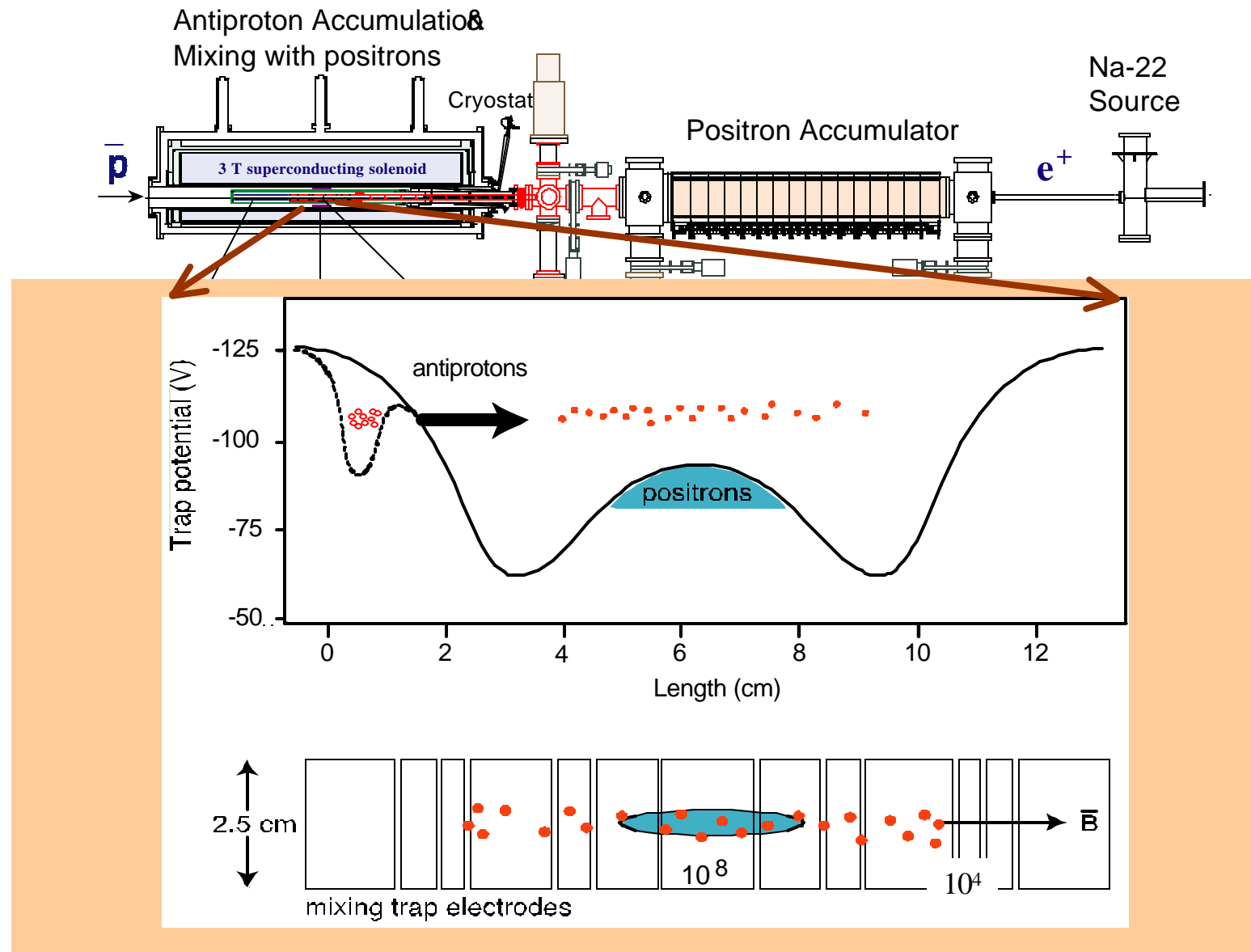
75 million 冷たい陽電子 / 5 min

ATHENAの陽電子蓄積装置

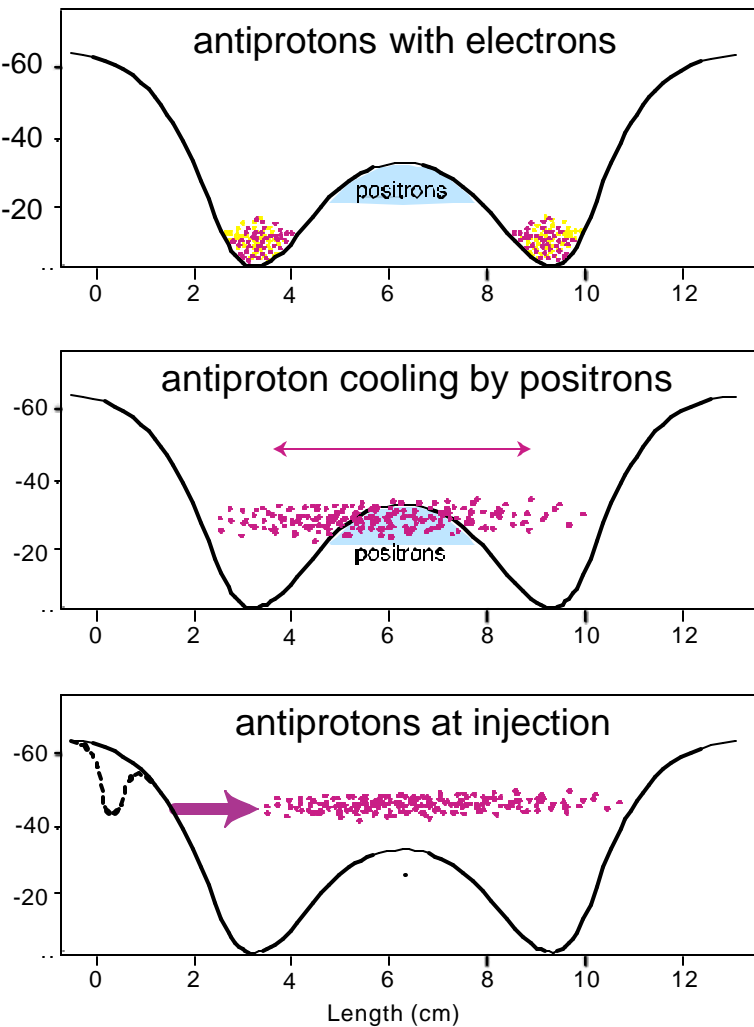
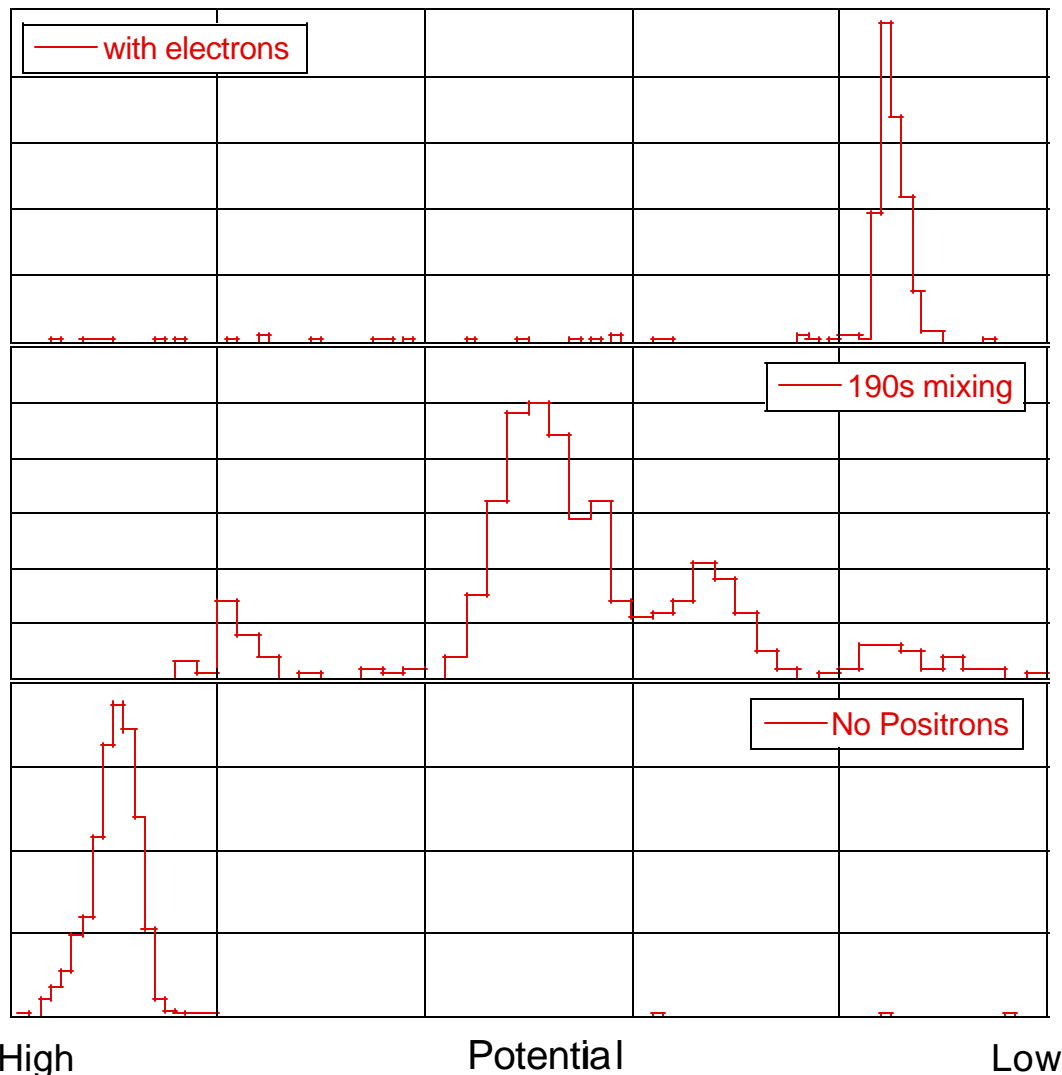
Accumulated positrons vs time



反陽子と陽電子の混ぜ合わせ



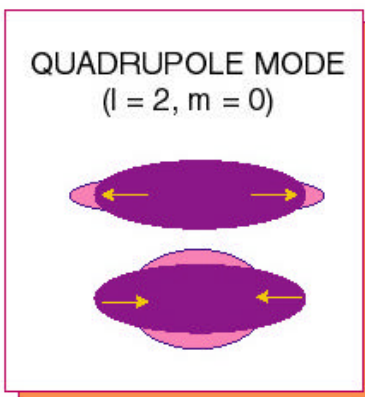
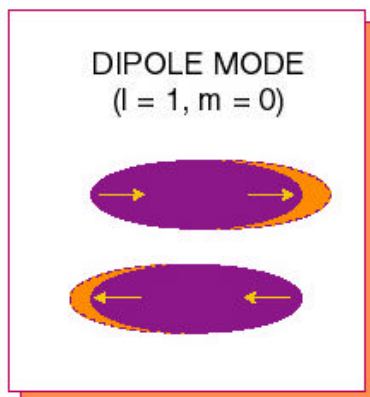
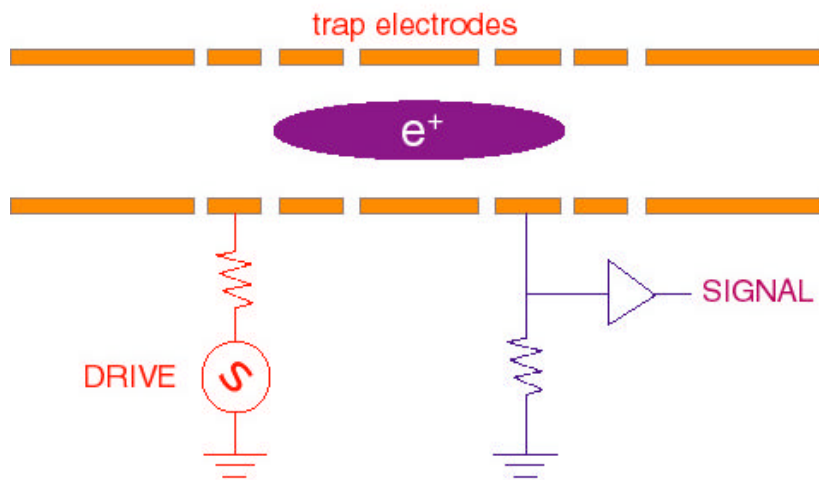
反陽子と陽電子の相互作用



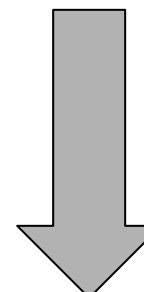
新しいプラズマ診断と操作の方法

PLASMA MODES DIAGNOSTICS

Submitted to *Phys. Rev. Lett.*



等価回路モデル
高周波プラズマ加熱



非破壊的
同時決定

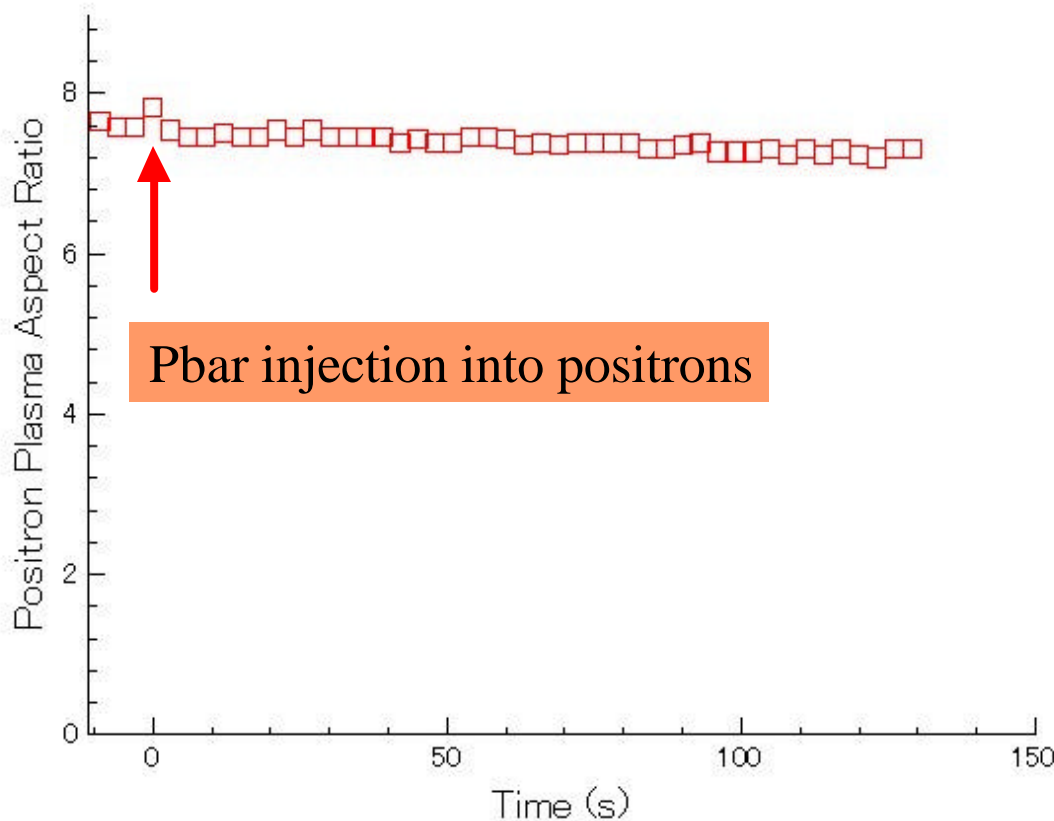
プラズマ形状, 密度,
粒子数,
プラズマ温度

反水素生成中のオンライン・プラズマ観察

プラズマ振動測定

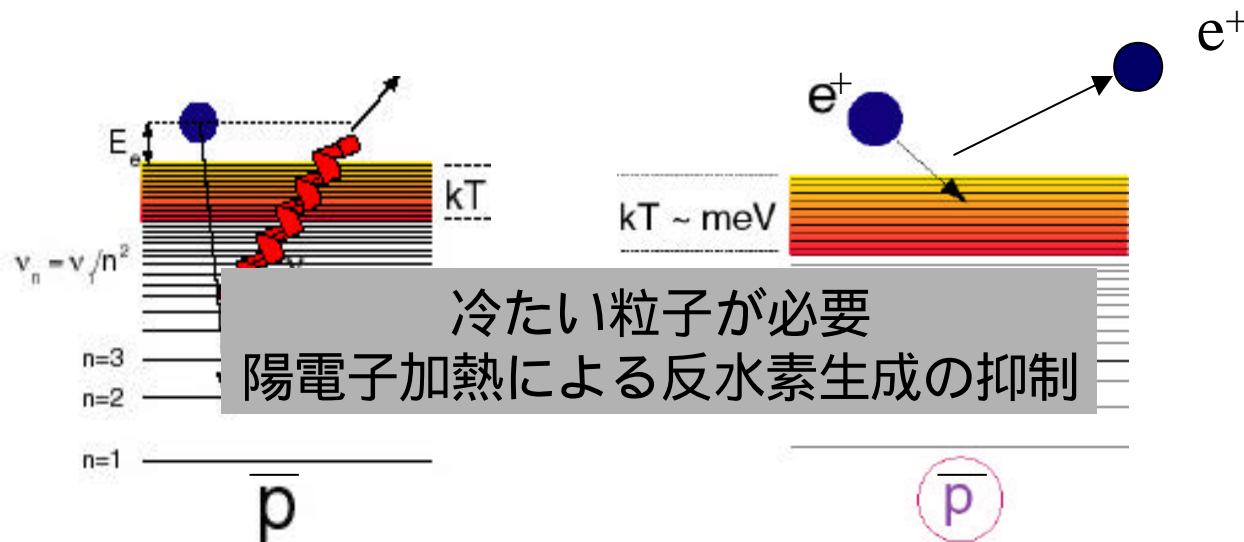
Plasma Modes Measurement during Mixing

Higaki's suggestion



- No significant changes in e+ plasma shape due to pbar injection
- gamma detector rates consistent with hbars
- No evidence for anomalous plasma transport due to pbars

反水素生成過程



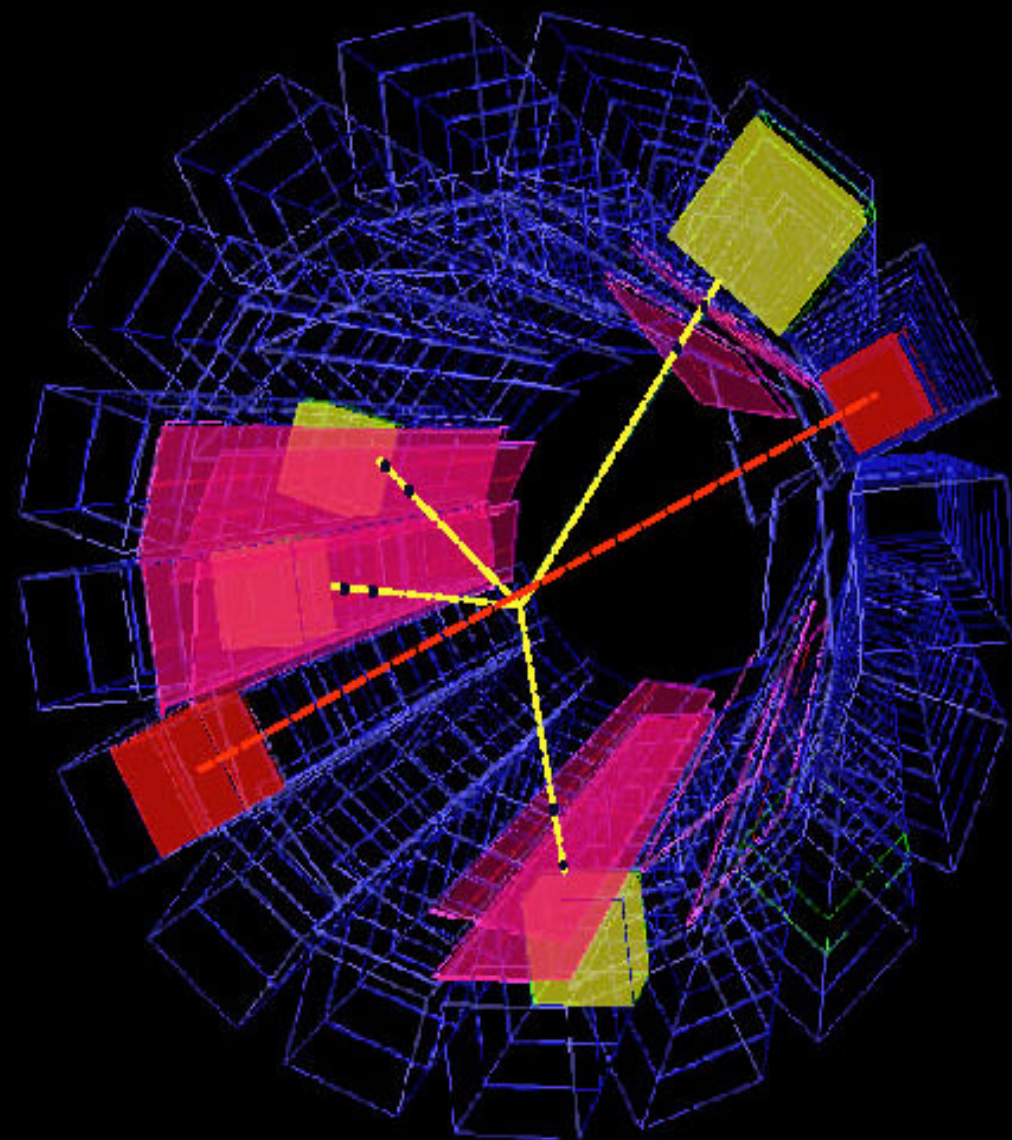
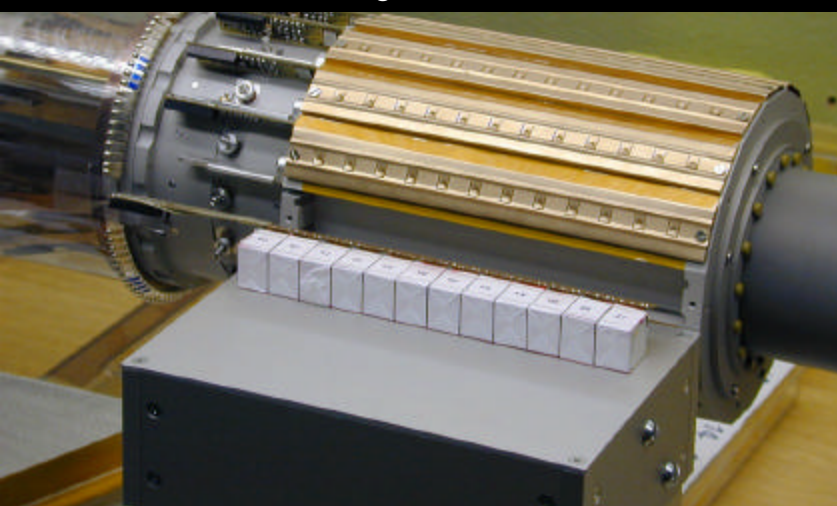
Energy-momentum conservation requires 3rd body

	Radiative	Three-body
Cross-section [cm ²]	10^{-16} (1 K)	10^{-7} (1 K)
Rate T dependence	$T^{-0.5}$	$T^{-4.5} \rightarrow \text{stabilization}$
Final quantum state	$n < 10$	$n > 10$
Stability (re-ionization)	high	low
Expected rates	$\sim 10\text{s Hz}$???

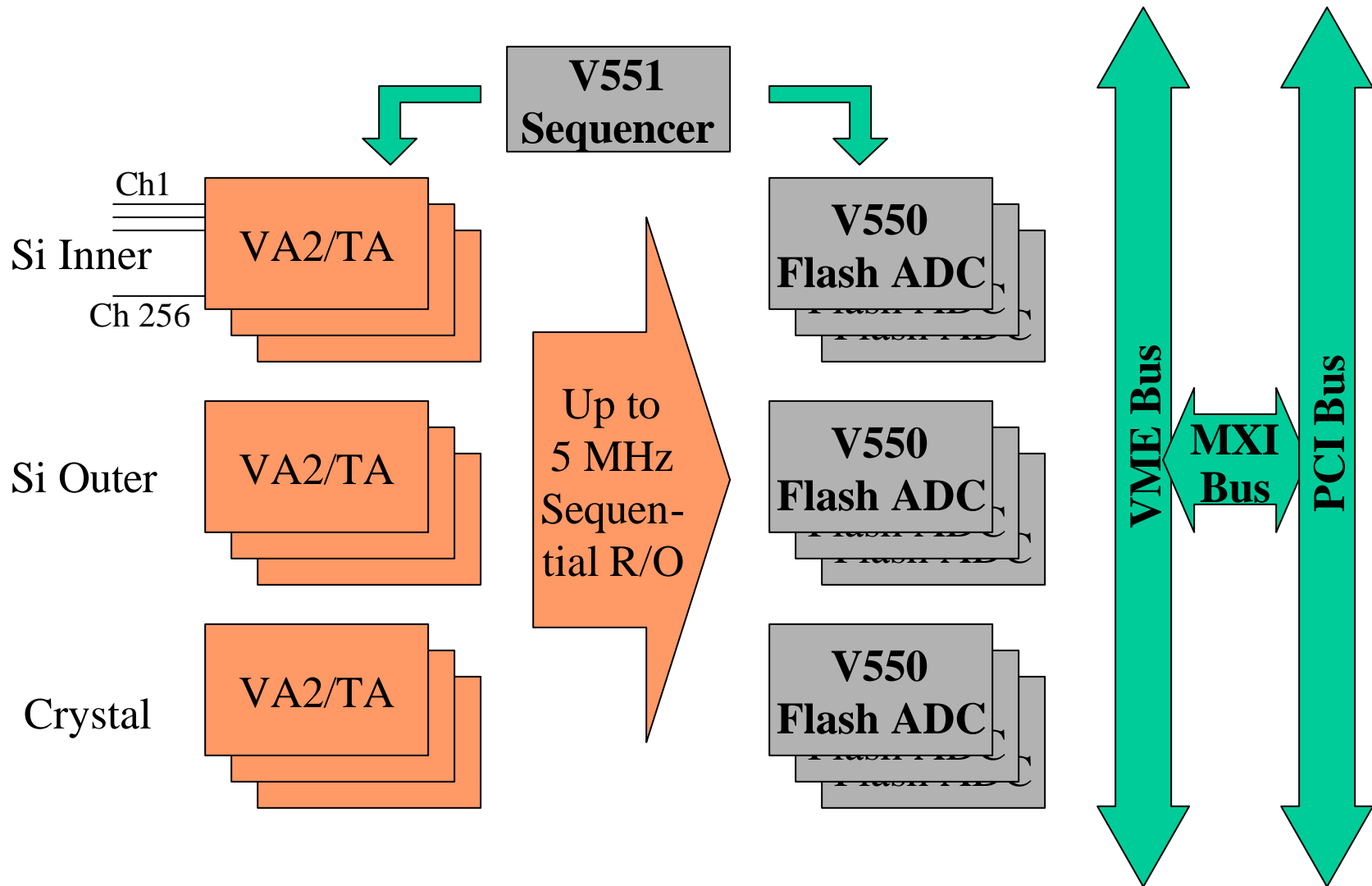
ATHENA 反水素検出器



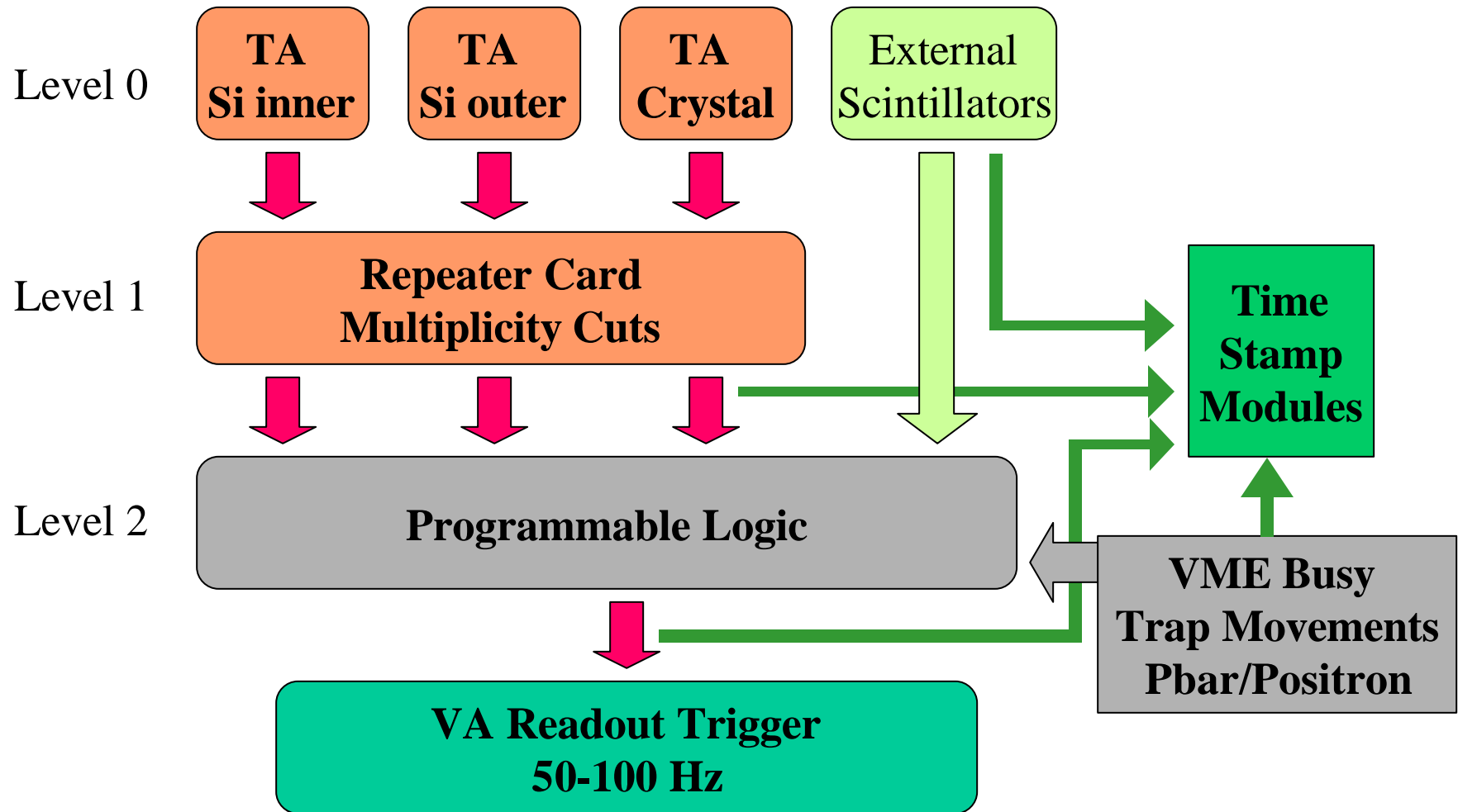
Operated at 140K, 3T, small space
• Si microstrips: 2 layers ~8000 ch
• CsI read out by APD: 192 ch



検出器読み出し概略



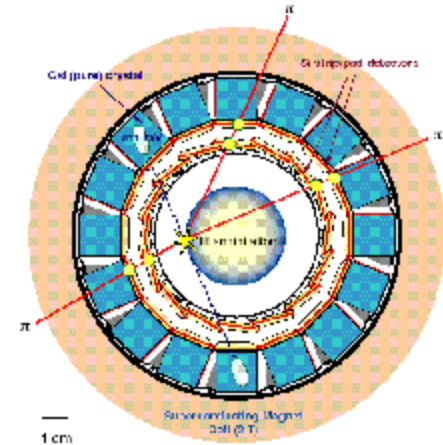
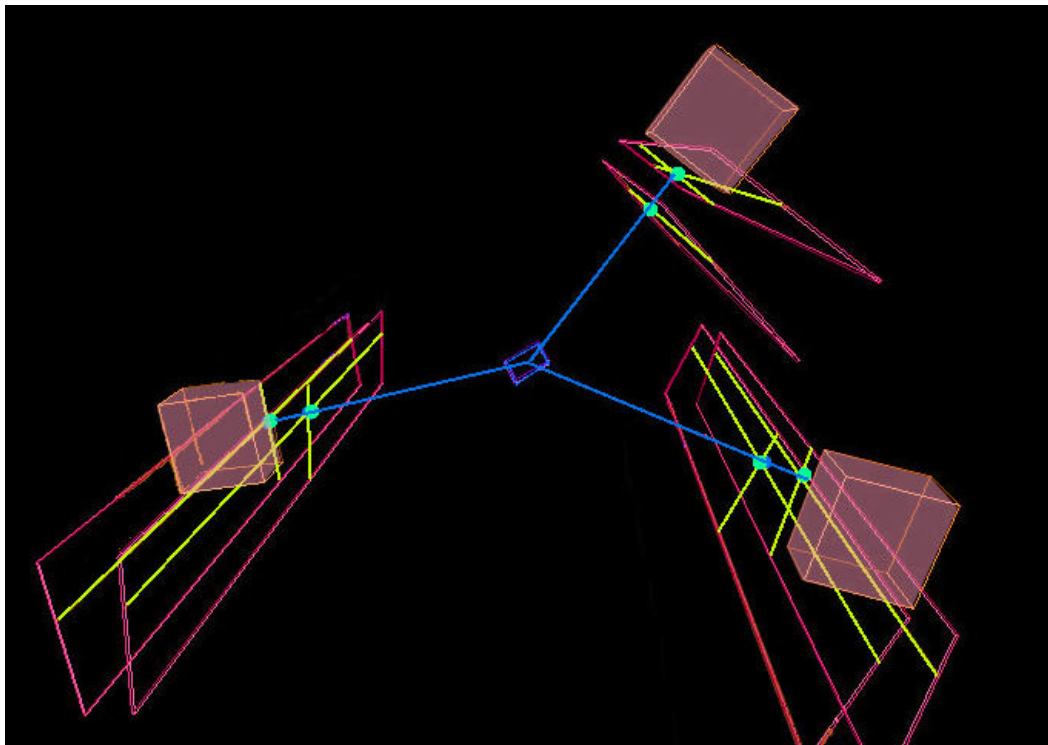
トリガー概略



反水素検出器 – 反陽子バーテックス

Antiproton Annihilation (example)

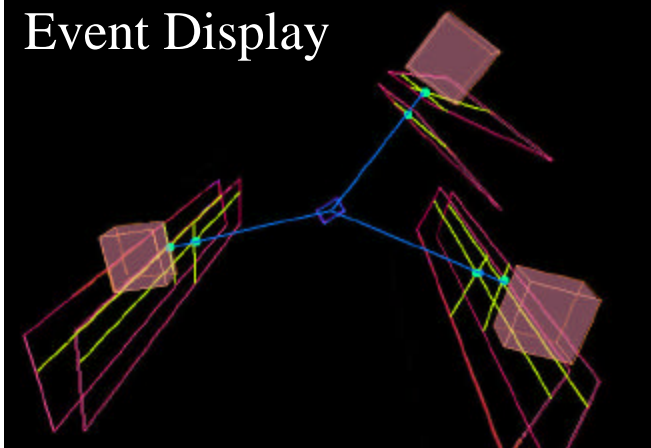
- into three charged particles
- hits on strips ($r\text{-}\phi$) and pads (z), inner/outer layer
- 3 crystals hit by tracks
- vertex reconstruction $s \sim 3\text{--}4 \text{ mm}$ (curvature @ 3 T)



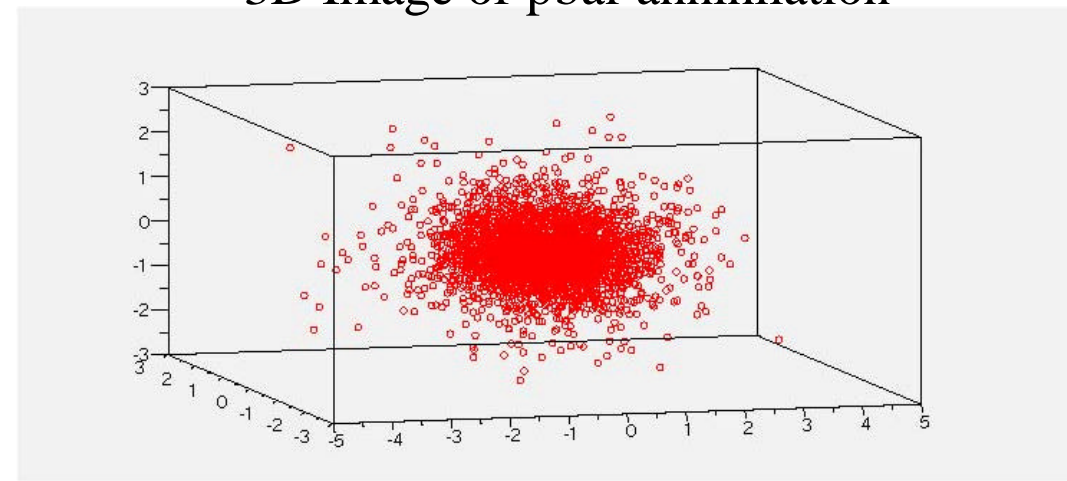
実時間反陽子イメージング

to be published

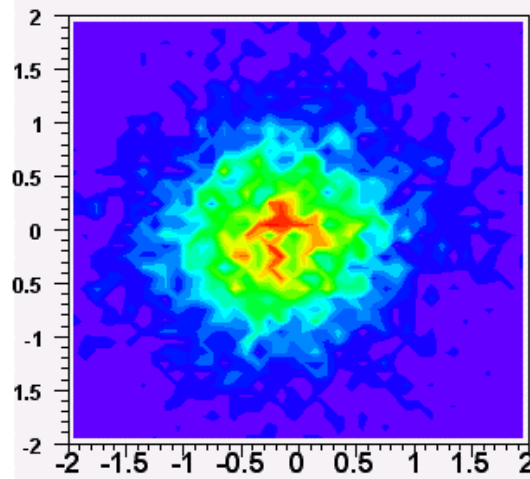
Event Display



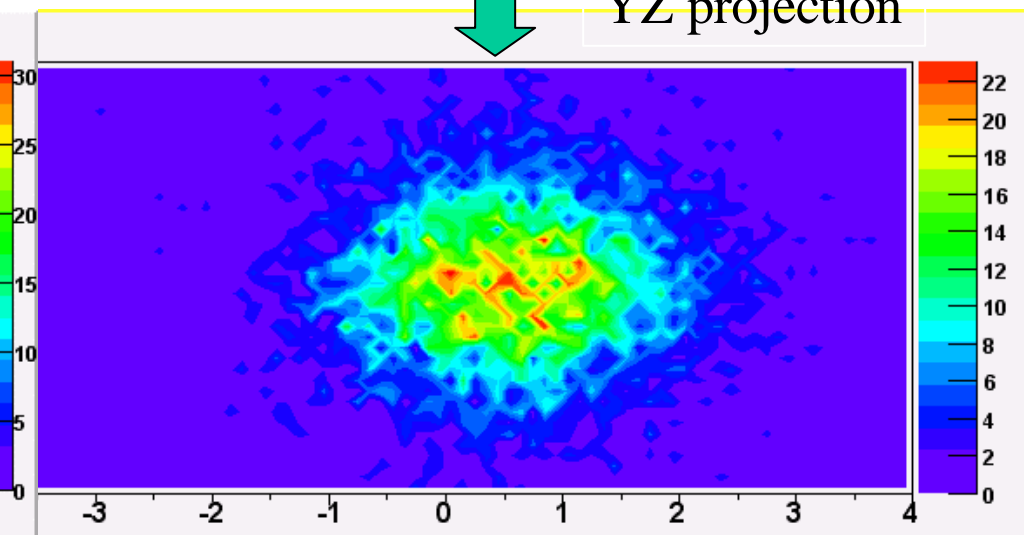
3D Image of pbar annihilation



XY projection



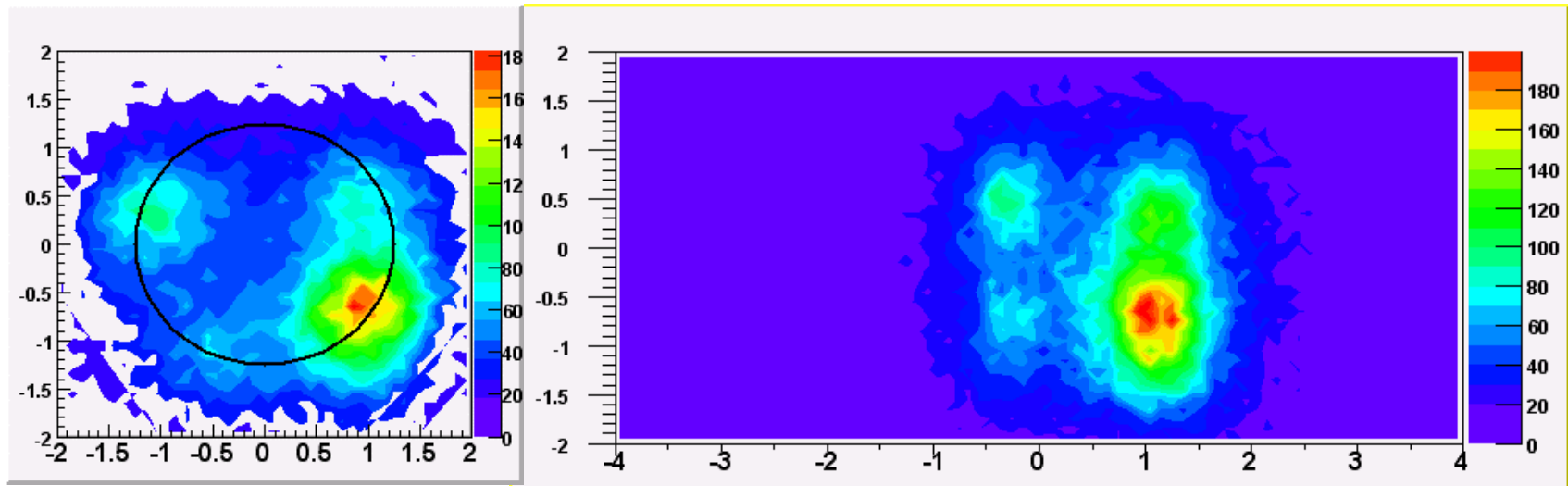
YZ projection



Pbar Imaging: Localized annihilations

to be submitted to Phys. Rev. Lett.

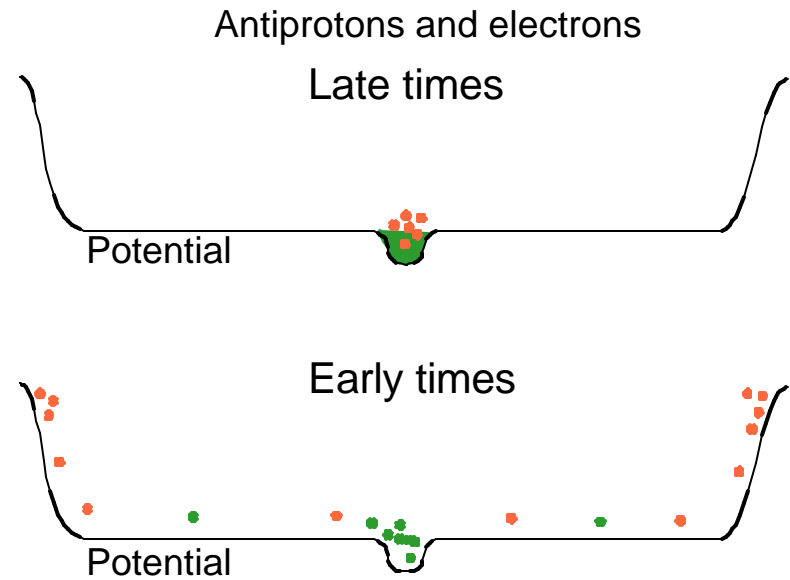
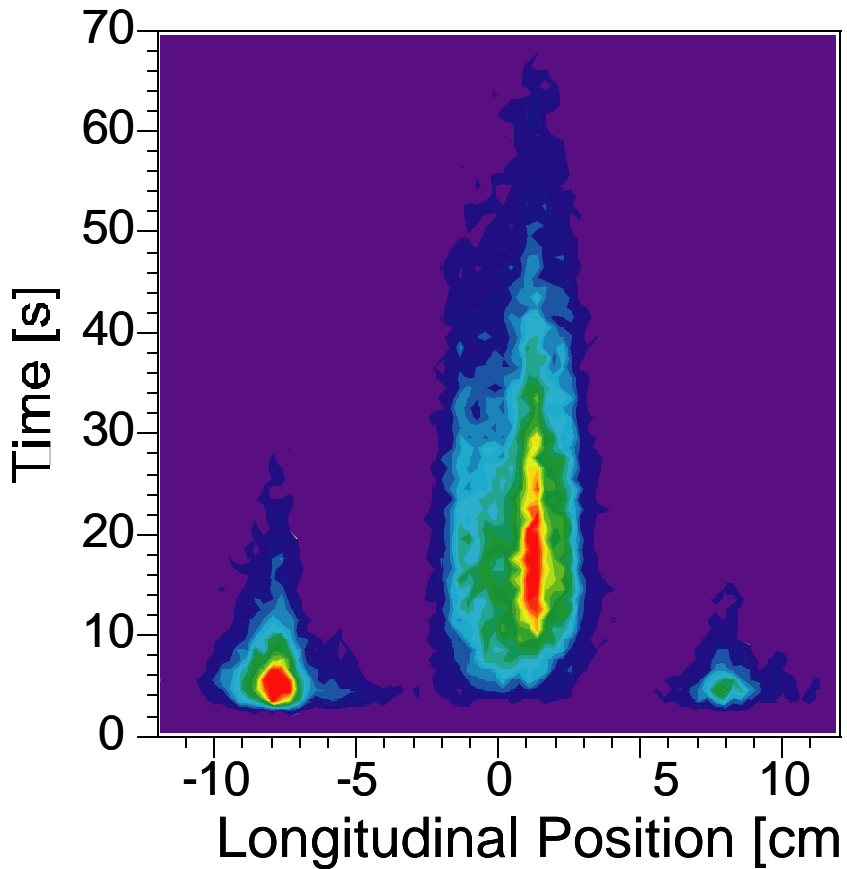
Pbar-only (with electrons)



XY projection

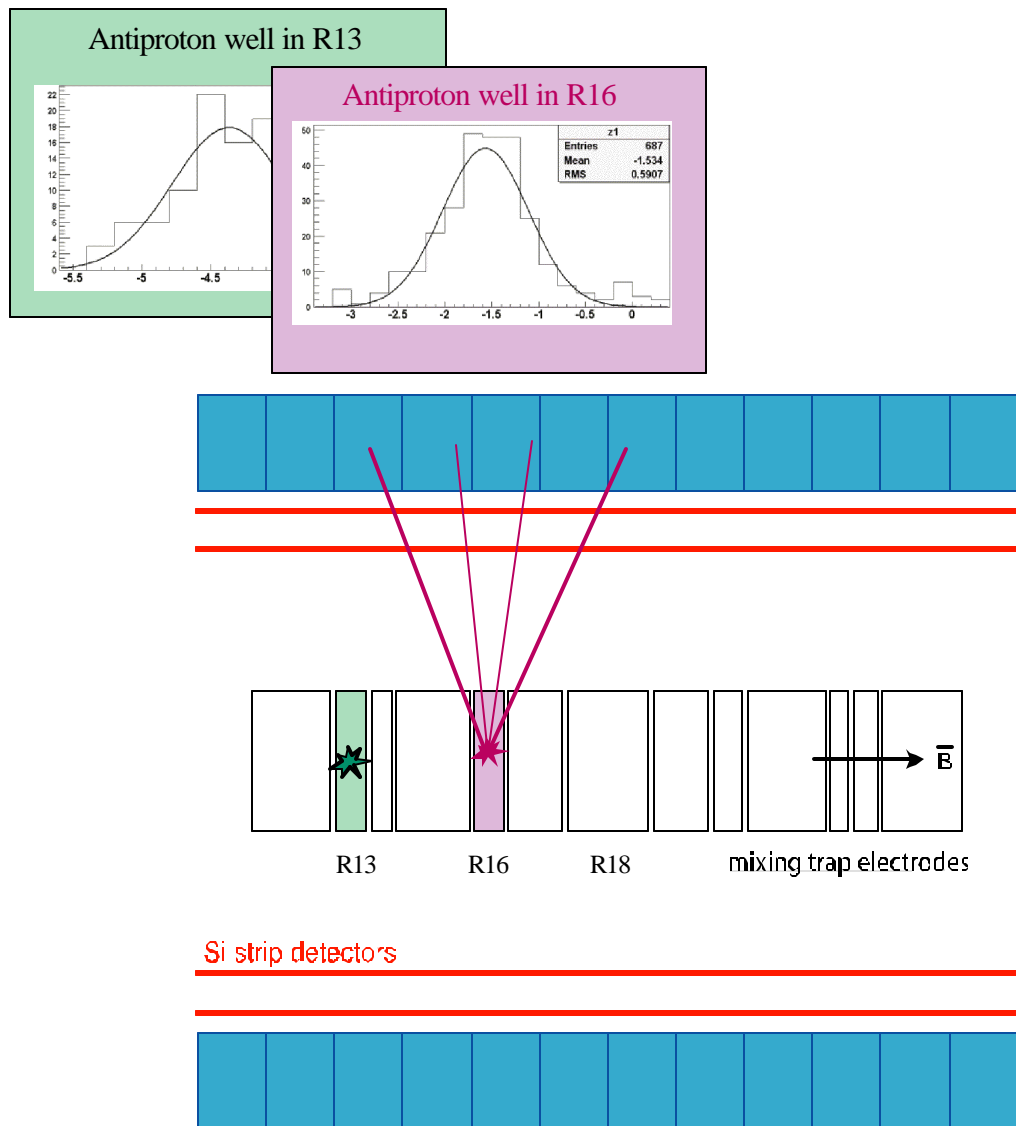
YZ projection

時間分解プラズマ視覚化

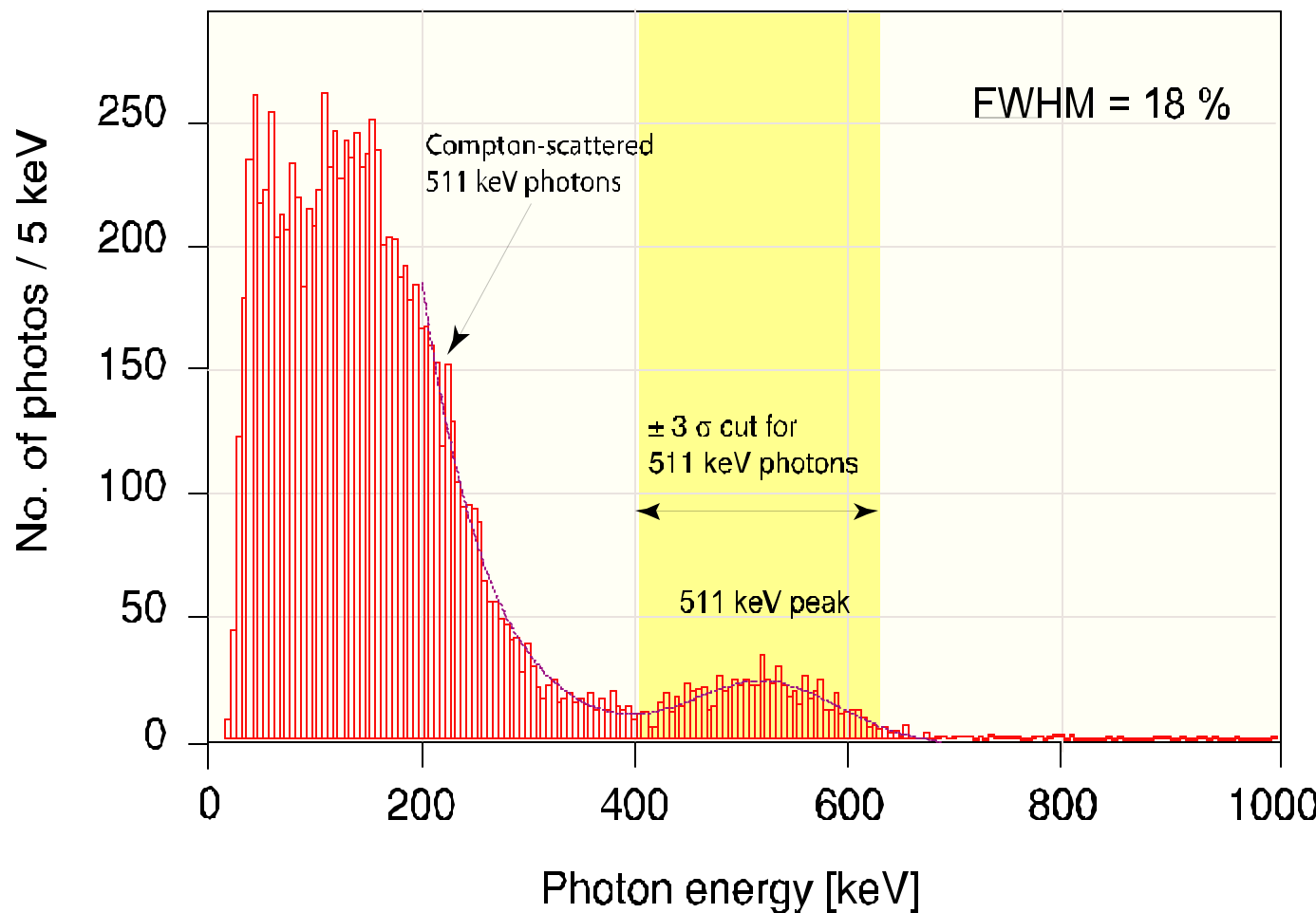


Powerful plasma and loss diagnostics !

反陽子消滅によるZ位置較正



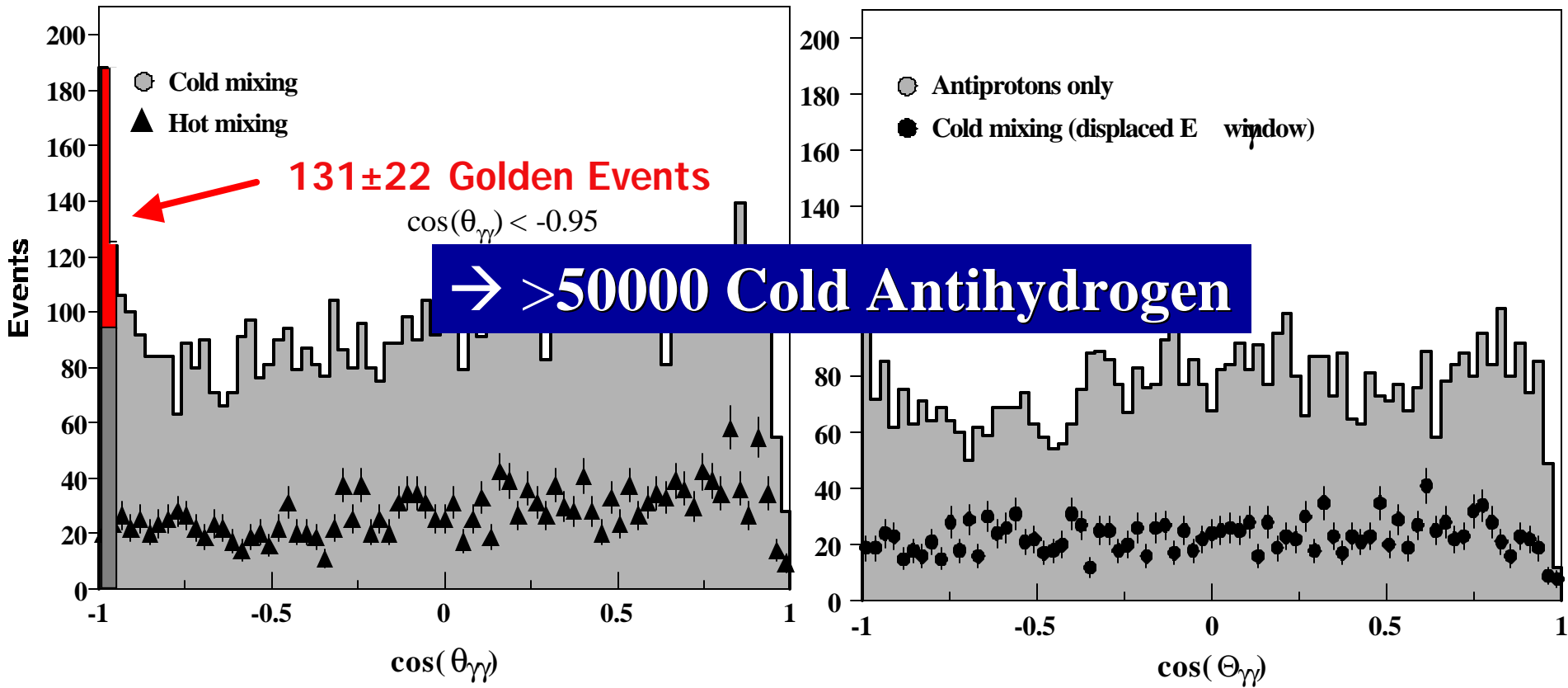
192 Pure CsI read out via APD



冷たい反水素生成の信号

August 2002 ATHENA

Amoretti et al., *Nature* 419 (2002) 456



Background Measurements

1. Hot-Mix: mixing with RF heated e^+ (~3000K):
→ turning off Hbar formation

2. Pbar-Only annihilation in interaction region
3. Displaced E γ window
(NB: random coinc negligible)

ATHENAが勝った！

Nature, September 18, 2002

advance online publication

letters to nature

Production and detection of cold antihydrogen atoms

M. Amoretti*, C. Amsler†, G. Bonomi§\$, A. Bouchat‡, P. Bowell§,
 C. Carraro*, C. L. Cesar¶, M. Charlton#, M. J. T. Collier#, M. Doser‡,
 V. Filippini§, K. S. Fine‡, A. Fontana**+, M. C. Fujiwara††,
 R. Funakoshi††, P. Genova★**, J. S. Hangst||, R. S. Hayano††,
 M. H. Holzscheiter‡, L. V. Jørgensen#, V. Lagomarsino***, R. Landua‡,
 D. Lindelöf†, E. Lodi Rizzini§★, M. Macri*, N. Madsen‡, G. Manuzio***,
 M. Marchesotti§, P. Montagna★**, H. Pruyss†, C. Regenfus†, P. Riedler‡,
 J. Rochet††, A. Rotondi★**, G. Rouleau‡‡, G. Testera*, A. Variola*,
 T. L. Watson# & D. P. van der Werf#

* Istituto Nazionale di Fisica Nucleare, Sezione di Genova, and ‡‡ Dipartimento di Fisica, Università di Genova, 16146 Genova, Italy

† Physik-Institut, Zürich University, CH-8057 Zürich, Switzerland

‡ EP Division, CERN, CH-1211 Geneva 23, Switzerland

§ Dipartimento di Chimica e Fisica per l'Ingegneria e per i Materiali, Università di Brescia, 25123 Brescia, Italy

|| Department of Physics and Astronomy, University of Aarhus, DK-8000 Aarhus C, Denmark

¶ Instituto de Física, Universidade Federal do Rio de Janeiro, Rio de Janeiro 21945-970, and Centro Federal de Educação Tecnológica do Ceará, Fortaleza 60040-531, Brazil

Department of Physics, University of Wales Swansea, Swansea SA2 8PP, UK

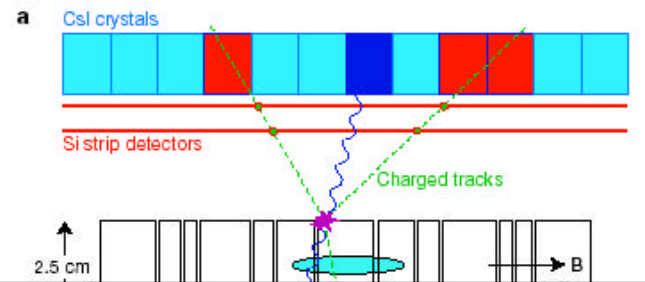
\$ Istituto Nazionale di Fisica Nucleare, Sezione di Pavia, and ** Dipartimento di Fisica Nucleare e Teorica, Università di Pavia, 27100 Pavia, Italy

†† Department of Physics, University of Tokyo, Tokyo 113-0033, Japan

A theoretical underpinning of the standard model of fundamental particles and interactions is CPT invariance, which requires that the laws of physics be invariant under the combined discrete operations of charge conjugation, parity and time reversal. Antimatter, the existence of which was predicted by Dirac, can be used to test the CPT theorem—experimental investigations involving comparisons of particles with antiparticles are numer-

drogen annihilation detector. All traps in the experiment are variations on the Penning trap⁶, which uses an axial magnetic field to transversely confine the charged particles, and a series of hollow cylindrical electrodes to trap them axially (Fig. 1a). The catching and mixing traps are adjacent to each other, and coaxial with a 3 T magnetic field from a superconducting solenoid. The positron accumulator has its own magnetic system, also a solenoid, of 0.14 T. A separate cryogenic heat exchanger in the bore of the superconducting magnet cools the catching and mixing traps to about 15 K. The ATHENA apparatus⁷ features an open, modular design that allows great experimental flexibility, particularly in introducing large numbers of positrons into the apparatus—an essential factor in the current work.

The catching trap⁸ slows, traps, cools and accumulates antiprotons. To cool antiprotons, the catching trap is first loaded with 3×10^8 electrons, which cool by synchrotron radiation in the 3 T magnetic field. Typically, the AD delivers 2×10^7 antiprotons having kinetic energy 5.3 MeV and a pulse duration of 200 ns to the experiment at 100-s intervals. The antiprotons are slowed in a thin foil and trapped using a pulsed electric field. The antiprotons lose energy and equilibrate with the cold electrons by Coulomb interaction. The electrons are ejected before mixing the antiprotons with positrons. Each AD shot results in about 3×10^3 cold antiprotons for interaction experiments.



ATHENA in the News

September 19, 2002

The New York Times

More Sci- Tech Antimatter

By DENNIS OVERBYE

Physicists working with antimatter, or antiprotons, have passed through a realm once reserved for theorists say, could one day light the way to a de-

讀売新聞

反水素」5万個

個が個々の

た。現在の物理学の理論が

正しいかを確かめる反物質

研究に道を開く。

た。現在の物理学の理論が

正しいかを確かめる反物質

研究に道を開く。

た。現在の物理学の理論が

正しいかを確かめる反物質

BBC 1

NEWS SPORT WEATHER WORLD SERV

BBC NEWS

WORLD EDITION

CNN.com

/SCIENCE & SPACE

International Herald Tribune 一面

Guardian 社説

Financial Times

USA Today

Le Monde (France)

Die Welt (Germany)

Spiegel (Germany)

Tribune de Geneve (Switzerland)

El Mundo (Spain)

Corriere della Sera (Italy)

Ingeniøren (Denmark)

Dagens Nyheter (Sweden)

Helsigin Sanomat (Finland)

Spits (Netherlands)

Gazeta Wyborcza (Poland)

The Times of India (India)

etc...

東大教授ら国際チーム成功

Physicists brew antimatter to test Big Bang theory

Thursday, September 19, 2002 Posted: 10:08 AM EDT (1408 GMT)

LONDON (Reuters) — European scientists have developed enough antimatter to try to answer one of the great questions of Big Bang theory, researchers said.

Scientists think the Big Bang that created the cosmos about 15 billion years ago produced equal amounts of matter and antimatter. But the antimatter, in which subatomic particles have the opposite electrical charge to matter, just after the Big Bang



毎日新聞一面

大量生成に成功

バン解明へ手掛け

水素 反水素

19日(木曜日) 14版 社会 42

日経新聞

通常の水素原子とは逆に、マイナスの電気を持つ反陽子とプラスの電気を持つ陽電子から成る「反水素原子」の大量合成に日本や欧州などの国際共同実験チームが成功。十八日付の英科学誌ネイチャーエレクトロニクスで発表される。水素原子と水素イオンの電荷を検証する実験結果とされる。

反水素原子を

日欧などの共同チーム

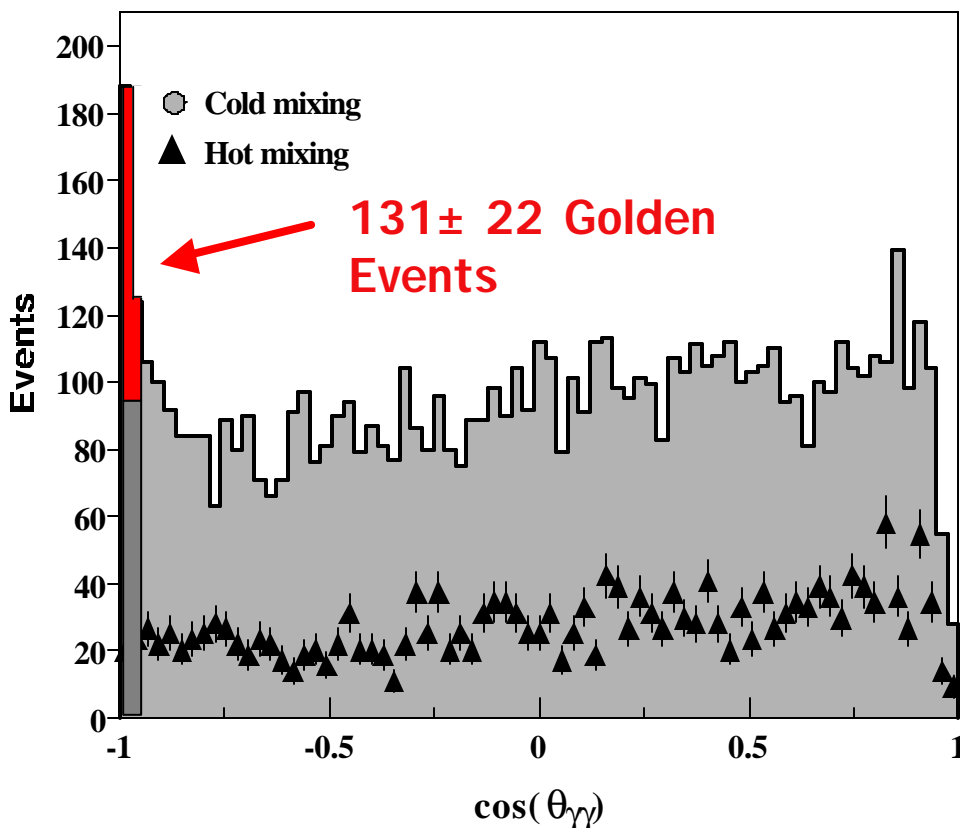
2002年の重大科学ニュース

- 英物理学会*Physics World* :2002年のトップ1物理ニュース
- 米物理学会*Physics News Update* :同率トップ1ニュース(SNO)
- 一般科学雑誌ディスカバー :トップ4科学ニュース
- ネイチャー :2002年のハイライトの一つ
- サイエンス :来年(2003年)の注目株
- ...
- ネット・カルチャー雑誌 *Wired Magazine* :
Annual Rave Awards Nomination
「今年新しい文化を創った人々」
(Eminem, スピルバーグ, 宮崎駿)

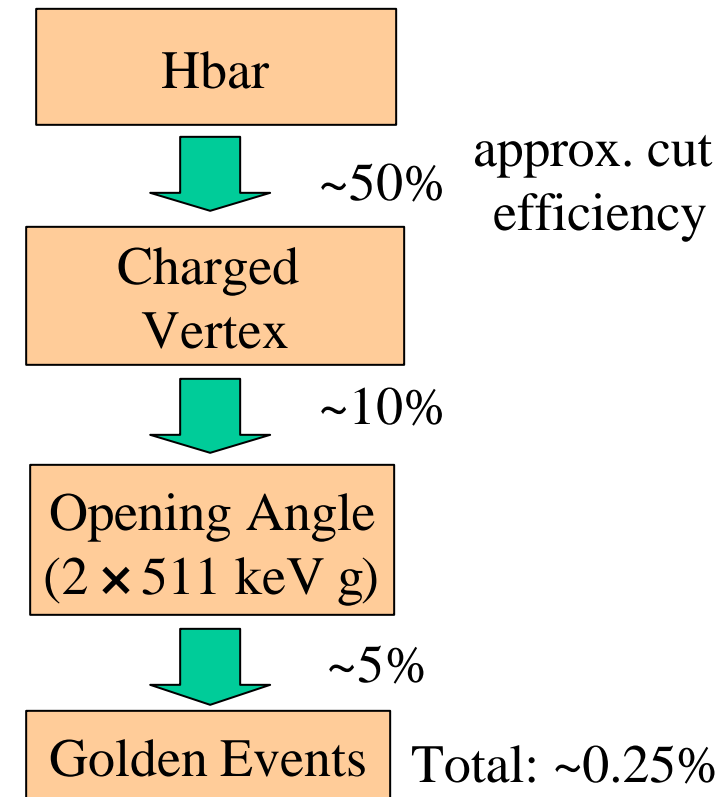
ATHENAその後の結果

PRELIMINARY

Golden Event を超えて

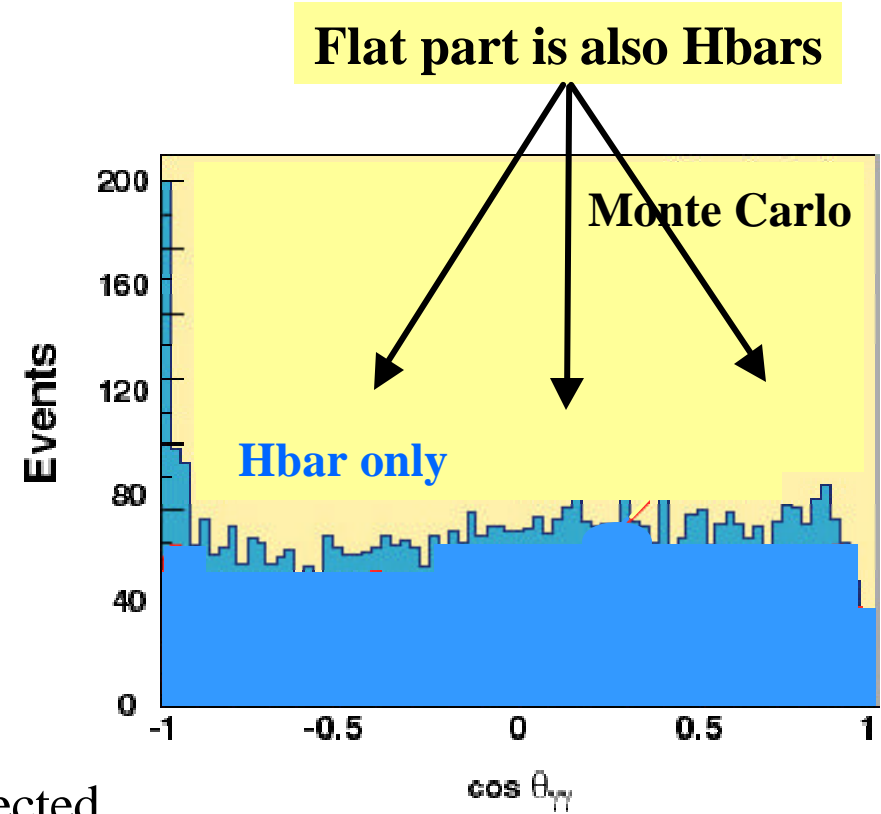
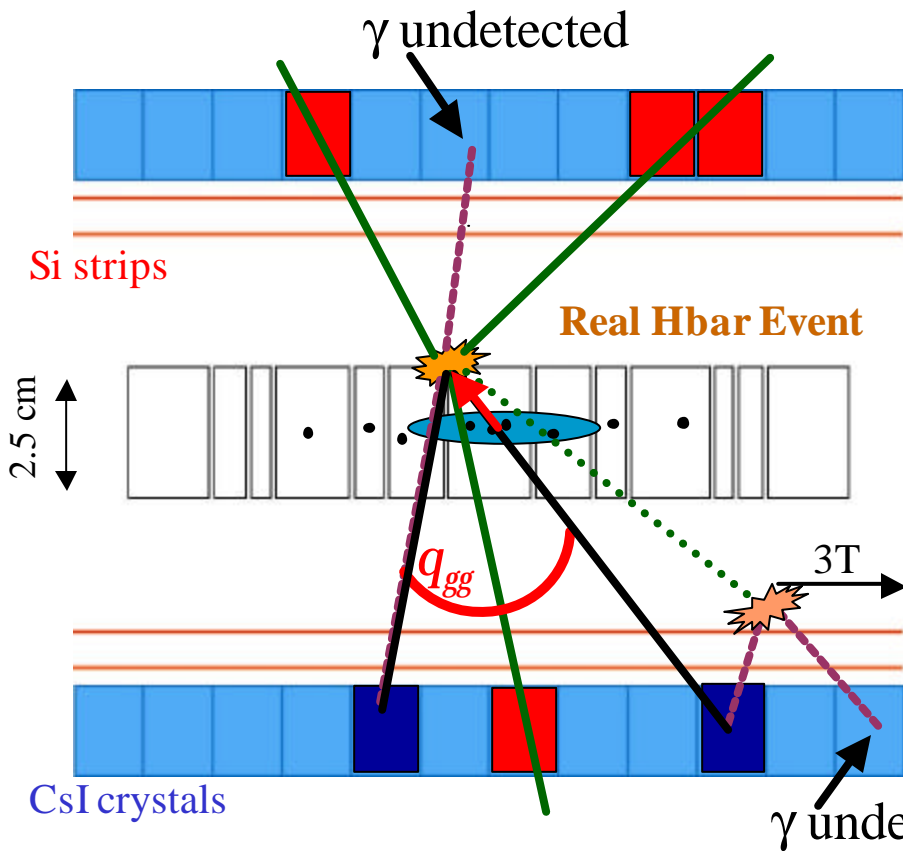


Golden Event Selection



- Very restrictive cuts: threw away >99.7% of events
- Can we make connection between Hbars and Vertices?

角度分布の平らな部分

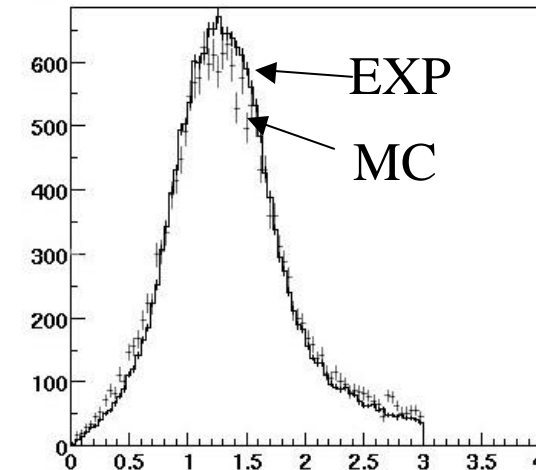


Hbar event can have >two 511keV γ s, but not all are detected (eff. ~20%)
e.g. one γ from pbar \rightarrow pion shower, another γ from e^+ in Hbar:
can give opening angles, $\cos(\theta_{\gamma\gamma}) \neq -1$

モンテカルロ シミュレーション

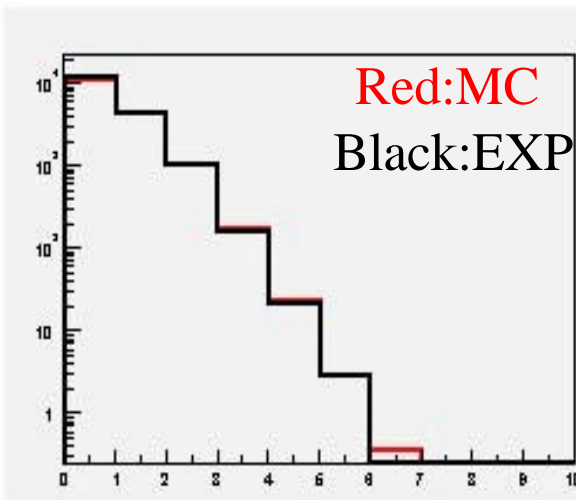
- GEANTフル シミュレーション
- 検出器の位置はCADから
- モジュールごとの検出効率を較正
- シミュレーションと実験解析に同じソフト

Pbar-Only Data



Vertex radial distribution (cm)

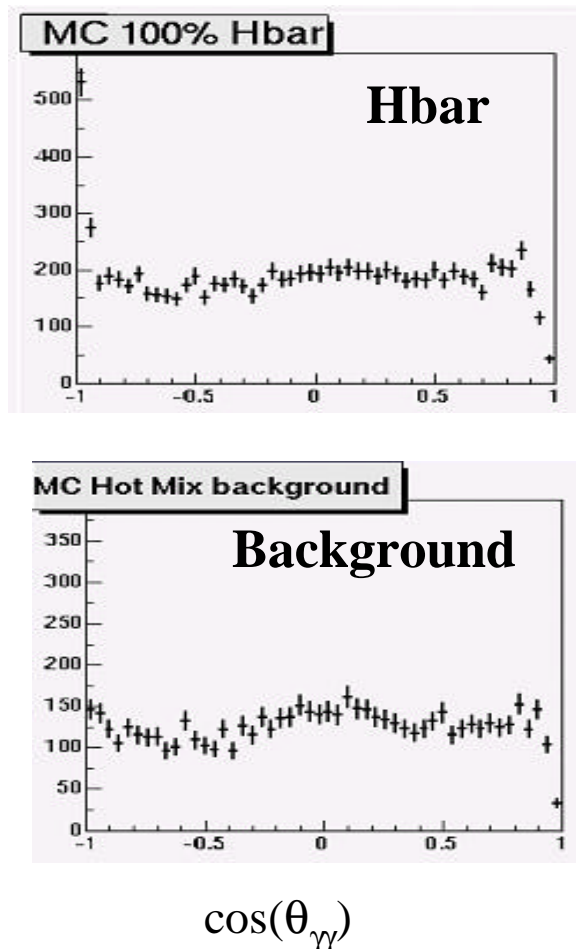
Red:MC
Black:EXP



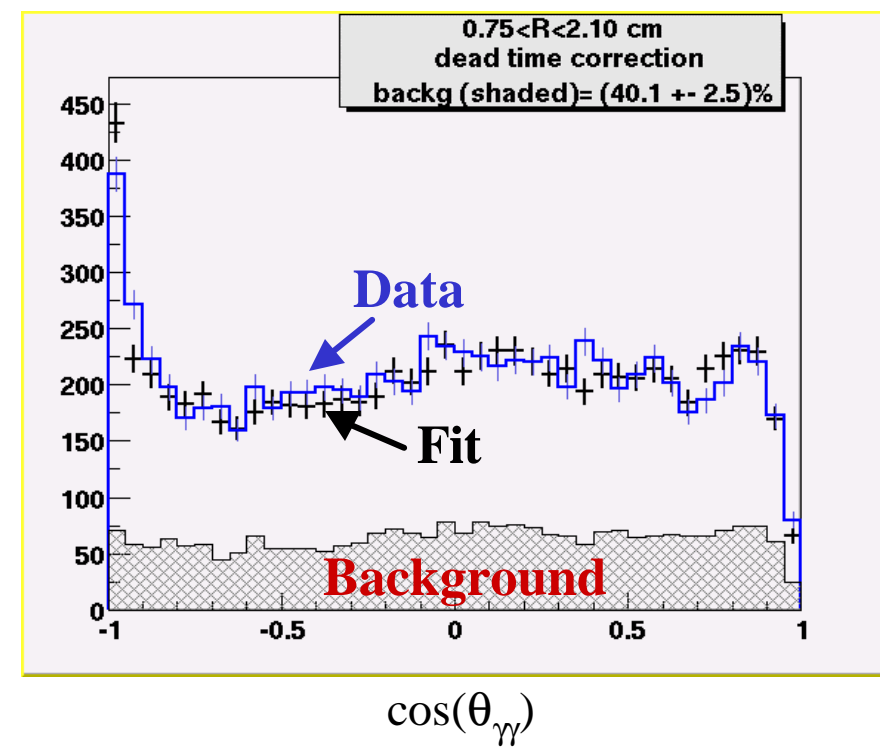
511 keV γ multiplicity

角度分布のフィット

Fit Input MC



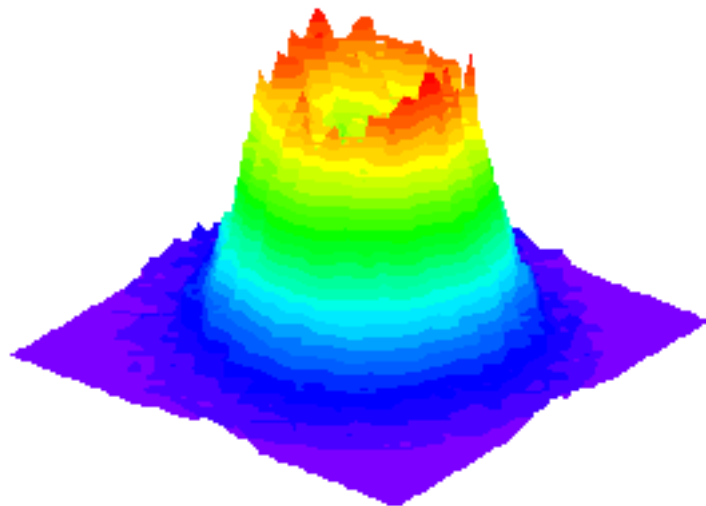
Fit Result



- Good agreement between Data and MC fit
- Indicates 2/3 of the entries are Hbars
(not only the peak)

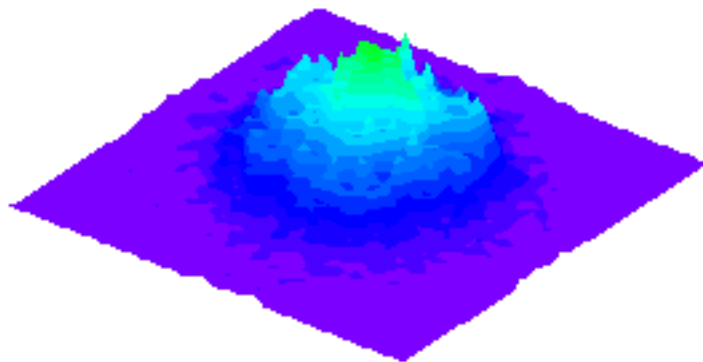
反陽子消滅バーテックス(カットなし)

Cold Mixing



主に反水素が壁に当たって消滅
(+ 残留気体バックグランド)

Hot Mixing



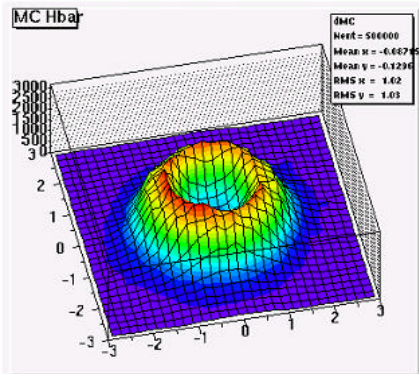
反陽子が残留気体・イオンと消滅

シミュレーションを使ってCold Mixingの分布を
反水素成分とバックグランド成分に分解

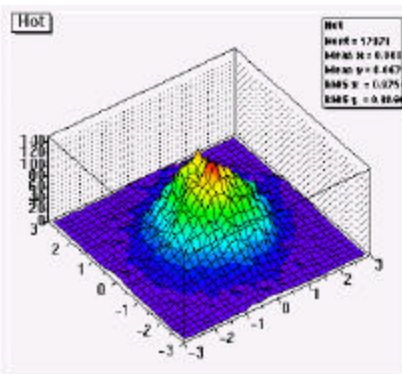
→Signal ~60%; background ~40%

バーテックス空間分布のフィット

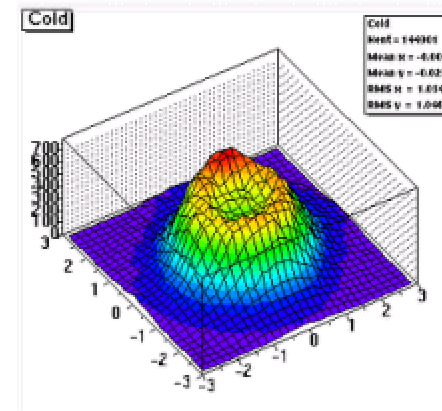
Hbar (MC)



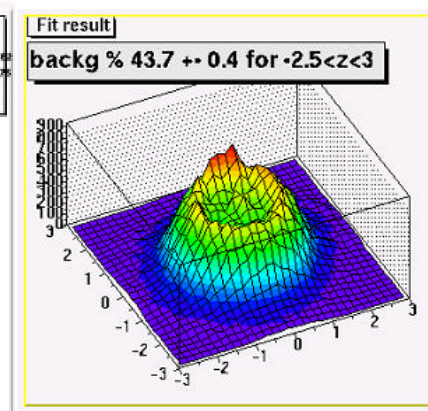
BG (Hot Mix)



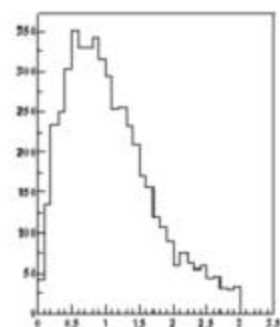
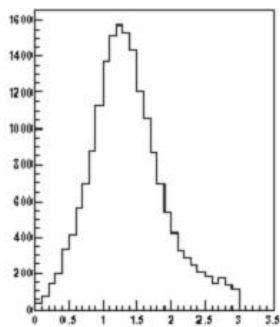
Cold Mix Data



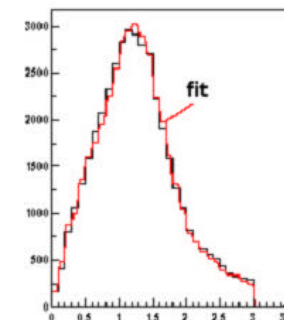
Fit Result



Pbar Vertex XY Projection (cm)



Fit Result



Pbar vertex R distribution (cm)

フィット結果 (Preliminary)

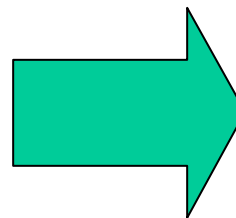
g g opening angle

Vertex XY distribution

Vertex R distribution

Two γ events yield

Charged trigger yield



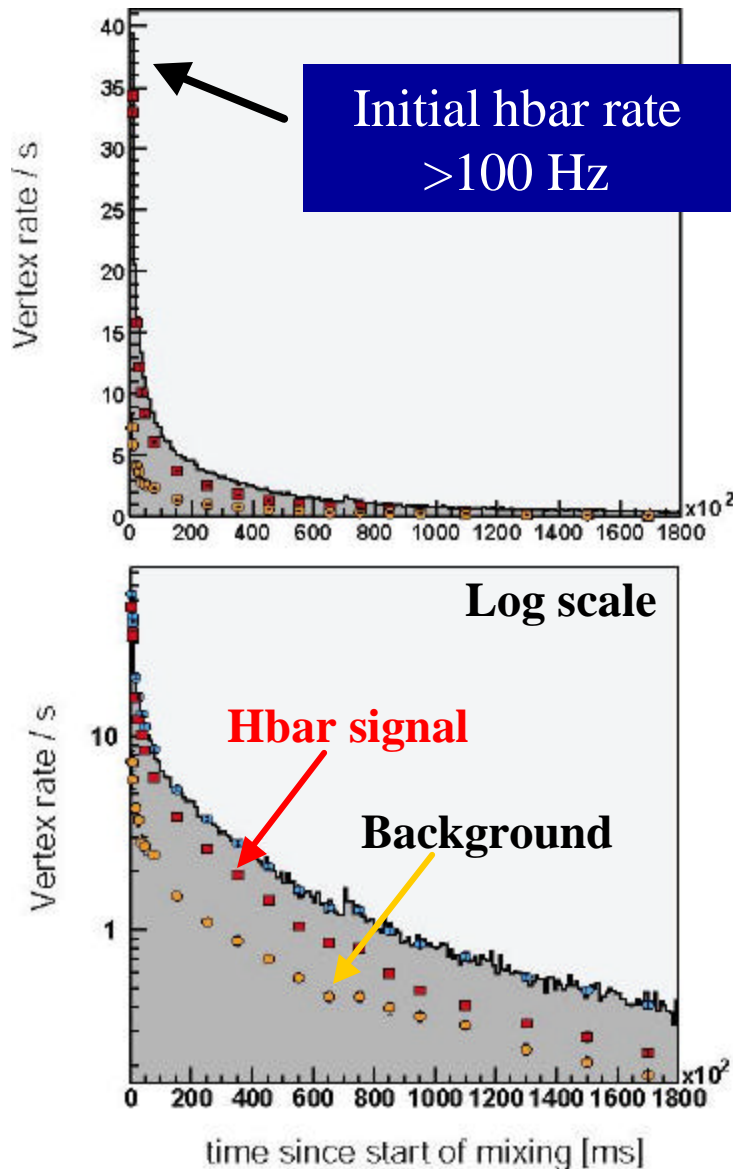
Hbar fraction in during mixing
(ave. over 180 sec)

$\sim 65 \pm 10\%$

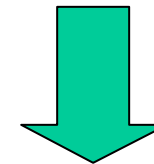
$\sim 700k$ reconstructed vertices $\rightarrow \sim 400k$ Hbars

In 2002, ATHENA produced
 \sim One Million Hbars!

反水素の高効率生成



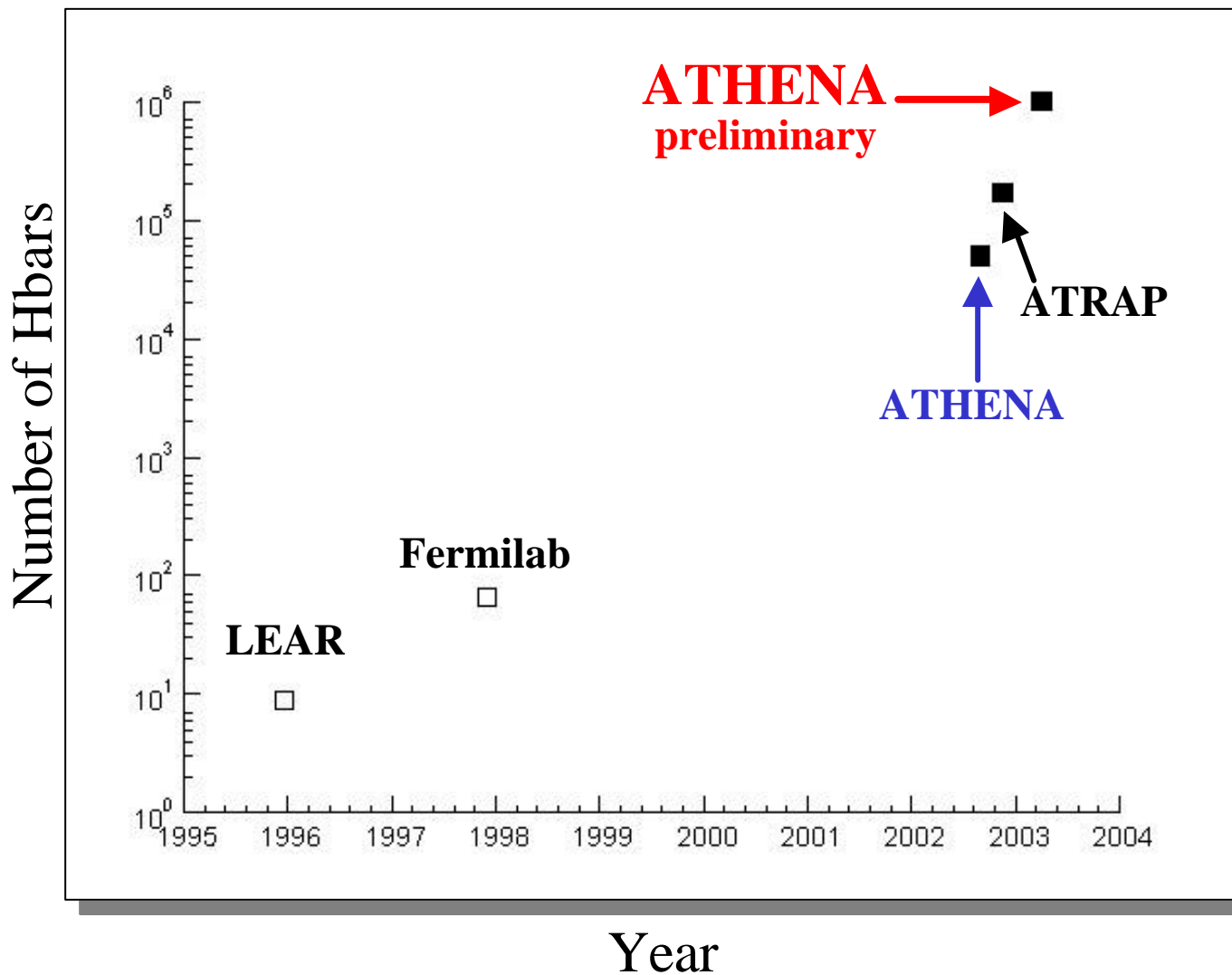
+
消滅位置分布のフィットにより、シグナルとバックグラウンドの時間的变化をとりだすことが可能



Antihydrogen produced with

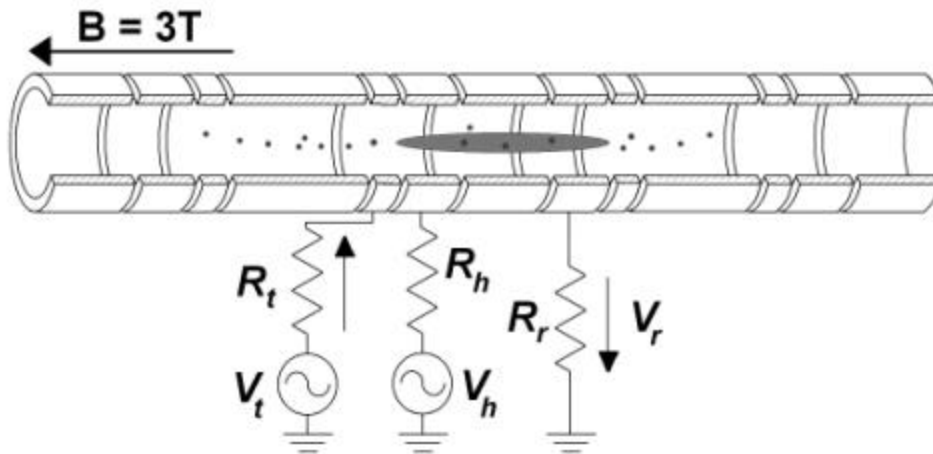
High Initial Rate (>100 Hz)

\bar{A} Produced Antihydrogen vs Year

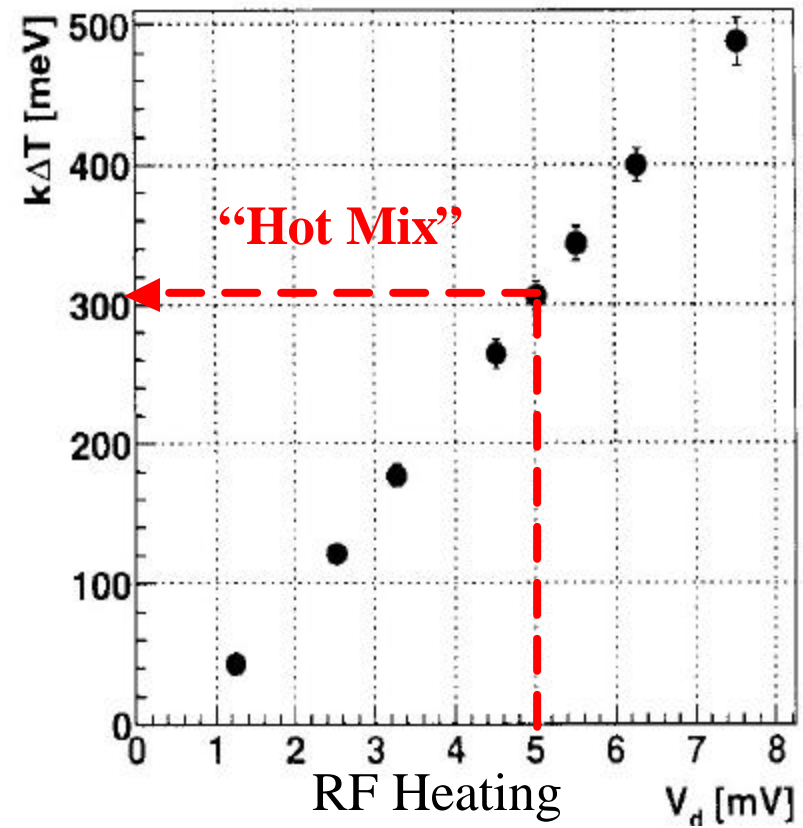


反水素生成の温度依存性

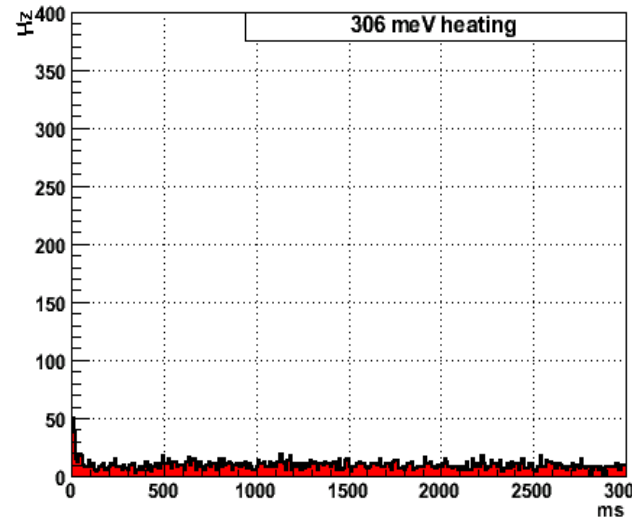
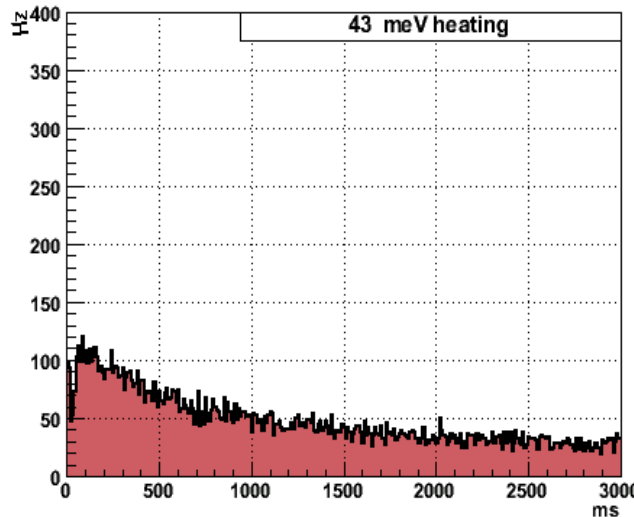
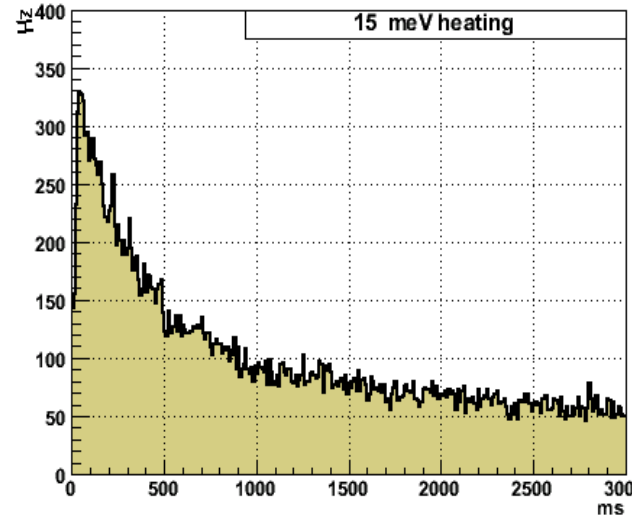
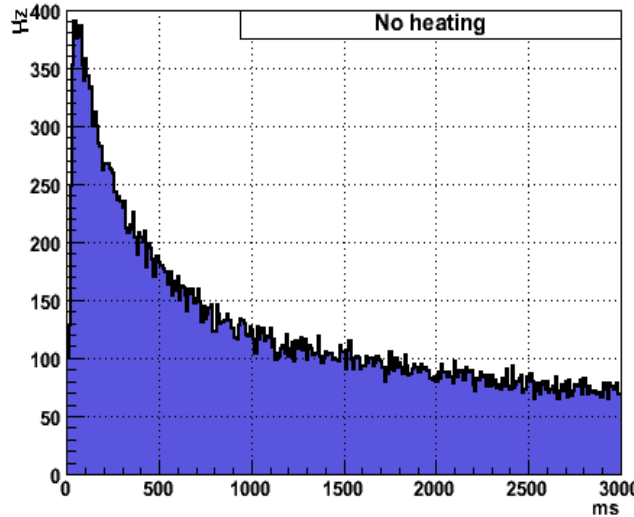
T dependence gives information of formation mechanism
e.g. radiative vs 3-body formation



- Positron plasma heating via RF
- Temperature calibrated by modes measurements



反水素生成の温度依存性 (生成過程による)

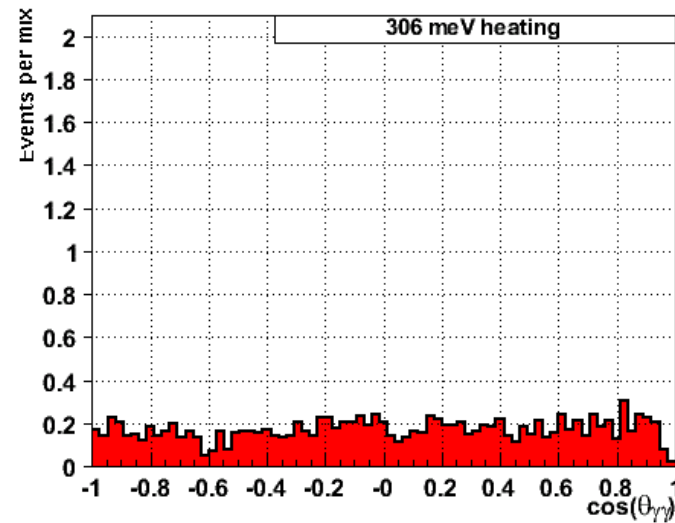
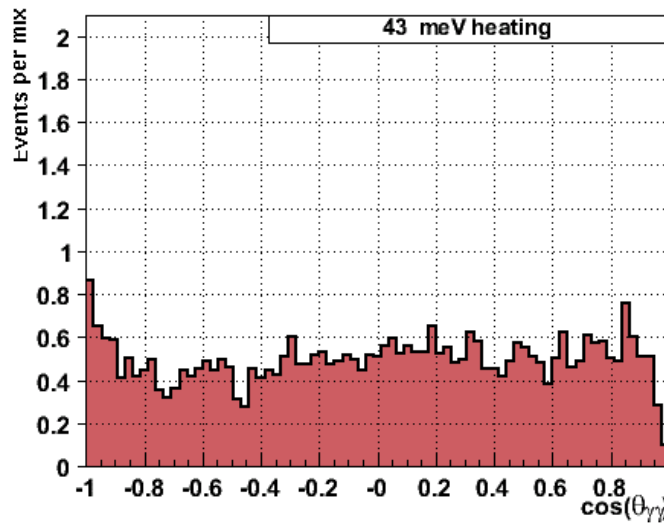
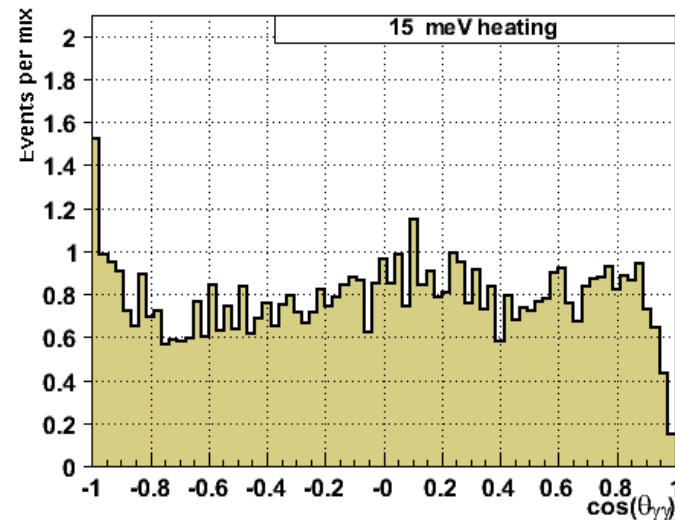
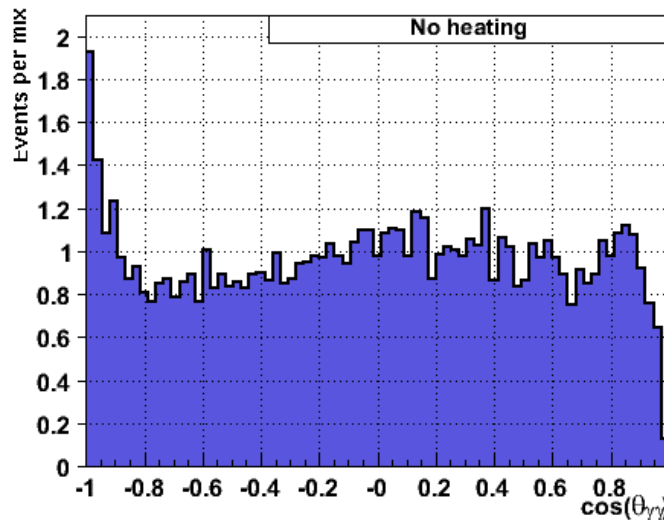


High statistics for:

- 1) no heating
"COLD MIXING"
- 2) $\Delta T: 15 \pm 15 \text{ meV}$
 $\sim 175 \text{ K}$
- 3) $\Delta T: 43 \pm 17 \text{ meV}$
 $\sim 500 \text{ K}$
- 4) $\Delta T: 306 \pm 30 \text{ meV}$
 $\sim 3500 \text{ K}$
"HOT MIXING"

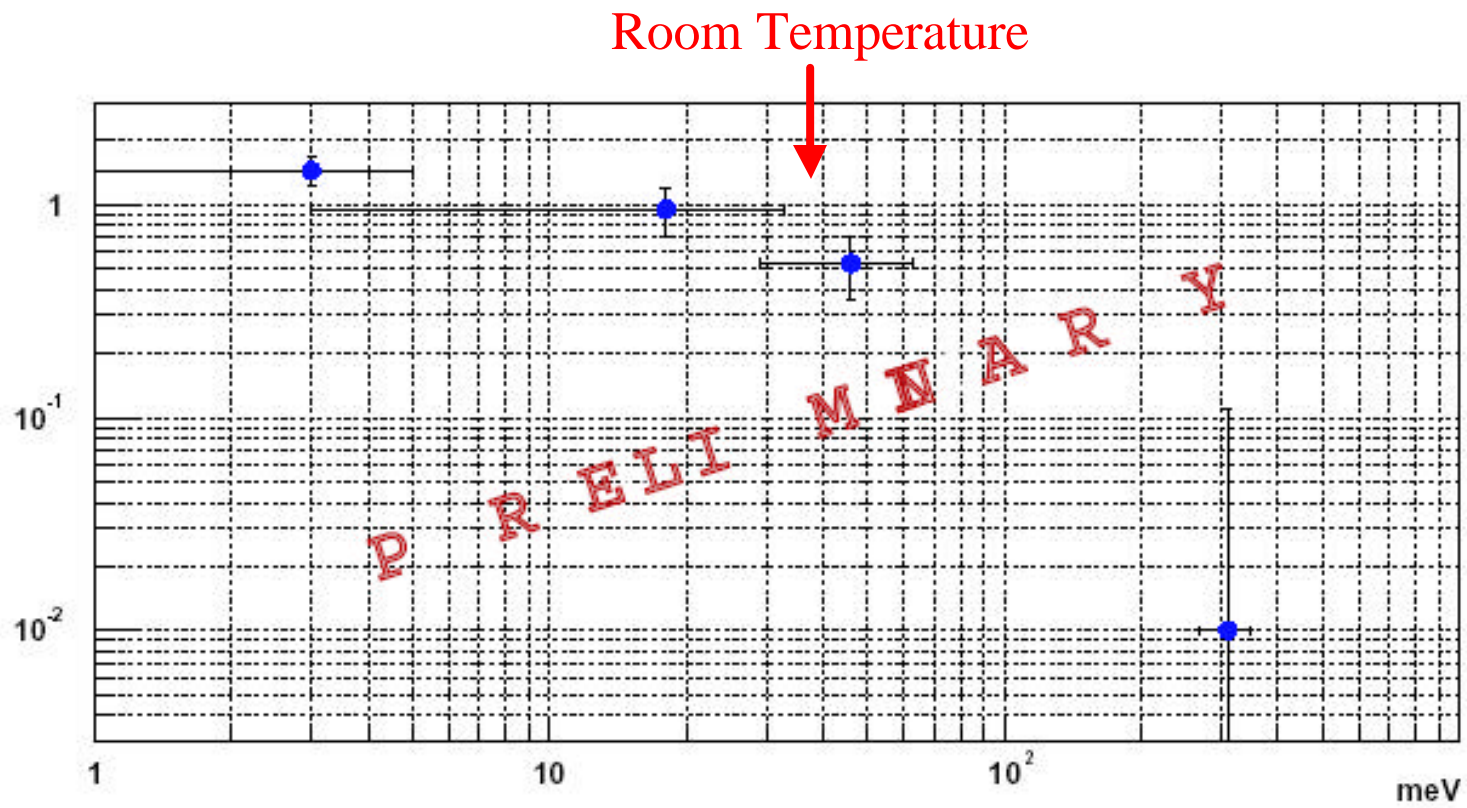
Very different
trigger rate
behavior

2 角度分布の温度依存性



Hbar Temperature dependence

anti-hydrogen atoms

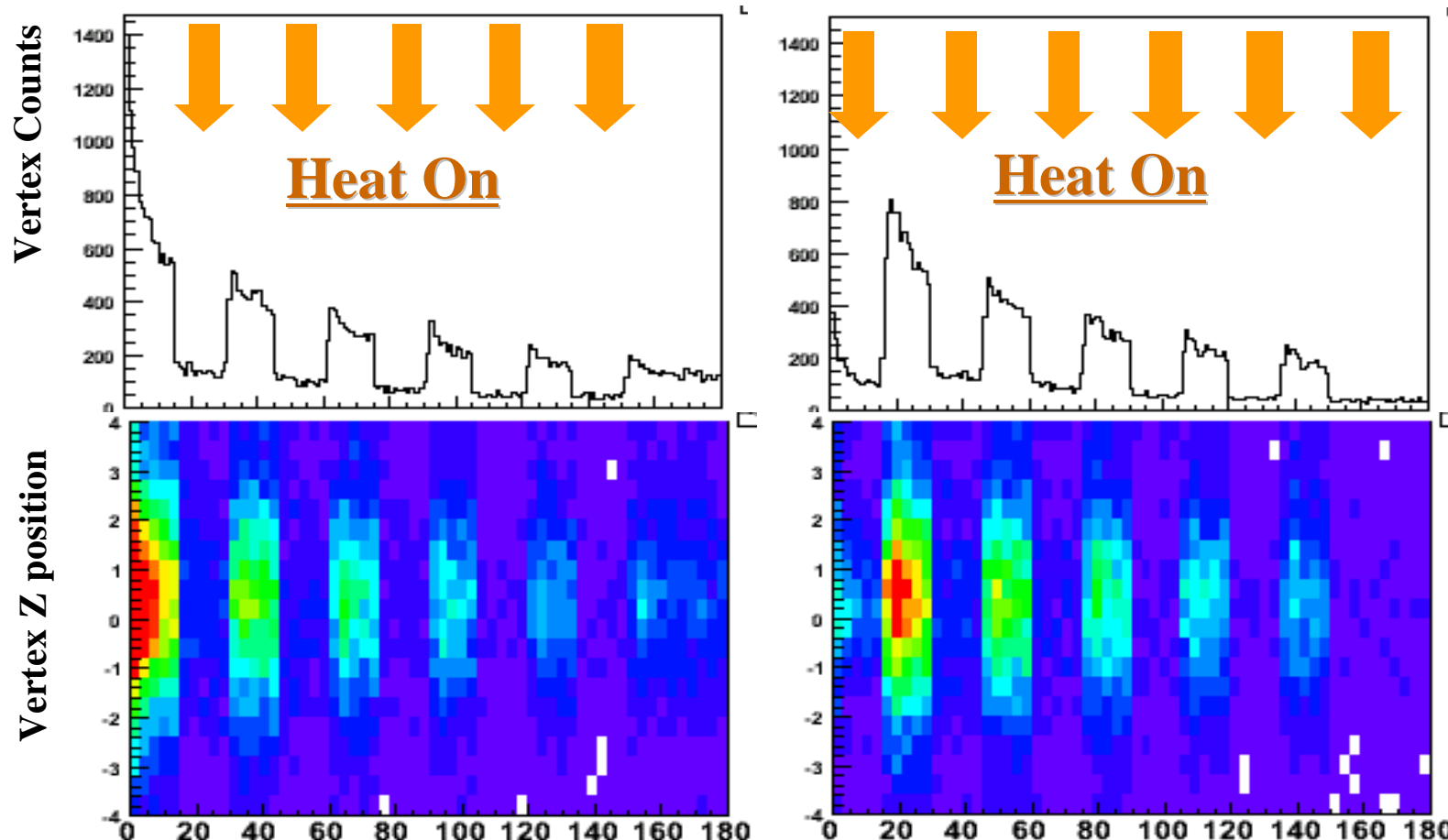


temperature change

Preliminary: systematics being studied

反水素生成のパルス化

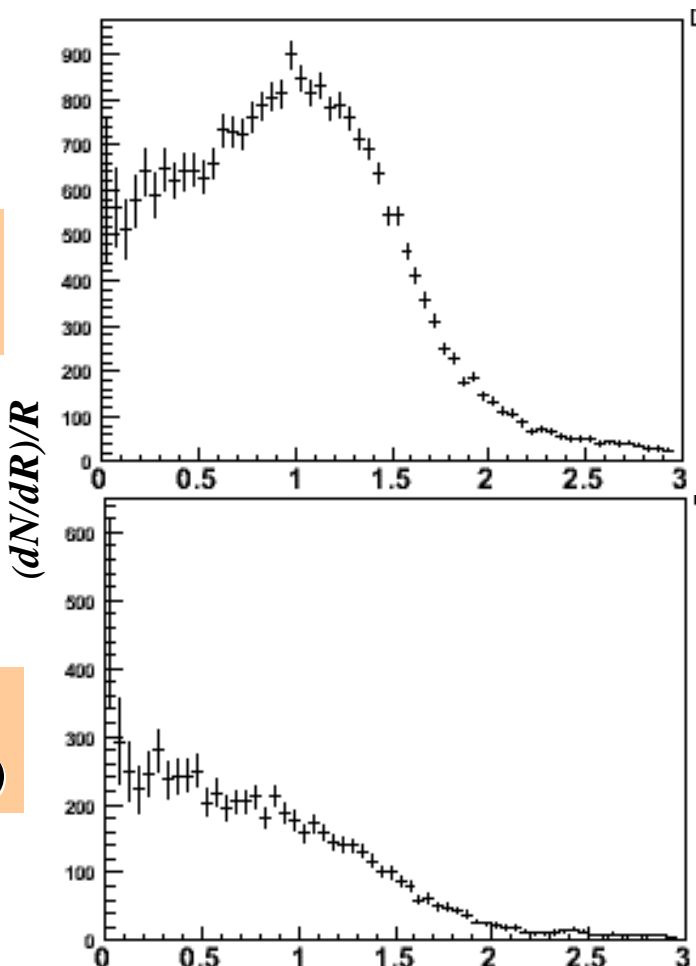
RF heating of e^+ to switch off formation



A Pulsed Source on Cold Antihydrogen !

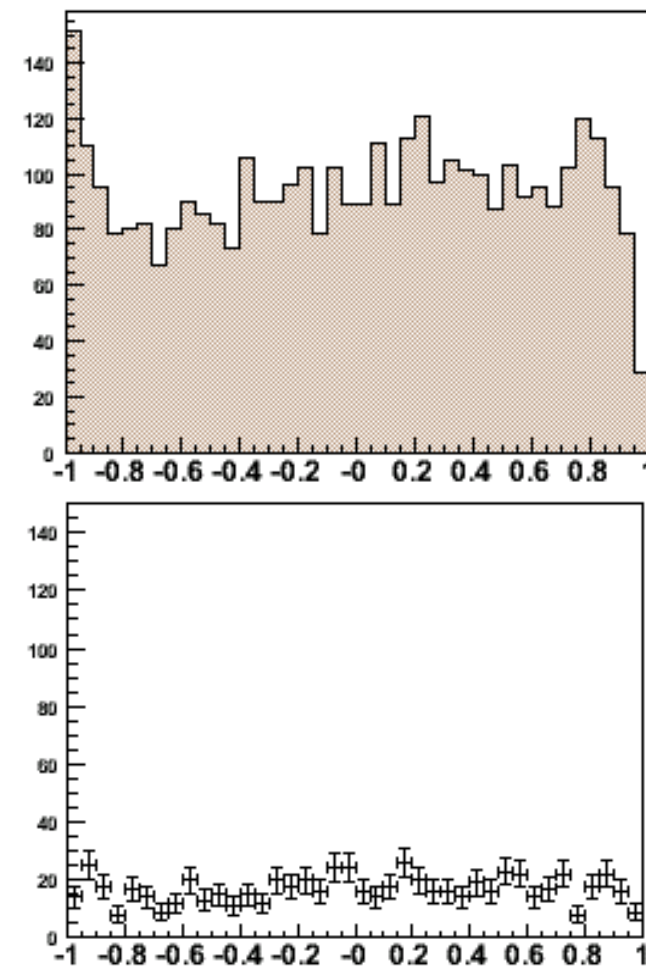
反水素生成のパルス化

Heat OFF
(Hbar ON)



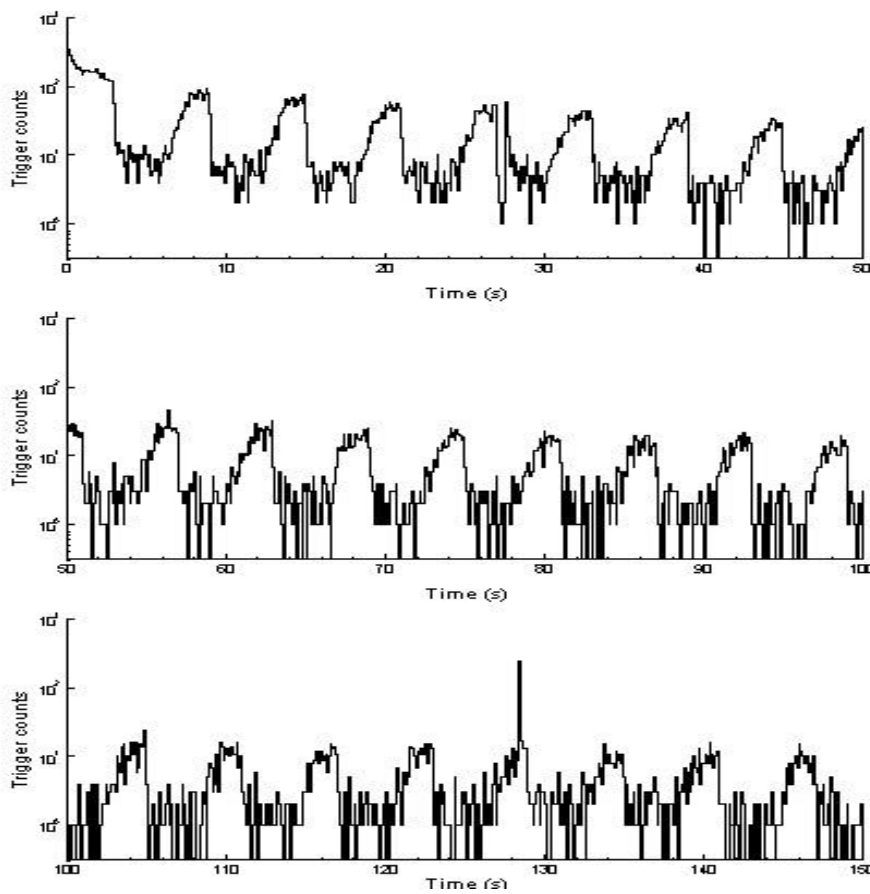
Heat ON
(Hbar OFF)

Vertex radial distribution (cm)

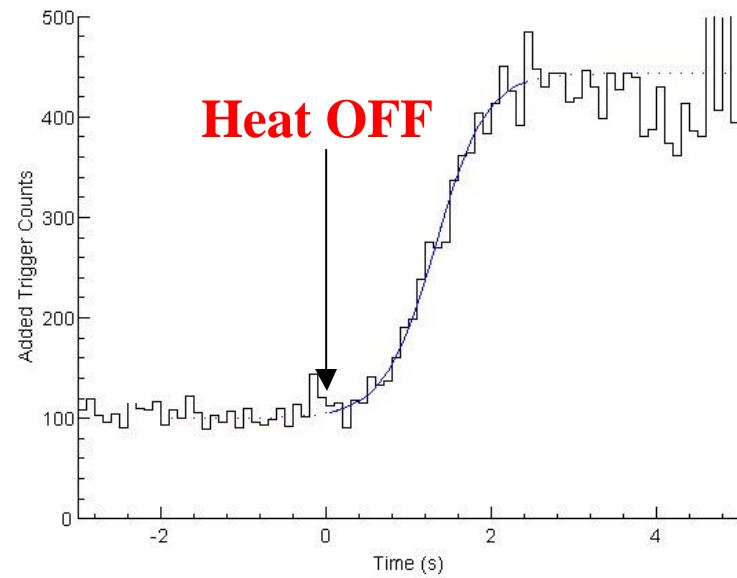


Gamma opening angle $\cos(q_{gg})$

反水素生成のパルス化



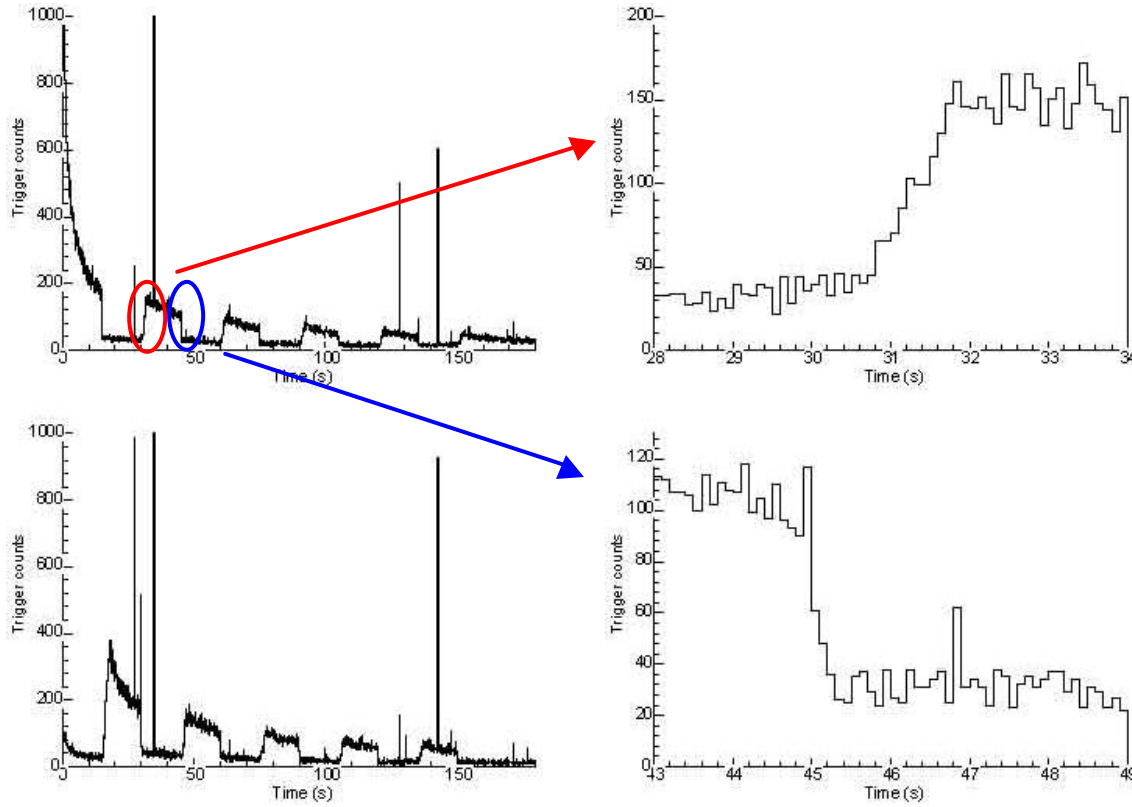
Heat On/Off every 3 sec



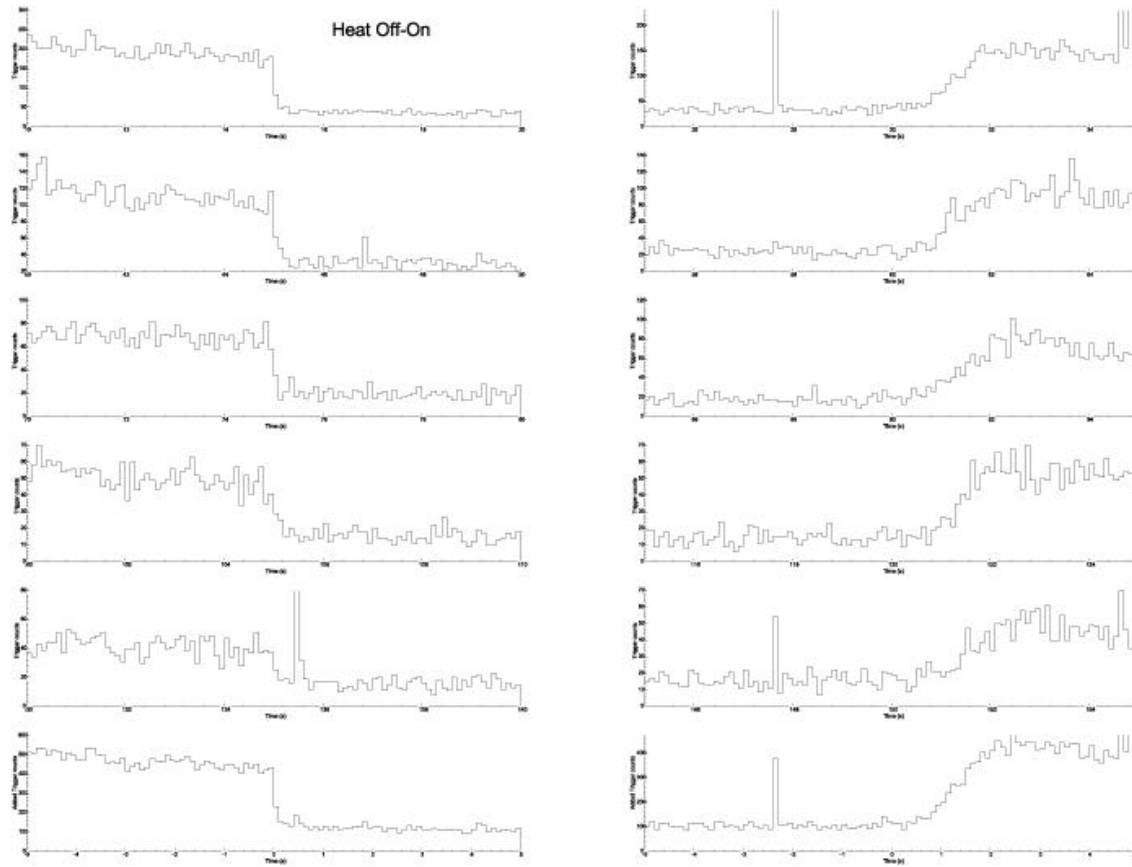
Rise time contains Physics

- Positron Plasma Cooling time
- Hbar formation temperature dependence

反水素生成のパルス化



反水素生成のパルス化



反水素生成のパルス化

■ Positron temperature evolution:

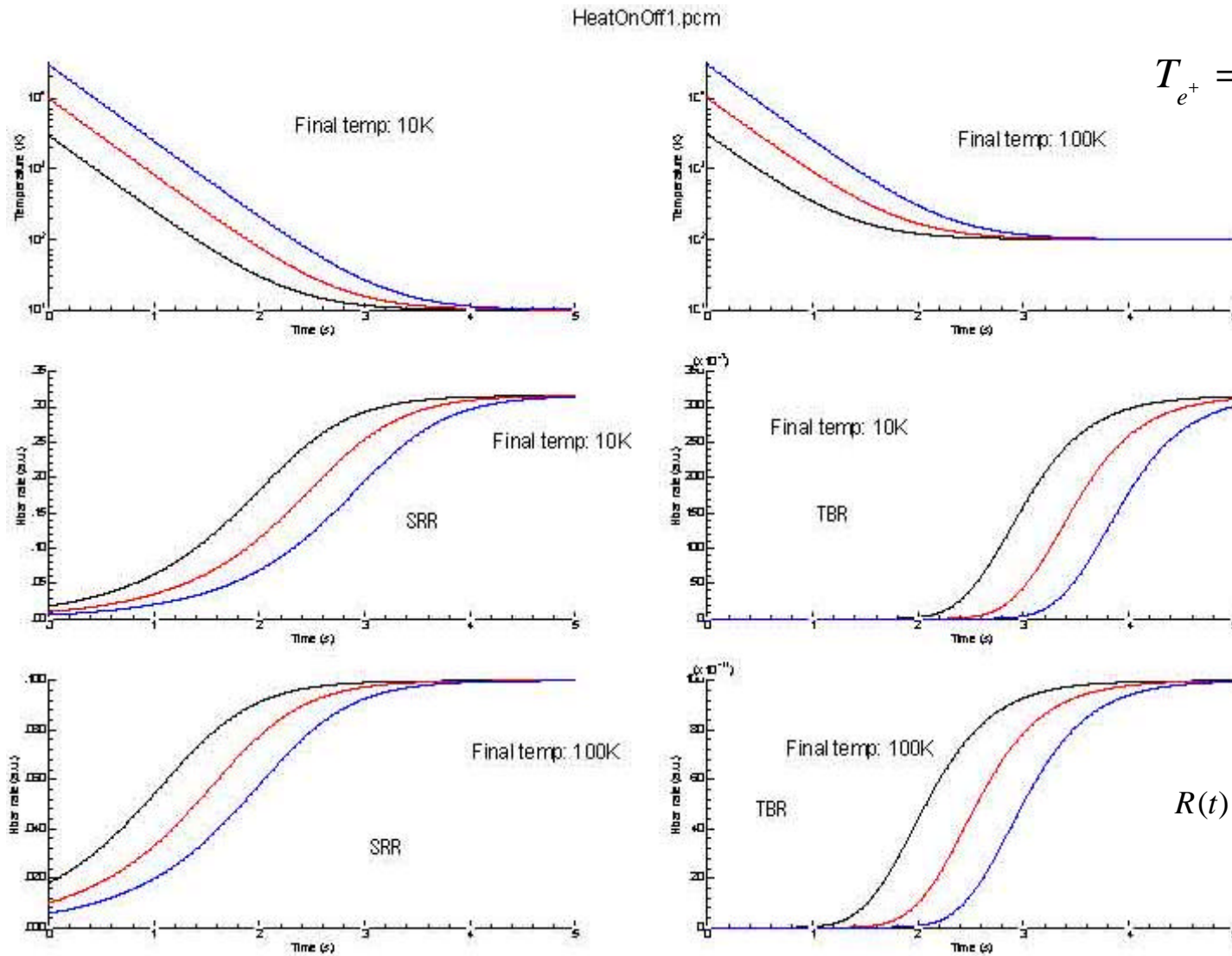
$$\frac{dT_{e^+}}{dt} = -\frac{1}{t_c} (T_{e^+} - T_{fin})$$

$$T_{e^+} = T_{init} \exp\left(-\frac{t}{t_c}\right) + T_{fin}$$

■ Hbar rate: fit with

$$R(t) = bkgd + norm \times T_{init} \left(\exp\left(-\frac{t}{t_c}\right) + T_{fin} \right)^P$$

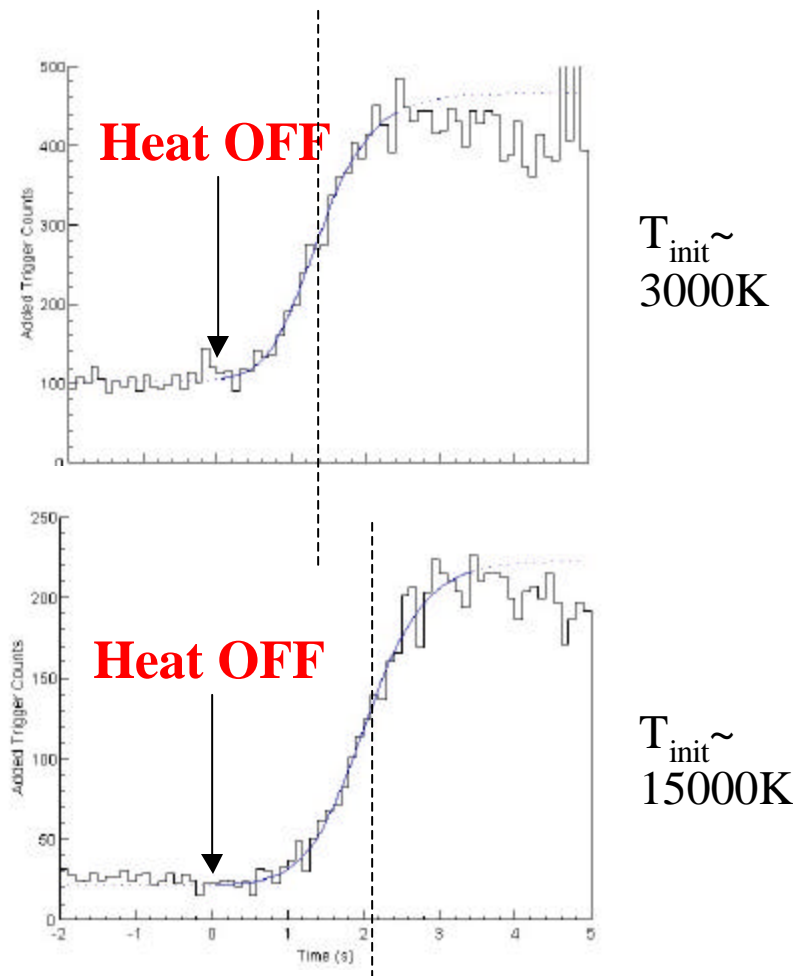
反水素生成のパルス化



$$T_{e^+} = T_{init} \exp\left(-\frac{t}{t_c}\right) + T_{fin}$$

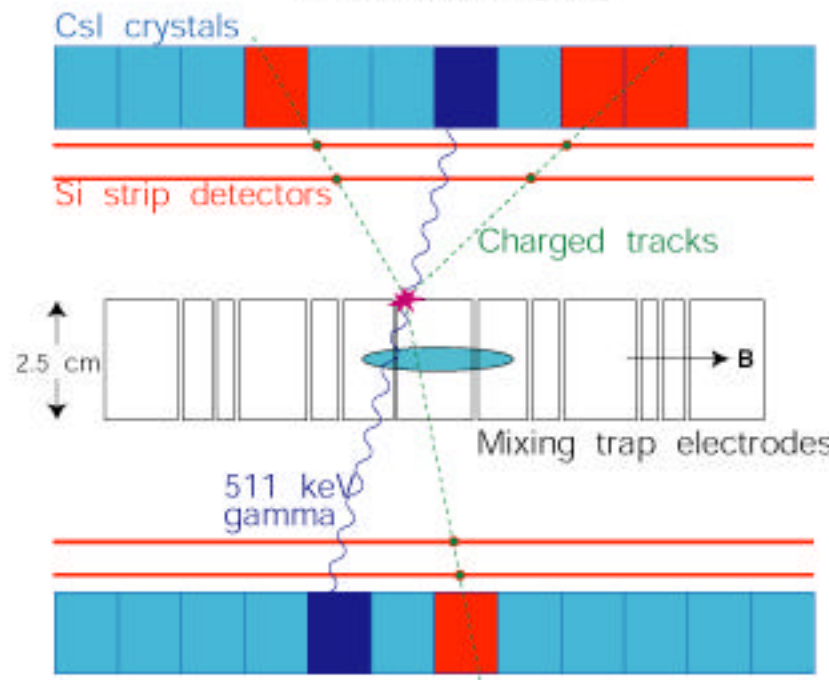
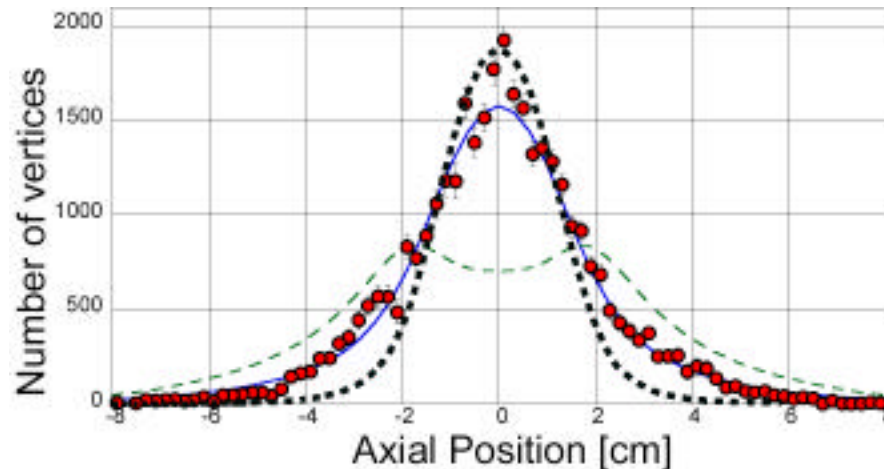
$$R(t) \sim T_{init} \left(\exp\left(-\frac{t}{t_c}\right) + T_{fin} \right)^P$$

Modulation of Hbar Production



- Fits suggests $\sim T^{-1}$ scaling
- Synch. Cooling ~ 0.4 sec
- Final Temp ~ 100 k
- P.O. Fedichev
Phys. Lett. A 226 (1997) 289
 $T^{-0.8}$ for stabilized Hbar from 3-body recombination
- B. Zygelman
J. Phys. B 36 (2003) L31

反水素放出の角度分布



放出角度は実験上重要

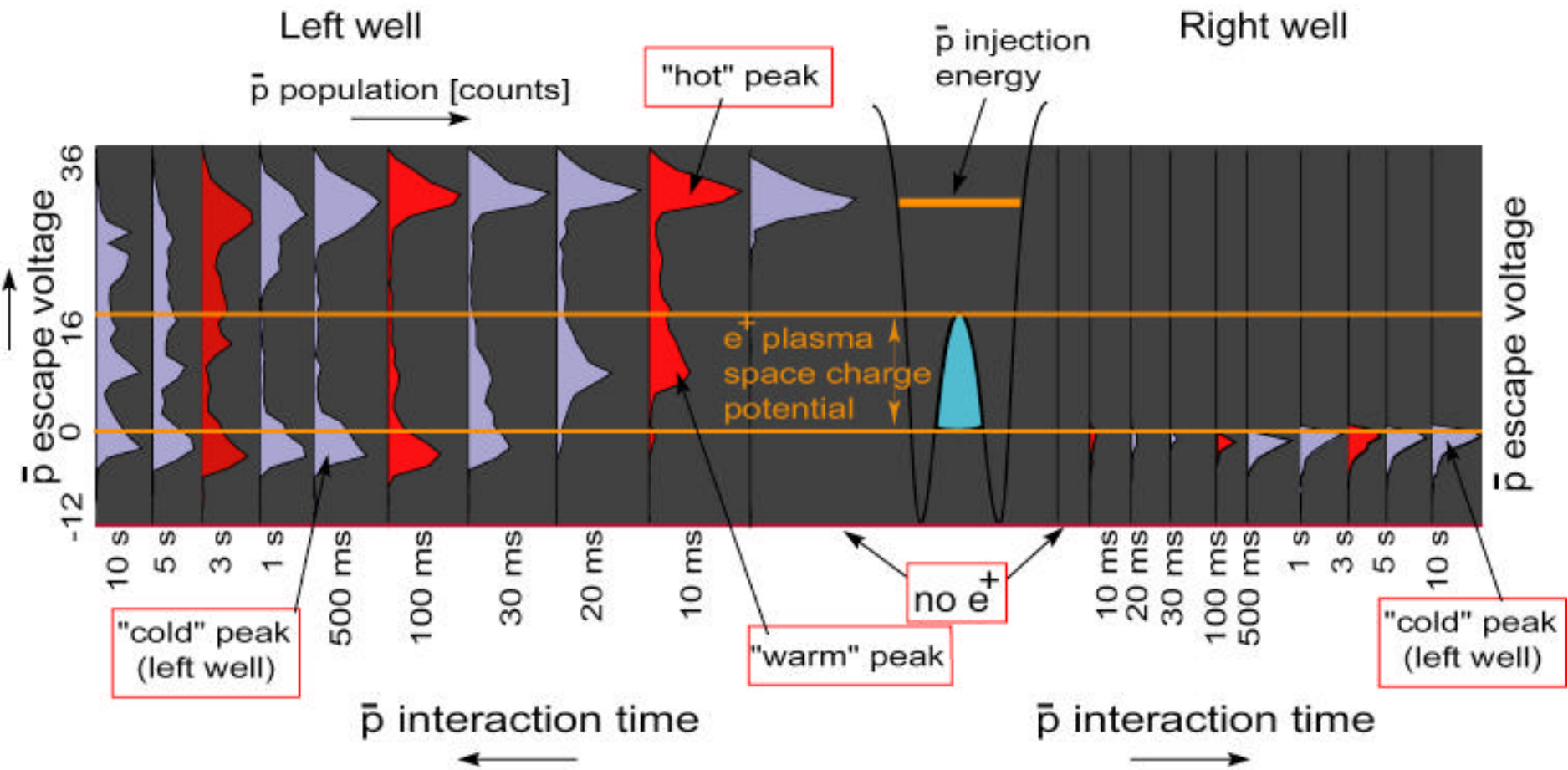
Vertex Z Distribution



- *Detected Antihydrogen: ~isotropic*
- *Some radial component possible*
- *Focused “beam” excluded*

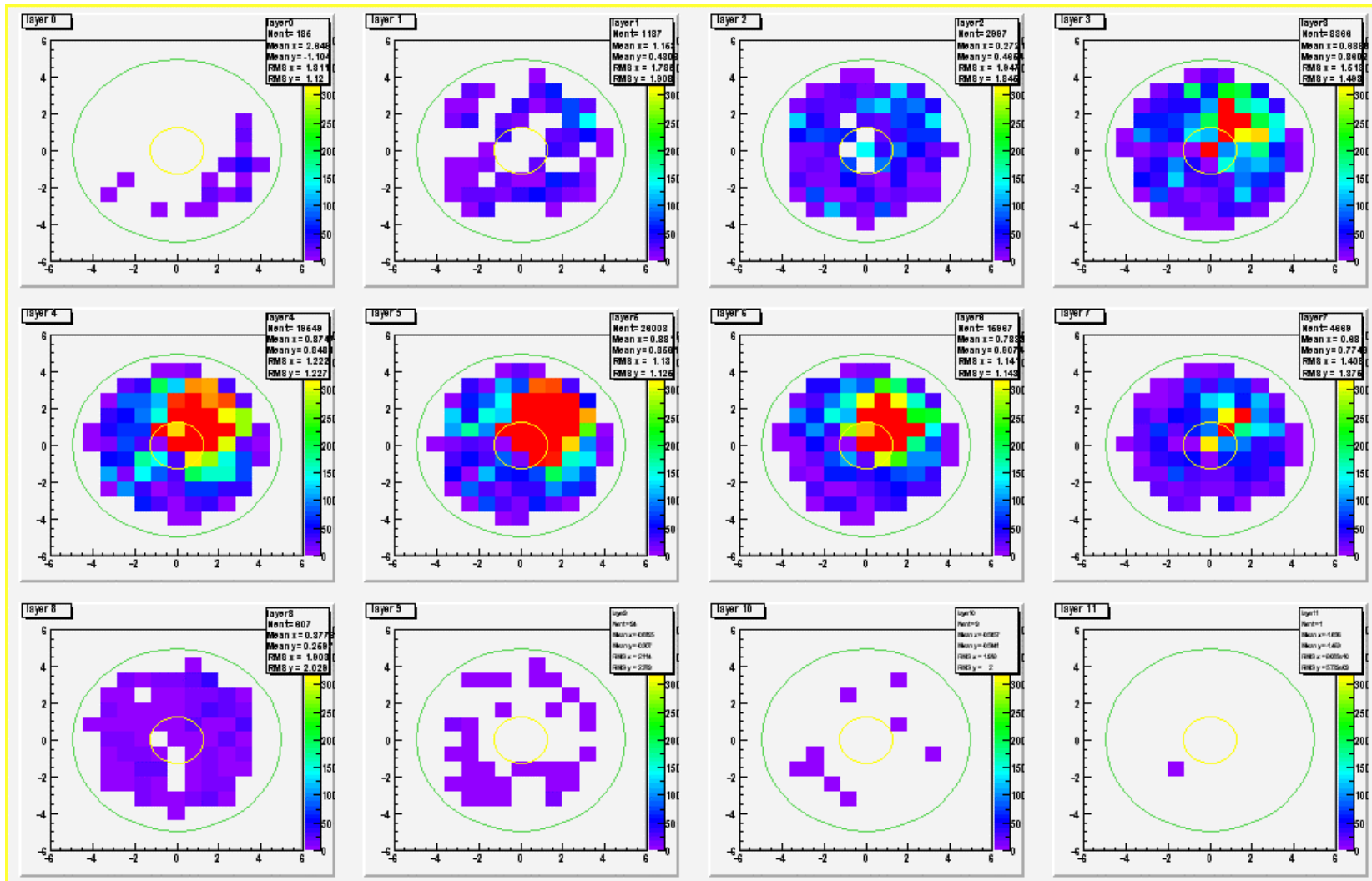
75 million 陽電子による反陽子冷却

To be submitted Phys. Rev. Lett.



PET Imaging of Positron Plasma

Simulations



将来展望

将来展望

■ 反水素生成過程の理解 最適化

- トランプ中のダイナミクス
- 反水素の量子状態
- 生成を最適化 (例えばRFQ減速器で×100)

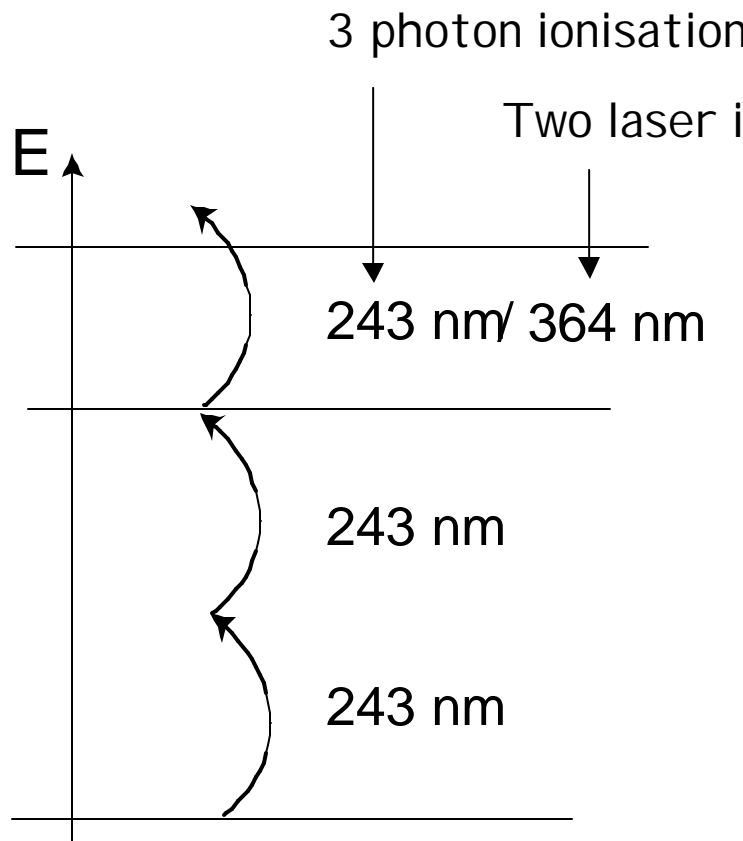
■ レーザー分光へ向けて

- 反水素分光をまず“in-beam”でやる
- いくつかの方法を検討中 (イオン化、誘導再結合)
- ASACUSAは超微細構造測定を提案
- 反物質は中性か？

■ もっと冷たい反水素 (長い道のり)

- 反水素トランプ
- レーザー冷却、反物質波、反物質BEC
- 反物質重力測定

レーザー分光: 光イオン化



Dye Laser (243 nm):
 $P = 40 \text{ mW}$ (243nm)

Ar^+ Laser:
 $P(363.8+351\text{nm}) = 700 \text{ mW}$

Rates depend on interaction time,
H production rate, but are small.

H must be in 1S state!

レーザー誘導による反水素生成

Stimulate hbar formation from continuum

2-step process (reduces required power)

Pulse

CW

continuum \rightarrow nd ; followed by nd \rightarrow 2p

3d: 820 nm 3d \rightarrow 2p: 656 nm

4d: 1459 nm 4d \rightarrow 2p: 486 nm

5d: 2279 nm 5d \rightarrow 2p: 434 nm

...

...

11d: 11.1 μ m 11d \rightarrow 2p: 377 nm

どの方法も極めてchallenging

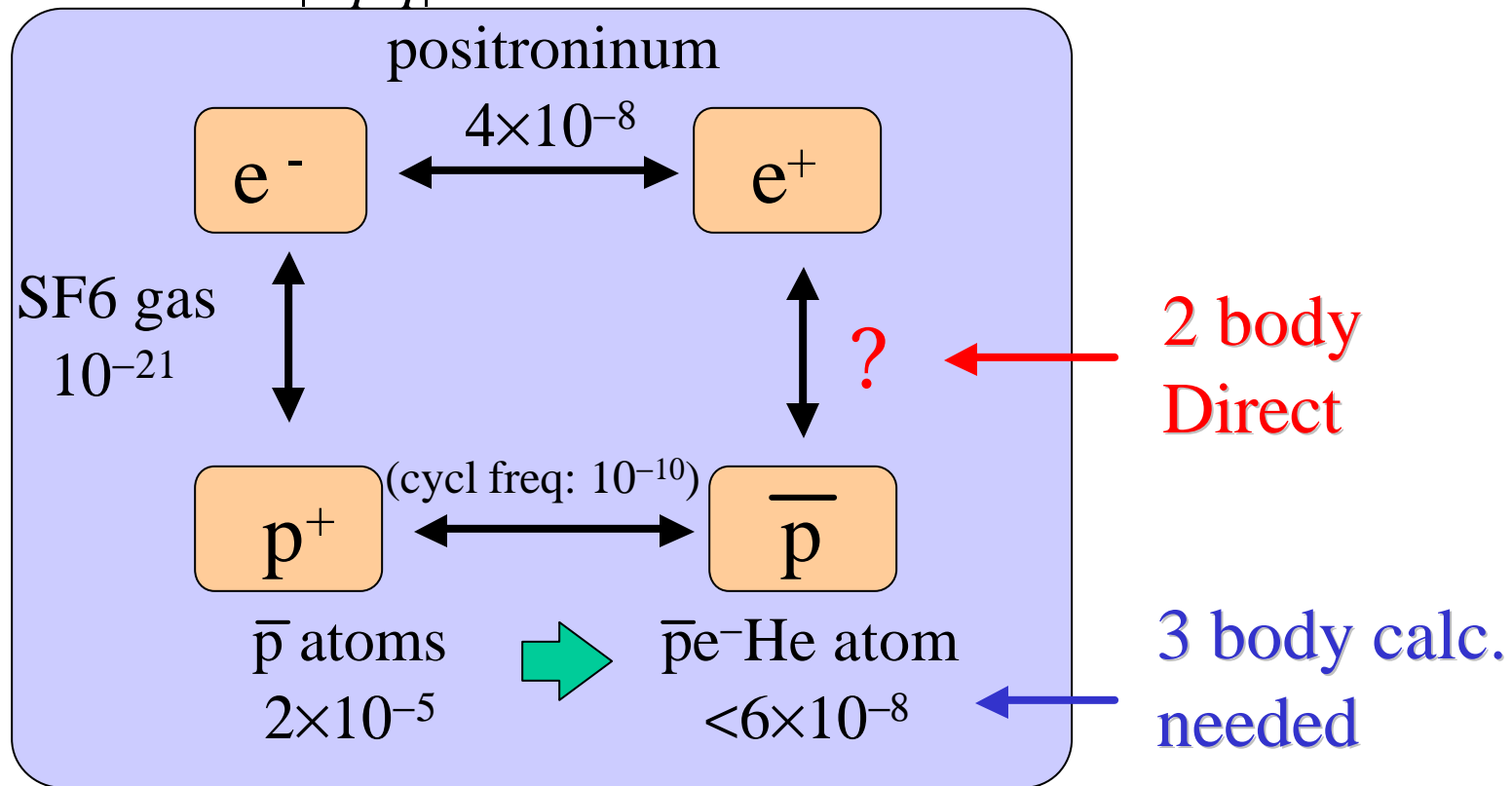
反物質は中性か？

Charge quantization, (anti)matter neutrality

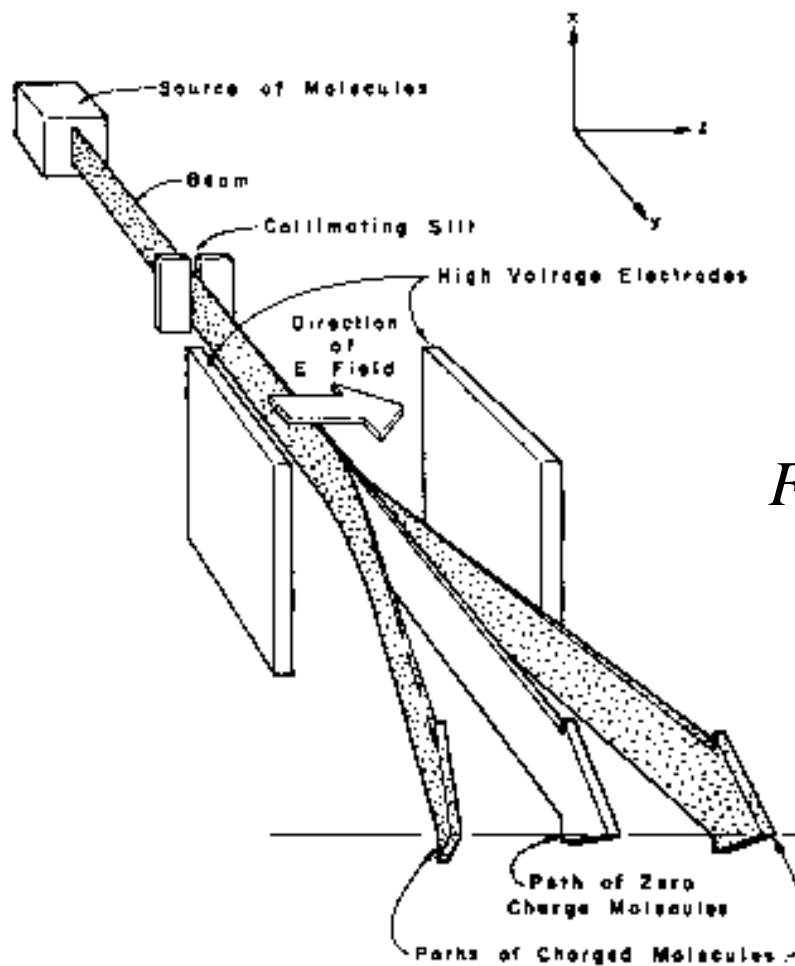
– Experimental fact (*cf.* anomaly cancellation)

– Put in “by hand” in the Standard Model

Limits on $|\delta q/q|$



反物質は中性か？



Based on H_2 molecular beam measurement by Zorn, Hughes et al.

Force F by the field E

$$F = qE + \tilde{N}(d \cdot E) + 1/6\tilde{N}(M_Q \cdot \tilde{N}E) + \dots$$

Reversing the field sign, 2nd term cancels. (3rd term small)

原理的には

$q < 10^{-15} \sim 10^{-16}$ 可能

反物質 ポーズ・AINSHU TAIN CONDENSATION?

Atom laser with BEC at JILA, MIT



過去数年の間に反水素の
生成は”totally visionary”
から“merely very difficult”
に進歩した」

D. Kleppner, 1992年
反水素ワークショップのまとめ

まとめ

- ATHENAは世界で初めて冷たい反水素原子を生成
 - 決め手は、強力な陽電子源、高度な検出器、プラズマ操作
体育会系のがんばり！
- その後の結果(preliminary):
 - これまで既に~1 Million の反水素を生成
 - 高生成率 $> 100 \text{ Hz}$
 - 反水素生成のパルス化
 - 温度依存性
 - その他多くの物理: プラズマ振動、粒子混合仮定、反水素放出角度
- レーザー分光を準備中 (難しい!)
- 冷たい反水素の物理は始まったばかり

請うご期待!